

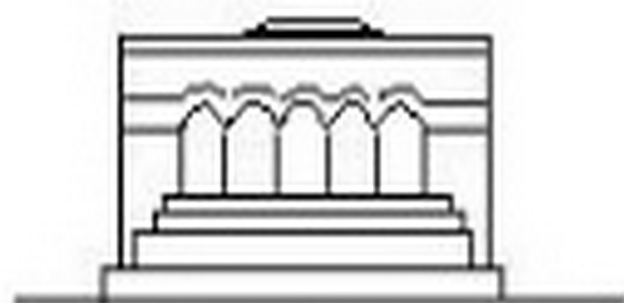
Մ Ե Ն Ա Ն Ի Կ Ա



МЕХАНИКА



MECHANICS



1974

М. В. БЕЛУБЕКЯН

## К УРАВНЕНИЯМ МАГНИТОУПРУГОСТИ ТОКОНЕСУЩИХ ПЛАСТИН

На основе гипотез магнитоупругости, предложенных в работах [1, 2], выводятся уравнения магнитоупругих колебаний тонких токонесящих пластин, помещенных в магнитное поле. Полученные уравнения рассматриваются для частного случая — задачи колебаний бесконечной пластинки, несущей равномерно распределенный электрический ток.

1. Пластинка постоянной толщины  $2h$  служит проводником стационарного электрического тока в направлении, параллельном срединной плоскости. Кроме магнитного поля, обусловленного заданным электрическим током в пластинке, предполагается также наличие внешнего магнитного поля, которое до тех пор, пока пластинка находится в покое, не создает электрического тока.

Магнитная и диэлектрическая проницаемости среды, окружающей пластинку, равны единице. Упругие и электромагнитные свойства материала пластинки характеризуются модулем упругости  $E$ , коэффициентом Пуассона  $\nu$ , плотностью  $\rho$ , электропроводностью  $\sigma$ , магнитной проницаемостью  $\mu$ , диэлектрической проницаемостью  $\epsilon$ .

Прямоугольная система координат  $(x, y, z)$  выбрана так, что координатная плоскость  $(x, y)$  совпадает со срединной плоскостью пластинки.

Вектор напряженности электрического поля  $\mathbf{E}_0 = [E_{0x}, E_{0y}, 0]$  обусловленный током в пластинке, должен удовлетворять уравнениям

$$\operatorname{rot} \mathbf{E}_0 = 0, \quad \operatorname{div} \mathbf{E}_0 = 0 \quad (1.1)$$

Отсюда следует, что  $\mathbf{E}_0$  внутри пластинки не зависит от координаты  $z$ , а вне пластинки равняется нулю.

Предполагается, что задача магнитоэластики для невозбужденного состояния пластинки решена. Задача магнитоэластики требует решения уравнений

$$\operatorname{rot} \mathbf{H}_0 = \frac{4\pi i}{c} \mathbf{E}_0, \quad \operatorname{div} \mathbf{B}_0 = 0 \quad (1.2)$$

при условиях на поверхностях, ограничивающих пластинку

$$|\mathbf{B}_n^{(i)} - \mathbf{B}_n^{(e)}| \cdot \mathbf{n} = 0, \quad [\mathbf{H}_n^{(e)} - \mathbf{H}_n^{(i)}] \times \mathbf{n} = 0 \quad (1.3)$$

Здесь  $i$  в дальнейшем индексе  $(i)$  показывает принадлежность к внутренней области, ограниченной поверхностями пластинки, индексе  $(e)$  — к внешней области,  $\mathbf{n}$  — нормаль к соответствующей поверхности пластинки.

ки,  $\mathbf{B}_0 = \{B_{0x}, B_{0y}, B_{0z}\}$  — вектор магнитной индукции,  $\mathbf{H}_0^{(i)} = \mathbf{B}_0^{(i)}$ ,  $\mu \mathbf{H}_0^{(i)} = \mathbf{B}_0^{(i)}$ .

Уравнения электродинамики для движущейся среды принимаются в виде [3]:

во внутренней области ( $|z| \leq h$ )

$$\begin{aligned} \operatorname{rot} \mathbf{H}^{(i)} &= \frac{4\pi z}{c} \left[ \mathbf{E}^{(i)} + \frac{1}{c} \frac{\partial \mathbf{u}}{\partial t} \times \mathbf{B}^{(i)} \right] + \frac{1}{c} \frac{\partial \mathbf{D}^{(i)}}{\partial t} \\ \operatorname{rot} \mathbf{E}^{(i)} &= -\frac{1}{c} \frac{\partial \mathbf{B}^{(i)}}{\partial t}, \quad \operatorname{div} \mathbf{B}^{(i)} = 0, \quad \operatorname{div} \mathbf{D}^{(i)} = 4\pi \rho_e \end{aligned} \quad (1.4)$$

во внешней области ( $|z| \geq h$ )

$$\operatorname{rot} \mathbf{H}^{(e)} = \frac{1}{c} \frac{\partial \mathbf{D}^{(e)}}{\partial t}, \quad \operatorname{rot} \mathbf{E}^{(e)} = -\frac{1}{c} \frac{\partial \mathbf{B}^{(e)}}{\partial t}, \quad \operatorname{div} \mathbf{B}^{(e)} = 0, \quad \operatorname{div} \mathbf{D}^{(e)} = 0 \quad (1.5)$$

где  $\mathbf{E}$  и  $\mathbf{D}$  — соответственно векторы напряженности и индукции электрического поля,  $\mathbf{u} = \{u_x, u_y, u_z\}$  — вектор перемещения частиц пластинки,  $c$  — скорость света в вакууме,  $\rho_e$  — плотность электрических зарядов в пластинке.

Связи между векторами  $\mathbf{B}$  и  $\mathbf{H}$ ,  $\mathbf{E}$  и  $\mathbf{D}$  в системе координат, связанной с движущейся поверхностью раздела двух сред, принимаются в виде

$$\mathbf{B}_*^{(i)} = \mu \mathbf{H}_*^{(i)}, \quad \mathbf{B}_*^{(e)} = \mathbf{H}_*^{(e)}, \quad \mathbf{D}_*^{(i)} = \varepsilon \mathbf{E}_*^{(i)}, \quad \mathbf{D}_*^{(e)} = \mathbf{E}_*^{(e)} \quad (1.6)$$

Векторы, характеризующие рассматриваемое электромагнитное поле в подвижной системе координат, отмеченные индексом (\*), выражаются через соответствующие векторы неподвижной системы координат ( $x, y, z$ ) по формулам [1]

$$\begin{aligned} \mathbf{B}_* &= \mathbf{B} - \frac{1}{c} \mathbf{v}_n \times \mathbf{E}, & \mathbf{H}_* &= \mathbf{H} - \frac{1}{c} \mathbf{v}_n \times \mathbf{D} \\ \mathbf{E}_* &= \mathbf{E} + \frac{1}{c} \mathbf{v}_n \times \mathbf{B}, & \mathbf{D}_* &= \mathbf{D} + \frac{1}{c} \mathbf{v}_n \times \mathbf{H} \end{aligned} \quad (1.7)$$

где  $\mathbf{v}_n$  — вектор скорости перемещения поверхности раздела в направлении нормали,  $\mathbf{n}$  — вектор нормали к поверхности раздела в неподвижной системе координат.

Рассматриваемая здесь задача колебаний токнесущей пластинки будет полностью поставлена, если к уравнениям (1.3) и (1.4) присоединить уравнения движения пластинки с учетом сил и моментов электромагнитного происхождения и соответствующих граничных условий на поверхности раздела двух сред (пластинки и вакуума). Силы и моменты электромагнитного происхождения определяются из формул

$$\mathbf{R} = \int_{-h}^h \left[ \frac{\sigma}{c} \left( \mathbf{E} + \frac{1}{c} \frac{\partial \mathbf{u}}{\partial t} \times \mathbf{B} \right) \times \mathbf{B} + \nu_e \mathbf{E} \right] dz \quad (1.8)$$

$$\mathbf{m} = \int_{-h}^h \left[ \frac{\sigma}{c} \left( \mathbf{E} + \frac{1}{c} \frac{d\mathbf{u}}{dt} \times \mathbf{B} \right) \times \mathbf{B} + \nu_e \mathbf{E} \right] z dz$$

В настоящей работе рассматриваются задачи магнитоупругих колебаний при малых возмущениях. Принимая для компонент возмущенного электромагнитного поля

$$\mathbf{H} = \mathbf{H}_0 + \mathbf{h}, \quad \mathbf{E} = \mathbf{E}_0 + \mathbf{e} \quad (1.9)$$

и учитывая, что компоненты векторов  $\mathbf{h}$  и  $\mathbf{e}$  индуцированного электромагнитного поля и компоненты вектора  $\mathbf{u}$  малы, уравнения (1.4) и (1.5) линеаризуются. Используя при этом связи (1.6) и линеаризованные соотношения (1.7), получим уравнения электродинамики в следующем виде:

для внутренней области (здесь и в дальнейшем индекс  $(i)$  опускается)

$$\begin{aligned} \frac{\partial h_x}{\partial y} - \frac{\partial h_y}{\partial z} = \frac{4\pi\sigma}{c} \left[ e_x + \frac{1}{c} \left( B_{0y} \frac{\partial u_x}{\partial t} - B_{0x} \frac{\partial u_y}{\partial t} \right) \right] + \\ + \frac{\varepsilon}{c} \frac{\partial e_x}{\partial t} - \frac{\varepsilon\mu - 1}{c^2} H_{0y} \frac{\partial^2 u_x}{\partial t^2} \end{aligned} \quad (1.10)$$

$$\begin{aligned} \frac{\partial h_x}{\partial z} - \frac{\partial h_z}{\partial x} = \frac{4\pi\sigma}{c} \left[ e_y + \frac{1}{c} \left( B_{0x} \frac{\partial u_x}{\partial t} - B_{0y} \frac{\partial u_x}{\partial t} \right) \right] + \\ + \frac{\varepsilon}{c} \frac{\partial e_y}{\partial t} + \frac{\varepsilon\mu - 1}{c^2} H_{0x} \frac{\partial^2 u_x}{\partial t^2} \end{aligned} \quad (1.11)$$

$$\frac{\partial h_y}{\partial x} - \frac{\partial h_x}{\partial y} = \frac{4\pi\sigma}{c} \left[ e_z + \frac{1}{c} \left( B_{0y} \frac{\partial u_y}{\partial t} - B_{0x} \frac{\partial u_y}{\partial t} \right) \right] + \frac{\varepsilon}{c} \frac{\partial e_z}{\partial t} \quad (1.12)$$

$$\frac{\partial e_z}{\partial y} - \frac{\partial e_y}{\partial z} = -\frac{\mu}{c} \frac{\partial h_x}{\partial t} - \frac{\varepsilon\mu - 1}{c^2} E_{0y} \frac{\partial^2 u_z}{\partial t^2} \quad (1.13)$$

$$\frac{\partial e_x}{\partial z} - \frac{\partial e_z}{\partial x} = -\frac{\mu}{c} \frac{\partial h_y}{\partial t} + \frac{\varepsilon\mu - 1}{c^2} E_{0x} \frac{\partial^2 u_z}{\partial t^2} \quad (1.14)$$

$$\frac{\partial e_y}{\partial x} - \frac{\partial e_x}{\partial y} = -\frac{\mu}{c} \frac{\partial h_z}{\partial t} \quad (1.15)$$

$$\frac{\partial h_x}{\partial x} + \frac{\partial h_y}{\partial y} + \frac{\partial h_z}{\partial z} + \frac{\varepsilon\mu - 1}{\mu c} \left( E_{0y} \frac{\partial^2 u_x}{\partial x \partial t} - E_{0x} \frac{\partial^2 u_x}{\partial y \partial t} \right) = 0 \quad (1.16)$$

$$\frac{\partial e_x}{\partial x} + \frac{\partial e_y}{\partial y} + \frac{\partial e_z}{\partial z} + \frac{\epsilon_{\mu} - 1}{\mu c} \left( H_{0x} \frac{\partial^2 u_z}{\partial y \partial t} - H_{0y} \frac{\partial^2 u_z}{\partial x \partial t} \right) = \frac{4\pi}{c} \rho_e \quad (1.17)$$

для внешней области

$$\operatorname{rot} \mathbf{h}^{(e)} = \frac{1}{c} \frac{\partial \mathbf{e}^{(e)}}{\partial t}, \quad \operatorname{rot} \mathbf{e}^{(e)} = -\frac{1}{c} \frac{\partial \mathbf{h}^{(e)}}{\partial t}, \quad \operatorname{div} \mathbf{h}^{(e)} = 0, \quad \operatorname{div} \mathbf{e}^{(e)} = 0 \quad (1.18)$$

Члены с коэффициентами  $\epsilon$  и  $\epsilon_{\mu} - 1$  в уравнениях (1.10)–(1.12) обусловлены токами смещения. Для проводников, обладающих хорошей проводимостью, токами смещения можно пренебречь по сравнению с токами проводимости, что в дальнейшем и делается.

2. Гипотезы магнитоупругости, предложенные в работах [1, 2], аналитически записываются следующим образом:

$$u_x = -z \frac{\partial \omega}{\partial x}, \quad u_y = -z \frac{\partial \omega}{\partial y}, \quad u_z = \omega(x, y, t) \quad (2.1)$$

$$e_x = \varphi(x, y, t), \quad e_y = \psi(x, y, t), \quad h_z = f(x, y, t)$$

Интегрируя уравнения (1.10) и (1.11) по  $z$  и используя соотношения (2.1), компоненты индуцированного магнитного поля  $h_x$  и  $h_y$  определим посредством их граничных значений при  $z = \pm h$  и функций  $\varphi$ ,  $\psi$ ,  $f$ ,  $\omega$

$$h_x = \frac{h_x^+ + h_x^-}{2} + z \left( \frac{\partial f}{\partial x} + \frac{4\pi\sigma}{c} \varphi \right) + \frac{4\pi\sigma}{c^2} \left( a_x \frac{\partial \omega}{\partial t} + a \frac{\partial^2 \omega}{\partial x \partial t} \right) \quad (2.2)$$

$$h_y = \frac{h_y^+ + h_y^-}{2} + z \left( \frac{\partial f}{\partial y} - \frac{4\pi\sigma}{c} \psi \right) + \frac{4\pi\sigma}{c^2} \left( a_y \frac{\partial \omega}{\partial t} + a \frac{\partial^2 \omega}{\partial y \partial t} \right)$$

Здесь  $h_x^+$ ,  $h_x^-$  и  $h_y^+$ ,  $h_y^-$  — значения компонент  $h_x$  и  $h_y$  при  $z = \pm h$  соответственно,

$$a = \int_{-h}^z B_{0z} z dz - \frac{1}{2} \int_{-h}^h B_{0z} z dz, \quad a_i = \int_{-h}^z B_{0i} dz - \frac{1}{2} \int_{-h}^h B_{0i} dz \quad (i = x, y, z)$$

В выражениях (2.2), как было оговорено выше, токи смещения не учтены. Однако, из уравнений (1.10) и (1.11) легко заметить, что при определении  $h_x$  и  $h_y$  учет токов смещения не представляет трудности.

Аналогичным образом из уравнения (1.12) определяется компонента электрического поля  $e_z$ . При этом пренебрежение токами смещения существенно облегчает нахождение  $e_z$ :

$$e_z = \frac{c}{4\pi\sigma} \left[ \frac{\partial}{\partial x} \left( \frac{h_y^+ + h_y^-}{2} \right) - \frac{\partial}{\partial y} \left( \frac{h_x^+ + h_x^-}{2} \right) \right] - z \left( \frac{\partial \varphi}{\partial x} + \frac{\partial \psi}{\partial y} \right) +$$

$$+ \frac{1}{c} \left[ \left( a_y - \frac{\partial a}{\partial y} \right) \frac{\partial^2 \omega}{\partial x \partial t} - \left( a_x - \frac{\partial a}{\partial x} \right) \frac{\partial^2 \omega}{\partial y \partial t} \right] + \frac{z}{c} \left( B_{0y} \frac{\partial^2 \omega}{\partial x \partial t} - B_{0x} \frac{\partial^2 \omega}{\partial y \partial t} \right) \quad (2.3)$$

При необходимости учета токов смещения приведенный в настоящей работе способ получения уравнений магнитоупругости можно применить в следующих случаях:

а) при решении задач с периодическими колебаниями. Искомые величины в этих задачах представляются в виде  $q(x, y, z) \exp(i\omega t)$  и компонента  $e_z$  определяется из уравнения (1.12);

б) при решении задач магнитоупругости, для которых выполняются условия отсутствия электрических зарядов [4]. Тогда компоненту  $e_z$  следует определять из уравнения (1.17) при  $\varphi_e = 0$  после соответствующего интегрирования по  $z$ .

Используя соотношения (2.1) и интегрируя уравнения (1.15), (1.10) и (1.11) по  $z$  в пределах от  $-h$  до  $h$ , получим следующие уравнения, определяющие неизвестные функции  $\varphi$ ,  $\psi$ ,  $f$ :

$$\begin{aligned} \frac{\partial \varphi}{\partial x} - \frac{\partial \psi}{\partial y} &= -\frac{\mu}{c} \frac{\partial f}{\partial t} \\ \frac{\partial f}{\partial y} - \frac{4\pi\sigma}{c} \varphi + \frac{4\pi\sigma}{2hc^2} \left( c_2 \frac{\partial^2 w}{\partial y \partial t} + b_y \frac{\partial w}{\partial t} \right) &= \frac{h_+ - h_-}{2h} \\ \frac{\partial f}{\partial x} + \frac{4\pi\sigma}{c} \psi + \frac{4\pi\sigma}{2hc^2} \left( c_2 \frac{\partial^2 w}{\partial x \partial t} + b_x \frac{\partial w}{\partial t} \right) &= \frac{h_+ - h_-}{2h} \end{aligned} \quad (2.4)$$

где

$$b_l = \int_{-h}^h B_{0l} dz, \quad c_l = \int_{-h}^h z B_{0l} dz \quad (l = x, y, z)$$

Соответствующее интегрирование остальных уравнений из (1.10) — (1.16) после некоторых преобразований приводит к дополнительным условиям, налагаемым на граничные значения искомых величин при  $z = \pm h$

$$\begin{aligned} & \left. \frac{\partial}{\partial y} \left[ \frac{\partial}{\partial x} \left( \frac{h_+ + h_-}{2} \right) - \frac{\partial}{\partial y} \left( \frac{h_+ + h_-}{2} \right) \right] = \right. \\ &= -\frac{4\pi\sigma}{c} \left[ \mu \frac{\partial}{\partial t} \left( \frac{h_+ + h_-}{2} \right) - \frac{1}{2h} \frac{\partial}{\partial y} \left( \frac{\partial g_z}{\partial y} \frac{\partial^2 w}{\partial x \partial t} - \frac{\partial g_z}{\partial x} \frac{\partial^2 w}{\partial y \partial t} \right) - \right. \\ & \quad \left. - \frac{4\pi\sigma\mu}{2hc^2} \left( c_2 \frac{\partial^2 w}{\partial t^2} + g_z \frac{\partial^2 w}{\partial x \partial t^2} \right) - \frac{\varepsilon\mu - 1}{c} E_{0y} \frac{\partial^2 w}{\partial t^2} \right] \\ & \left. \frac{\partial}{\partial x} \left[ \frac{\partial}{\partial x} \left( \frac{h_+ + h_-}{2} \right) - \frac{\partial}{\partial y} \left( \frac{h_+ + h_-}{2} \right) \right] = \right. \\ &= \frac{4\pi\sigma}{c^2} \left[ \mu \frac{\partial}{\partial t} \left( \frac{h_+ + h_-}{2} \right) - \frac{1}{2h} \frac{\partial}{\partial x} \left( \frac{\partial g_z}{\partial y} \frac{\partial^2 w}{\partial x \partial t} - \frac{\partial g_z}{\partial x} \frac{\partial^2 w}{\partial y \partial t} \right) - \right. \\ & \quad \left. - \frac{4\pi\sigma\mu}{2hc^2} \left( c_3 \frac{\partial^2 w}{\partial t^2} + g_z \frac{\partial^2 w}{\partial y \partial t^2} \right) - \frac{\varepsilon\mu - 1}{c} E_{0x} \frac{\partial^2 w}{\partial t^2} \right] \end{aligned} \quad (2.5)$$

$$\frac{\partial}{\partial x} \left( \frac{h_x^+ + h_x^-}{2} \right) + \frac{\partial}{\partial y} \left( \frac{h_y^+ + h_y^-}{2} \right) = \frac{4\pi\epsilon^2}{2hc^2} \left[ \frac{\partial}{\partial x} \left( c_x \frac{\partial w}{\partial t} + g_x \frac{\partial^2 w}{\partial x \partial t} \right) + \right. \\ \left. + \frac{\partial}{\partial y} \left( c_y \frac{\partial w}{\partial t} + g_y \frac{\partial^2 w}{\partial y \partial t} \right) \right] - \frac{\epsilon^2 - 1}{\mu c} \left( E_{0y} \frac{\partial^2 w}{\partial x \partial t} - E_{0x} \frac{\partial^2 w}{\partial y \partial t} \right) \quad (2.5)$$

где

$$g_i = \int_{-h}^h z^2 B_{0i} dz \quad (i = x, y, z)$$

К уравнениям (2.4) необходимо присоединить линейное уравнение движения пластинки с учетом сил и моментов электромагнитного происхождения [1]

$$D\Delta^2 w + \frac{\partial}{\partial x} \left( T_{0x} \frac{\partial w}{\partial x} \right) + \frac{\partial}{\partial y} \left( T_{0y} \frac{\partial w}{\partial y} \right) + 2gh \frac{\partial^2 w}{\partial t^2} = R_z + \frac{\partial m_x}{\partial x} + \frac{\partial m_y}{\partial y} \quad (2.6)$$

Здесь  $T_{0x}$  и  $T_{0y}$  — усилия в направлениях  $x$  и  $y$ , определяемые из решения соответствующей задачи упругости при наличии статических объемных сил электромагнитного происхождения в направлениях  $x$  и  $y$

$$R_{0x} = \frac{\sigma}{c} b_x E_{0y}, \quad R_{0y} = -\frac{\sigma}{c} b_y E_{0x}$$

Сила  $R_z$  и моменты  $m_x$ ,  $m_y$  определяются согласно формулам (1.8) следующим образом (формулы (1.8) предварительно линеаризуются и преобразуются с учетом (2.1) — (2.3)):

$$R_z = \frac{\sigma}{c} \left\{ b_y (E_{0x} + \varphi) - b_x (E_{0y} + \psi) + \right. \\ \left. + \frac{1}{c} \left[ (b_{xx} + b_{yy}) \frac{\partial w}{\partial t} + c_{xz} \frac{\partial^2 w}{\partial x \partial t} + c_{yz} \frac{\partial^2 w}{\partial y \partial t} \right] \right\} \\ m_x = \frac{\sigma}{c} \left\{ c_z (E_{0y} + \psi) - c_y \frac{c}{4\pi\epsilon} \left[ \frac{\partial}{\partial x} \left( \frac{h_y^+ + h_y^-}{2} \right) - \frac{\partial}{\partial y} \left( \frac{h_x^+ + h_x^-}{2} \right) \right] + \right. \\ \left. + g_y \left( \frac{\partial \varphi}{\partial x} + \frac{\partial \psi}{\partial y} \right) + \frac{c_{xz}}{c} \frac{\partial w}{\partial t} - \frac{1}{c} \left[ l_{yy} - \frac{1}{2} b_y c_y - \frac{\partial}{\partial y} \left( l_y - \frac{1}{2} c_z c_y \right) - \right. \right. \\ \left. \left. - g_{zz} \right] \frac{\partial^2 w}{\partial x \partial t} + \frac{1}{c} \left[ l_{xy} - \frac{1}{2} b_x c_y - \frac{\partial}{\partial x} \left( l_x - \frac{1}{2} c_z c_y \right) \right] \frac{\partial^2 w}{\partial y \partial t} + \right. \\ \left. + \frac{2h\epsilon E_{0x}}{4\pi} \left\{ \frac{e_z^+ + e_z^-}{2} - \frac{c}{4\pi\epsilon} \left[ \frac{\partial}{\partial x} \left( \frac{h_y^+ + h_y^-}{2} \right) - \frac{\partial}{\partial y} \left( \frac{h_x^+ + h_x^-}{2} \right) \right] - \right. \right. \\ \left. \left. - \frac{1}{2hc} \left( \frac{\partial g_z}{\partial y} \frac{\partial^2 w}{\partial x \partial t} - \frac{\partial g_z}{\partial x} \frac{\partial^2 w}{\partial y \partial t} \right) + \frac{\epsilon - 1}{2hc} \left( c_x \frac{\partial^2 w}{\partial y \partial t} - c_y \frac{\partial^2 w}{\partial x \partial t} \right) \right\} \right. \quad (2.7)$$

$$\begin{aligned}
m_y = & \frac{\sigma}{c} \left\{ -c_z(E_{0x} + \varphi) + c_x \frac{c}{4\pi\sigma} \left[ \frac{\partial}{\partial x} \left( \frac{h_y^+ + h_y^-}{2} \right) - \frac{\partial}{\partial y} \left( \frac{h_x^+ + h_x^-}{2} \right) \right] - \right. \\
& - g_x \left( \frac{\partial \varphi}{\partial x} + \frac{\partial \psi}{\partial y} \right) + \frac{c_{yz}}{c} \frac{\partial w}{\partial t} + \frac{1}{c} \left[ l_{yx} - \frac{1}{2} b_y c_x - \frac{\partial}{\partial y} \left( l_x - \frac{1}{2} c_z c_x \right) \right] \frac{\partial^2 w}{\partial x \partial t} - \\
& - \frac{1}{c} \left[ l_{yx} - \frac{1}{2} b_z c_x - \frac{\partial}{\partial x} \left( l_x - \frac{1}{2} c_z c_x \right) - g_{zz} \right] \frac{\partial^2 w}{\partial y \partial t} + \\
& + \frac{2hc E_{\nu\nu}}{4\pi} \left| \frac{e_x^+ + e_x^-}{2} - \frac{c}{4\pi z} \left[ \frac{\partial}{\partial x} \left( \frac{h_y^+ + h_y^-}{2} \right) - \frac{\partial}{\partial y} \left( \frac{h_x^+ + h_x^-}{2} \right) \right] - \right. \\
& - \left. \frac{1}{2hc} \left( \frac{\partial g_z}{\partial y} \frac{\partial^2 w}{\partial x \partial t} - \frac{\partial g_x}{\partial x} \frac{\partial^2 w}{\partial y \partial t} \right) + \frac{\nu\mu - 1}{2hc} \left( c_x \frac{\partial^2 w}{\partial y \partial t} - c_y \frac{\partial^2 w}{\partial x \partial t} \right) \right\}
\end{aligned} \quad (2.7)$$

где

$$\begin{aligned}
b_{ij} &= \int_{-h}^h B_{0i} B_{0j} dz, & c_{ij} &= \int_{-h}^h z B_{0i} B_{0j} dz, & g_{zz} &= \int_{-h}^h z^2 B_{0z}^2 dz \\
l_{ij} &= \int_{-h}^h \left( \int_{-h}^z B_{0i} d\tilde{z} \right) B_{0j} z dz, & l_i &= \int_{-h}^h \left( \int_{-h}^z \tilde{z} B_{0z} d\tilde{z} \right) z B_{0i} dz \\
&&& (i, j = x, y, z)
\end{aligned}$$

В четырех уравнениях (2.4) и (2.6) относительно искомых функций  $\varphi$ ,  $\psi$ ,  $j$ ,  $w$  содержатся также неизвестные значения тангенциальных компонент индуцированного магнитного поля и нормальной компоненты индуцированного электрического поля (согласно (2.7)) при  $z = \pm h$ . Поэтому уравнения (2.4) и (2.6), вообще, следует решать совместно с уравнениями электродинамики (1.18) для внешней области при общих граничных условиях на поверхностях, ограничивающих пластинку. Схема вывода указанных граничных условий на основе гипотез (2.1) для линейных задач магнитоупругости имеется в работе [2]. В рассматриваемом случае граничные условия на поверхности  $z = \pm h$  запишутся следующим образом.

$$\begin{aligned}
h_x &= h_x^{(e)} + \frac{\mu - 1}{\mu} B_{0z}^{(e)} \frac{\partial w}{\partial x} - \frac{z}{c} E_{0y} \frac{\partial w}{\partial t} \\
h_y &= h_y^{(e)} + \frac{\mu - 1}{\mu} B_{0z}^{(e)} \frac{\partial w}{\partial y} + \frac{z}{c} E_{0x} \frac{\partial w}{\partial t} \\
h_z &= \frac{1}{\mu} h_z^{(e)} + \frac{\mu - 1}{\mu} B_{0x}^{(e)} \frac{\partial w}{\partial x} + \frac{\mu - 1}{\mu} B_{0y}^{(e)} \frac{\partial w}{\partial y} \\
e_x &= e_x^{(e)} + \frac{\mu - 1}{\nu} B_{0y}^{(e)} \frac{\partial w}{\partial t}, & e_y &= e_y^{(e)} - \frac{\mu - 1}{c} B_{0x}^{(e)} \frac{\partial w}{\partial t} \\
e_z &= \frac{1}{\nu} e_z^{(e)} + E_{0x} \frac{\partial w}{\partial x} + E_{0y} \frac{\partial w}{\partial y}
\end{aligned} \quad (2.8)$$

3. Пусть бесконечная пластинка служит проводником равномерно распределенного тока в направлении оси  $x$ . Электрическое поле в пластинке дается вектором  $\mathbf{E}_0 [E_{0x}, 0, 0]$ ,  $E_{0x} = \text{const}$ .

Решая задачу магнитостатики — уравнения (1.2) при граничных условиях (1.3), — найдем

$$\mathbf{H}_0 = H_0 [0, H_{0y}, 0], \quad H_{0y} = \begin{cases} -\frac{4\pi\sigma}{c} E_{0x} h & \text{при } z > h \\ -\frac{4\pi\sigma}{c} E_{0x} z & \text{при } |z| \leq h \\ \frac{4\pi\sigma}{c} E_{0x} h & \text{при } z < -h \end{cases} \quad (3.1)$$

Используя (2.7) и (3.1), уравнения (2.4) и (2.6), определяющие искомые функции  $\varphi$ ,  $\psi$ ,  $f$ ,  $w$ , приведем к следующему виду:

$$\begin{aligned} \frac{\partial\psi}{\partial x} - \frac{\partial\varphi}{\partial y} = -\frac{\mu}{c} \frac{df}{dt}, \quad \frac{df}{dy} - \frac{4\pi\sigma}{c} \varphi = \frac{h_x^+ - h_y^-}{2h}, \quad \frac{\partial f}{\partial x} - \frac{4\pi\sigma}{c} \psi = \frac{h_x^- - h_x^+}{2h} \\ D\Delta^2 w + 2\eta h \frac{\partial^2 w}{\partial t^2} = -\frac{2h^2\sigma}{3c^2} \left( \frac{4\pi\sigma}{c} E_{0x} \right)^2 \frac{\partial w}{\partial t} + \\ + \frac{2h^2\sigma}{3c^2} E_{0x}^2 \left[ \left( \frac{4\pi\sigma}{c} \right)^2 \frac{h^2}{5} + (\varepsilon\mu - 1) \frac{\partial^2 w}{\partial x^2 \partial t} + \frac{\varepsilon h E_{0x}}{2\pi} \frac{\partial}{\partial x} \left( \frac{e_z^+ + e_z^-}{2} \right) + \right. \\ \left. + \frac{2h^2\sigma E_{0x}}{3c} \left[ 1 - \frac{3\pi c^2}{(4\pi\sigma)^2 h^2} \right] \frac{\partial}{\partial x} \left[ \frac{\partial}{\partial x} \left( \frac{h_y^+ + h_y^-}{2} \right) - \frac{\partial}{\partial y} \left( \frac{h_x^+ + h_x^-}{2} \right) \right] \right] \end{aligned} \quad (3.2)$$

В частном случае, когда колебания не зависят от координаты  $x$ , получаем  $\varphi = 0$ , а вместо (3.2) — следующие уравнения:

$$\begin{aligned} \frac{\partial\varphi}{\partial y} = \frac{\mu}{c} \frac{df}{dt}, \quad \frac{df}{dy} - \frac{4\pi\sigma}{c} \varphi = \frac{h_x^+ - h_y^-}{2h} \\ D \frac{\partial^4 w}{\partial y^4} + 2\eta h \frac{\partial^2 w}{\partial t^2} = -\frac{2h^2\sigma}{3c^2} \left( \frac{4\pi\sigma}{c} E_{0x} \right)^2 \frac{\partial w}{\partial t} \end{aligned} \quad (3.3)$$

Из (3.3) видно, что в этом случае уравнение движения пластинки отделяется от уравнений для индуцированного электромагнитного поля. Представляя решение уравнения движения пластинки в виде

$$w = w_0 \exp i(\omega t - kx)$$

получим характеристическое уравнение, определяющее частоту колебаний

$$\Omega^4 + 2\beta\Omega^2 + 1 = 0 \quad (3.4)$$

Здесь

$$\Omega = \frac{i\omega}{\Omega_0}, \quad \beta = \frac{\sigma h^2}{6\eta c^2 \Omega_0} \left( \frac{4\pi\sigma}{c} E_{0x} \right)^2, \quad \Omega_0 = \frac{Dk^4}{2\eta h}$$

Решение уравнения (3.4) показывает, что при  $\beta < 1$  возмущения затухают по экспоненциальному закону с коэффициентом затухания и частотой  $(1 - \beta^2)^{1/2}$ , а при  $\beta > 1$  возмущения затухают без колебаний с коэффициентом затухания  $\beta + (\beta^2 - 1)^{1/2}$ .

В рассмотренном частном случае условие отсутствия электрического заряда, приведенное в работе [4], выполняется. Следовательно, как было указано выше, легко можно учитывать токи смещения, определяя компоненту  $e_z$  из уравнения (1.17) интегрированием по  $z$ . Повторяя далее процедуру, приведенную в пункте 2, можно показать, что первое и третье уравнения из (3.2) остаются без изменений, а вместо второго уравнения получим

$$\frac{\partial f}{\partial y} - \frac{4\pi s}{c} z = - \frac{\varepsilon}{c} \frac{\partial \varphi}{\partial t} = \frac{h_+ - h_-}{2h}$$

Таким образом, в этом случае с точностью гипотез магнитоупругости токи смещения не влияют на характер упругих колебаний пластинки.

Институт механики  
АН Армянской ССР

Поступила 6 VII 1973

Մ. Վ. ԲԵԼՈՒԲԵԿՅԱՆ

ՀԱՍԱՆՔԱՏԱՐ ԽԱՆԵՐԻ ԻՄԱԳՆԵՍԱԿԱՌԱՉԿԱԿԱՆՈՒԹՅԱՆ  
ՀԱՎԱՍԱՐՈՒՄՆԵՐԻ ՎԵՐԱԲԵՐՅՈՒՄ

Ա մ փ ո փ ո ս մ

[1, 2] աշխատանքներում առաջարկված մագնիսաառաձգականության վարկածների հիման վրա ստացվում են մագնիսական դաշտում անդադրված հոսանքատար սալերի մագնիսաառաձգականության հավասարումները, ինքնազորված է, որ էլեկտրական հոսանքը դուրսհան է սալի միջին հարթությանը: Ստացված հավասարումները ուսումնասիրված են մասնավոր դեպքի համար: Դիտարկված են անվերջ սալի տատանումները, որին հաղորդվում է հավասարաչափ բաշխված էլեկտրական հոսանք, Գտնվում են տատանումների հաճախականությունը և մարման օրենքը՝ կախված հոսանքի խտությունից:

ON MAGNETOELASTIC EQUATIONS FOR  
CURRENT-CARRYING PLATES

M. V. BELUBEKIAN

S u m m a r y

On the basis of magnetoelasticity hypothesis the equations for magnetoelastic oscillations of plates are deduced. The plates carry electrical current and are placed in a magnetic field.

The frequency of oscillations and the law of damping dependent on electrical current density are defined for a special case.

#### ЛИТЕРАТУРА

1. Амбарцумян С. А., Багдасарян Г. Е., Белубекян М. В. К трехмерной задаче магнитоупругих колебаний пластинки. ПММ, т. 35, вып. 2, 1971.
2. Амбарцумян С. А., Багдасарян Г. Е., Белубекян М. В. К магнитоупругости тонких оболочек и пластин. ПММ, т. 37, вып. 1, 1973.
3. Сейдов Л. И. Механика сплошных сред, т. 1. Наука, М., 1970.
4. Белубекян М. В. Условия отсутствия электрического заряда в задачах электромагнитоупругости. Докл. АН Арм. ССР, т. LVI, № 2, 1973.

А. Г. БАГДОЕВ

ОПРЕДЕЛЕНИЕ ФУНДАМЕНТАЛЬНЫХ РЕШЕНИЙ  
 ДЛЯ УРАВНЕНИЙ МАГНИТОТЕРМОУПРУГОСТИ

В работе рассматривается общий и вместе с тем простой подход к получению решений уравнений движения однородной среды при наличии сосредоточенных импульсов. Решения находятся методом интегральных преобразований Фурье и Лапласа, а затем приводятся к форме записи через аналитические функции, введенной В. И. Смирновым и С. Л. Соболевым [1]. Указанным методом в плоской задаче определены фундаментальные решения для уравнений однородного изотропного упругого тела, магнитоупругости, однородного анизотропного упругого тела, термоупругости.

1. Рассматривается задача определения вектора смещения  $(u, v)$  в плоской задаче для однородного изотропного упругого тела, удовлетворяющего нулевым начальным условиям и уравнениям

$$\begin{aligned} \rho \frac{\partial^2 u}{\partial t^2} &= (\mu + \lambda) \frac{\partial}{\partial x} \left( \frac{\partial u}{\partial x} + \frac{\partial v}{\partial y} \right) + \mu \left( \frac{\partial^2 u}{\partial x^2} + \frac{\partial^2 u}{\partial y^2} \right) + X \\ \rho \frac{\partial^2 v}{\partial t^2} &= (\mu + \lambda) \frac{\partial}{\partial y} \left( \frac{\partial u}{\partial x} + \frac{\partial v}{\partial y} \right) + \mu \left( \frac{\partial^2 v}{\partial x^2} + \frac{\partial^2 v}{\partial y^2} \right) + Y \end{aligned} \quad (1.1)$$

где объемные силы берутся в виде  $X = X_0 \delta(x) \delta(y) \delta(t)$ ,  $Y = Y_0 \delta(x) \delta(y) \delta(t)$ ,  $\delta(x)$  есть дельта-функция.

Вводя преобразование по Лапласу  $\bar{u}, \bar{v}$  от  $u, v$  по  $t$  и записывая

$$\bar{u} = \int_{-\infty}^{\infty} \int_{-\infty}^{\infty} \bar{\bar{u}} e^{i(\bar{\alpha}x + \bar{\beta}y)} d\bar{\alpha} d\bar{\beta}, \quad \bar{v} = \int_{-\infty}^{\infty} \int_{-\infty}^{\infty} \bar{\bar{v}} e^{i(\bar{\alpha}x + \bar{\beta}y)} d\bar{\alpha} d\bar{\beta} \quad (1.2)$$

из (1.1) после применения обратного к (1.2) преобразования Фурье можно получить уравнения, решение которых имеет вид

$$\begin{aligned} D\bar{\bar{u}} &= \frac{X_0}{4\pi^2\rho} (s^2 + a^2\bar{\alpha}^2 + b^2\bar{\beta}^2) - \frac{Y_0}{4\pi^2\rho} \bar{\alpha}\bar{\beta} (a^2 - b^2) \\ D\bar{\bar{v}} &= \frac{Y_0}{4\pi^2\rho} (s^2 + a^2\bar{\alpha}^2 + b^2\bar{\beta}^2) - \frac{X_0}{4\pi^2\rho} \bar{\alpha}\bar{\beta} (a^2 - b^2) \end{aligned} \quad (1.3)$$

где

$$D = |\omega^2 - (\bar{\alpha}^2 + \bar{\beta}^2) a^2| |\omega^2 - (\bar{\alpha}^2 + \bar{\beta}^2) b^2|, \quad a^2 = \frac{\epsilon + 2\mu}{\varphi}$$

$$b^2 = \frac{\mu}{\varphi}, \quad s = -i\omega$$

Полагая для определенности  $y > 0$ , можно видеть, что волны, определяемые уравнением  $t - \alpha_0 x - \beta(u_0) y = 0$  лишь при  $\beta > 0$  будут приходящими в точку  $(x, y)$  из точки 0, поэтому согласно принципу излучения нужно выбрать корни уравнения  $D = 0$  в виде  $\bar{\beta}_1 = \omega \sqrt{\frac{1}{a^2} - \alpha^2}$ ,  $\bar{\beta}_2 = \omega \sqrt{\frac{1}{b^2} - \alpha^2}$ ,  $\alpha = \frac{\bar{\alpha}}{\omega}$ ,  $\beta = \frac{\bar{\beta}}{\omega}$ . Введением малой мнимой части для  $\omega$  можно добиться, чтобы указанные корни находились вне действительной оси плоскости  $\beta$ , и тогда по теореме о вычетах

$$4\pi^2 \bar{\rho} u = 2-i\omega \operatorname{sgn} \omega \int_{-\infty}^{\infty} e^{i(\bar{\alpha}x + \bar{\beta}_1 y)} \frac{1}{-2a^2 \bar{\beta}_1} \times$$

$$\times \frac{X_0(s^2 + a^2 \bar{\beta}_1^2 + b^2 \bar{\alpha}^2) - Y_0 \bar{\alpha} \bar{\beta}_1 (a^2 - b^2)}{\omega^2 - (\bar{\alpha}^2 + \bar{\beta}_1^2) b^2} dz + 2-i\omega \operatorname{sgn} \omega \int_{-\infty}^{\infty} e^{i(\bar{\alpha}x + \bar{\beta}_2 y)} \times$$

$$\times \frac{1}{-2b^2 \bar{\beta}_2} \frac{X_0(s^2 + a^2 \bar{\beta}_2^2 + b^2 \bar{\alpha}^2) - Y_0 \bar{\alpha} \bar{\beta}_2 (a^2 - b^2)}{\omega^2 - (\bar{\alpha}^2 + \bar{\beta}_2^2) a^2} dz \quad (1.4)$$

Аналогичное выражение получается для  $v$ . Для точек  $y < 0$  знаки  $\bar{\beta}_1, \bar{\beta}_2$  меняются, однако решение получится снова в прежнем виде. При применении обратного преобразования по  $t$  существенными оказываются окрестности точек  $\alpha = \alpha_k$  ( $k=1,2$ ), для которых

$$T(\alpha) = t - \alpha x - \beta_k(\alpha) y, \quad T(\alpha_k) = 0 \quad (1.5)$$

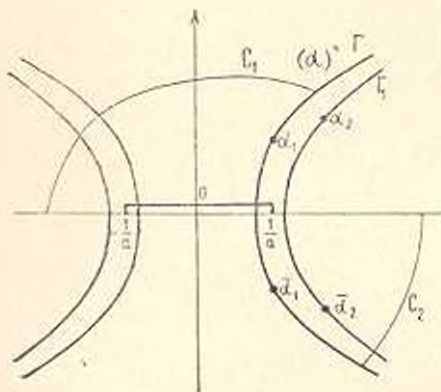
причем комплексно сопряженные значения  $\alpha = \bar{\alpha}_k$  также удовлетворяют (1.5). Далее контур интегрирования  $-\infty < \alpha < \infty$  заменяется на контуры  $\Gamma, \Gamma_1$  (причем в § 2 полюсы подынтегральных функций не дадут дополнительных слагаемых в решении).

Пусть  $\omega > 0$ . Заменяем контур интегрирования  $-\infty < \alpha < \infty$  на контуры  $\Gamma, \Gamma_1$ , проходящие через указанные точки  $\alpha_k$  в направлении  $\operatorname{Im} T(\alpha) = 0$ . Для этого нужно найти области постоянного знака  $\operatorname{Im} T(\alpha)$ . Обозначая  $T(\alpha) = B$ , где величина  $B$  вещественна, обозначая  $\alpha = \xi + i\eta$ , можно убедиться, что в плоскости  $\xi, \eta$  линии  $T(\alpha) = B$  состоят из двух ветвей гиперболы

$$\frac{\xi^2}{x^2/a_n^2(x^2 + y^2)} - \frac{\eta^2}{y^2/a_n^2(x^2 + y^2)} = 1$$

где  $a_n = a$  или  $a_n = b$  соответственно, а также из отрезков действительной оси  $|\xi| < \frac{1}{a_n}$ .

Пусть  $x > 0, y > 0$ . Тогда, предполагая, что на положительной мнимой полуоси  $\beta_n = \sqrt{\frac{1}{a_n^2} - a^2}$  положительны, можно показать, что  $\text{Im } T(\alpha) < 0$  в областях (фиг. 1), где проходят дуги окружностей  $C_1$  и  $C_2$ . Интегрирование по  $z$  от  $-\infty$  до  $\frac{x}{a_n \sqrt{x^2 + y^2}}$  заменяется интегрированием по верхней половине контура  $\Gamma$ , а интегрирование по  $z$  от  $\frac{x}{a_n \sqrt{x^2 + y^2}}$  до  $\infty$  — интегрированием по нижней половине  $\Gamma$ .



Фиг. 1

Это возможно сделать, так как на  $C_1$  и  $C_2$   $e^{-i\omega z}$  стремится к нулю в силу условия  $\text{Im } T(\alpha) < 0$  при неограниченном увеличении радиуса окружностей  $C_{1,2}$ . Тогда при  $\omega > 0$  можно заменить интегрирование по действительной оси  $z$  интегрированием по  $\Gamma$  (фиг. 1). Аналогичные рассуждения применимы к контуру  $\Gamma_1$ . При  $\omega < 0$  вместо  $C_{1,2}$  берутся их дополнения до верхней и соответственно нижней полуокружностей, на которых  $\text{Im } T(\alpha) > 0$ . Тогда интегрирование по действительной оси  $z$  заменится интегрированием по  $\Gamma$  в обратном предыдущему направлении. Весь интеграл в (1.4) поменяет знак на обратный, а решение будет таким же, как при  $\omega > 0$ . При  $x < 0$  точки  $\alpha_1, \alpha_2$  лежат на левых ветвях гиперболы (фиг. 1), контуры  $C_1, C_2$  заменяются на симметричные им относительно оси  $z$  контуры, и решение не изменяется.

Итак, при любом  $\omega$

$$4\pi^2 \bar{u} = 2\pi i \int_{\Gamma} e^{i\omega(z+\beta, y)} \frac{1}{-2\beta_1 a^2} \frac{X_0(-1 + a^2 \beta_1^2 + b^2 a^2) - Y_0 a \beta_1 (a^2 - b^2)}{1 - (a^2 + \beta_1^2) b^2} dz +$$

$$+ 2\pi i \int_{\Gamma_1} e^{i\omega(z+\beta, y)} \frac{1}{-2\beta_2 b^2} \frac{X_0(-1 + a^2 \beta_2^2 + b^2 a^2) - Y_0 a \beta_2 (a^2 - b^2)}{1 - (a^2 + \beta_2^2) a^2} dz$$

Переходя к оригиналам в (1.4), получим

$$u = -\frac{i}{4\pi^2\rho} \int \frac{\delta(t - \alpha x - \beta_1 y)}{\beta_1 a^2} \frac{X_0(-1 + a^2\beta_1^2 + b^2\alpha^2) - Y_0\alpha\beta_1(a^2 - b^2)}{1 - (x^2 + \beta_1^2)b^2} dx -$$

$$-\frac{i}{4\pi^2\rho} \int \frac{\delta(t - \alpha x - \beta_2 y)}{\beta_2 b^2} \frac{X_0(-1 + a^2\beta_2^2 + b^2\alpha^2) - Y_0\alpha\beta_2(a^2 - b^2)}{1 - (x^2 + \beta_2^2)a^2} dx \quad (1.6)$$

где

$$\beta_1 = \sqrt{\frac{1}{a^2} - \alpha^2}, \quad \beta_2 = \sqrt{\frac{1}{b^2} - \alpha^2}$$

При вычислении интегралов по  $\Gamma, \Gamma_1$  существенны лишь точки  $z$ , в которых аргументы  $\delta$ -функции обращаются в нуль. Таких значений для  $\Gamma$  и  $\Gamma_1$  будет по два: значение  $z = z_1$  и сопряженное ему  $\bar{z}_1$  для контура  $\Gamma$  и соответственные значения  $z = z_2$  и  $\bar{z}_2$  для контура  $\Gamma_1$ , определяемые из уравнений (1.5) или

$$r^2 z_1 = tx + iy \sqrt{t^2 - r^2/a^2}, \quad r^2 z_2 = tx + iy \sqrt{t^2 - r^2/b^2}, \quad r^2 = x^2 + y^2 \quad (1.7)$$

Контур  $\Gamma$  проходит через точки  $z_1, \bar{z}_1$  в прямом и обратном направлениях соответственно фиг. 1. Вычисляя интегралы (1.6) от  $\delta$ -функции вещественного аргумента, можно убедиться, что решение запишется в виде

$$2\pi\rho u = \operatorname{Re} \frac{i(-X_0 z_1^2 - Y_0 z_1 \bar{z}_1)}{\beta_1 x - z_1 y} + \operatorname{Re} \frac{i(-X_0 \bar{z}_2^2 - Y_0 z_2 \bar{z}_2)}{\beta_2 x - z_2 y} \quad (1.8)$$

$$2\pi\rho v = \operatorname{Re} \frac{i(-Y_0 \bar{z}_1^2 - X_0 z_1 \bar{z}_1)}{\beta_1 x - z_1 y} + \operatorname{Re} \frac{i(-z_2^2 Y_0 + z_2 \bar{z}_2 X_0)}{\beta_2 x - z_2 y}$$

Здесь объединены попарно интегралы по окрестностям  $z_1, \bar{z}_1$  и  $z_2, \bar{z}_2$  соответственно, причем выражение для  $v$  получено аналогичным путем. Из (1.7), (1.8) получится

$$u = \frac{1}{2\pi\rho} \operatorname{Re} \frac{X_0 z_1^2 + Y_0 z_1 \bar{z}_1}{\sqrt{t^2 - r^2/a^2}} + \frac{1}{2\pi\rho} \operatorname{Re} \frac{X_0 \bar{z}_2^2 - Y_0 z_2 \bar{z}_2}{\sqrt{t^2 - r^2/b^2}} \quad (1.9)$$

$$v = \frac{1}{2\pi\rho} \operatorname{Re} \frac{Y_0 \bar{z}_1^2 + X_0 z_1 \bar{z}_1}{\sqrt{t^2 - r^2/a^2}} + \frac{1}{2\pi\rho} \operatorname{Re} \frac{Y_0 z_2^2 - X_0 z_2 \bar{z}_2}{\sqrt{t^2 - r^2/b^2}}$$

Решение (1.8) совпадает с фундаментальным решением уравнений теории упругости, данным в [1].

При проведении выкладок с интегралами по  $z$  должны были быть проведены разрезы в плоскости  $z$  от  $\pm \frac{1}{a}$  до  $\pm \infty$  для первых интегралов и от  $\pm \frac{1}{b}$  до  $\pm \infty$  для вторых интегралов (1.4).

В окончательном же решении (1.8) следует разрезать плоскости  $z_1, z_2$  по отрезкам  $-\frac{1}{a} < z_1 < \frac{1}{a}, -\frac{1}{b} < z_2 < \frac{1}{b}$  соответственно, причем верхние берега отрезков соответствуют верхним ( $y > 0$ ) частям фронтов воли, нижние берега — нижним полуокружностям воли.

Приведенный здесь метод гораздо проще метода [1]. Отделяя действительную часть в (1.9), можно получить решение в виде [2].

2. Получим фундаментальные решения для задачи магнитоупругости.

Уравнения имеют вид

$$\begin{aligned} \frac{\partial^2 u}{\partial t^2} - b^2 \nabla^2 u + (a^2 - b^2) \frac{\partial}{\partial x} \left( \frac{\partial u}{\partial x} + \frac{\partial v}{\partial y} \right) + \\ + \frac{H_x^2}{4\pi\rho} \nabla^2 u - \frac{H_x H_y}{4\pi\rho} \nabla^2 v + \frac{X_0}{\rho} \delta(x) \delta(y) \delta(t) \\ \frac{\partial^2 v}{\partial t^2} = b^2 \nabla^2 v + (a^2 - b^2) \frac{\partial}{\partial y} \left( \frac{\partial u}{\partial x} + \frac{\partial v}{\partial y} \right) - \\ - \frac{H_x H_y}{4\pi\rho} \nabla^2 u + \frac{H_y^2}{4\pi\rho} \nabla^2 v + \frac{Y_0}{\rho} \delta(x) \delta(y) \delta(t) \end{aligned} \quad (2.1)$$

где  $\nabla^2 = \frac{\partial^2}{\partial x^2} + \frac{\partial^2}{\partial y^2}$ ,  $(H_x, H_y)$  есть однородное начальное магнитное поле. Начальные условия нулевые.

Решение для преобразования Лапласа по  $t$  от компонентов смещений  $(\bar{u}, \bar{v})$  ищется в виде преобразования Фурье (1.2).

Без ограничения общности можно считать  $H_x = 0$ , и тогда после разрешения (2.1) относительно  $\bar{u}, \bar{v}$  получится

$$\begin{aligned} 4\pi^2 \bar{D} \bar{u} = X_0 \{s^2 + a^2 \bar{\xi}^2 + b^2 \bar{x}^2 + a_1^2 (\bar{z}^2 + \bar{\xi}^2)\} - Y_0 (a^2 - b^2) \bar{x} \bar{\xi} \\ 4\pi^2 \bar{D} \bar{v} = Y_0 (s^2 + a^2 \bar{x}^2 + b^2 \bar{\xi}^2) - X_0 (a^2 - b^2) \bar{x} \bar{\xi}, \quad a_1^2 = \frac{H_x^2}{4\pi\rho} \end{aligned} \quad (2.2)$$

где

$$\bar{D} = (s^2 + a^2 \bar{x}^2) (s^2 + b^2 \bar{\xi}^2 + a_1^2 \bar{z}^2) + \bar{\xi}^2 A(\bar{z}) \omega^2 + \bar{\xi}^4 (a^2 + a_1^2) b^2 \quad (2.3)$$

Здесь  $s = -i\omega$ , причем можно, как и прежде, обозначить  $\bar{x} = \frac{\xi}{\omega}$ ,

$\bar{\xi} = \frac{\xi}{\omega}$  и значение  $A(\bar{z})$  примет вид

$$A(\bar{z}) = (a^2 + b^2) a_1^2 \bar{z}^2 + 2a^2 b^2 \bar{z}^2 - a^2 - b^2 - a_1^2 \quad (2.4)$$

Уравнение поверхности (кривой) нормалей  $\bar{\xi} = \bar{\xi}_1(\bar{z})$  к магнитоупругим волнам получится из дисперсионного соотношения  $\bar{D} = 0$ , причем из (2.3) можно получить

$$2(a^2 + a_1^2) b^2 \beta_{1,2}^2 y = -A(x) \mp \sqrt{A^2(x) - 4(a^2 + a_1^2) b^2 (-1 + a^2 x^2) (-1 + b^2 x^2 + a_1^2 x^2)} \quad (2.5)$$

где верхний знак соответствует быстрым, а нижний — медленным волнам. Как и в § 1, можно вычислить вычет в интегралах по  $\beta$  относительно полюсов  $\beta_{1,2}$  соответственно и тогда получится, например, для  $\bar{u}$  значение

$$\bar{u} = \sum_{n=1}^2 \frac{i \operatorname{sgn} \omega}{2\pi y} \int_{-\infty}^{\infty} e^{i\omega(x_1 - \beta_n y)} \times \frac{X_0[-1 + a^2 \beta_n^2 + b^2 x^2 + a_1^2(x^2 + \beta_n^2)] - Y_0(a^2 - b^2) x \beta_n}{G(x, \beta_n)} \quad (2.6)$$

где  $D = \frac{\bar{D}}{\omega^4}$  находится из (2.3) после перехода к переменным  $x, \beta$ ,

$$G = \frac{\partial D}{\partial \beta} \Big|_{\beta = \beta_n}$$

Далее, как и в § 1, интегрирование по  $x$  в (2.6) заменяется интегрированием по контурам  $\Gamma, \Gamma_1$  (в первом и во втором интеграле), проходящим в направлениях  $\operatorname{Im} T_n(x) = 0$  через точки  $x = x_1, \bar{x}_1$  и  $x = x_2, \bar{x}_2$  соответственно, которые определяются из уравнений

$$T(x_n) = t - x_n x - \beta_n(x_n) y, \quad T(x_n) = 0, \quad n = 1, 2 \quad (2.7)$$

причем  $\beta_{1,2}(x)$  находятся из (2.5). Соображения по замене интегрирования по действительной оси  $x$  интегрированием по контурам  $\Gamma, \Gamma_1$  остаются прежними, только кривые  $\Gamma, \Gamma_1$  уже не будут гиперболами и кроме того надо выяснить, не имеется ли вклада в решение от возможных полюсов или точек ветвления подинтегральных функций. Можно показать, что в (2.6) полюсы отсутствуют, а точками ветвления будут корни  $x^{(1)} = \pm \frac{1}{a}, x^{(2)} = \pm \frac{1}{\sqrt{b^2 + a_1^2}}$  внешнего радикала для  $\beta_{1,2}(x)$ , а также корни  $x = x_1$  внутреннего радикала в (2.5), определяемые в виде

$$x_1^2 = \frac{a^2 + b^2 + a_1^2 \pm \sqrt{(a^2 + b^2 + a_1^2)^2 - (a^2 - b^2 + a_1^2)^2}}{a_1^2 (a^2 - b^2)}$$

Отсюда видно, что все точки ветвления находятся на действительной оси  $x$ , причем можно провести разрез плоскости  $x$  по ее действительной оси от  $\pm x_0$  до  $\pm \infty$ , где  $x_0 = \min(a_1, x^{(1)}, x^{(2)})$  и выбрать соответствующие ветви функций  $\beta_{1,2}(x)$ . При этом, как и в § 1, как видно из (2.5), на бесконечности получится  $\operatorname{Im} \omega \beta_{1,2}(x) > 0$  на верхнем берегу

левого разреза и нижнем берегу правого разреза, поскольку  $\beta_{1,2}(z) \approx \pm iaK_{1,2}$  при больших  $|z|$ . Контур интегрирования по  $z$ , как и в § 1, выбирается так, что он обходит особые точки на отрицательной действительной полуоси в верхней полуплоскости, а на положительной полуоси — в нижней полуплоскости. Как и в § 1, можно показать, что согласно (2.5)  $\beta_{1,2} \approx \pm iaK_{1,2}$  для больших  $z$ , причем при  $\omega > 0$ ,  $y > 0$  верхний знак выбирается на верхнем берегу левого разреза и нижнем берегу правого разреза, причем на контурах  $C_1$  и  $C_2$  (фиг. 1) получится  $\text{Im } T(\alpha_{1,2}) < 0$ . Контур интегрирования по  $\alpha$ , как и в § 1, выбирается так, что он обходит особые точки на отрицательной действительной полуоси в верхней полуплоскости, а на положительной полуоси — в нижней полуплоскости. При  $\omega < 0$  или  $y < 0$ , как и в § 1, можно показать, что получится снова решение (2.8). Согласно условию  $\text{Im } T(\alpha_{1,2}) < 0$  на контурах  $C_1$ ,  $C_2$ , можно заменить интегралы в (2.6) по действительной оси  $\alpha$  интегралами по контурам  $\Gamma$ ,  $\Gamma_1$ . Тогда после обратного преобразования по Лапласу получится

$$\begin{aligned}
 u = & \frac{i}{4\pi y} \int_{\Gamma} \delta(t - \alpha x - \beta_1 y) \times \\
 & \times \frac{X_0(-1 + a^2\beta_1^2 + b^2x^2 + a_1^2x^2 + a_1^2\beta_1^2) - Y_0(a^2 - b^2) \alpha \beta_1}{G(\alpha, \beta_1)} d\alpha + \\
 & + \frac{i}{4\pi y} \int_{\Gamma_1} \delta(t - \alpha x - \beta_2 y) \times \\
 & \times \frac{X_0(-1 + a^2\beta_2^2 + b^2x^2 + a_1^2x^2 + a_1^2\beta_2^2) - Y_0(a^2 - b^2) \alpha \beta_2}{G(\alpha, \beta_2)} d\alpha \quad (2.8)
 \end{aligned}$$

После вычисления интегралов по  $\Gamma$ ,  $\Gamma_1$ , на которых аргументы дельта-функции вещественны, получится окончательное решение в виде

$$\begin{aligned}
 u = & -\text{Re} \frac{i}{2\pi y} \sum_{n=1}^{\infty} \frac{X_0(-1 + a^2\beta_n^2 + b^2x_n^2 + a_1^2(x_n^2 + \beta_n^2)) - Y_0(a^2 - b^2) \alpha_n \beta_n}{G(\alpha_n, \beta_n)} \\
 v = & -\text{Re} \frac{i}{2\pi y} \sum_{n=1}^{\infty} \frac{Y_0(-1 + a^2x_n^2 + b^2\beta_n^2) - X_0(a^2 - b^2) \alpha_n \beta_n}{G(\alpha_n, \beta_n)}
 \end{aligned}$$

причем  $\beta_{1,2}(\alpha_{1,2})$  дается (2.5) и  $\alpha_{1,2}$  находятся из соотношений (2.7). Слагаемые в  $u$ ,  $v$ , соответствующие  $\alpha_1$  и  $\alpha_2$ , равны нулю вне соответствующих фронтов волн. Следует отметить, что некоторым частям физической плоскости может соответствовать по паре значений  $\alpha_2$  и ни одного значения  $\alpha_1$  [3], или наоборот, поэтому в решении (2.9) подразумевается сумма слагаемых по всем тем корням уравнений (2.7), которые существуют в рассматриваемой области. Указанным методом также получается решение задачи Ламба в магнитоупругости. Таким образом, получено точное решение (2.9) уравнений (2.1).

3. Определяются решения уравнений термоупругости при наличии точечных импульсов. Линейные уравнения термоупругости можно привести к виду [4]

$$\begin{aligned}\frac{\partial^2 u}{\partial t^2} &= b^2 \nabla^2 u + (a^2 - b^2) \frac{\partial}{\partial x} \left( \frac{\partial u}{\partial x} + \frac{\partial v}{\partial y} \right) - \frac{\gamma}{\rho} \frac{\partial \theta}{\partial x} + \frac{X_0}{\rho} \delta(x) \delta(y) \delta(t) \\ \frac{\partial^2 v}{\partial t^2} &= b^2 \nabla^2 v + (a^2 - b^2) \frac{\partial}{\partial y} \left( \frac{\partial u}{\partial x} + \frac{\partial v}{\partial y} \right) - \frac{\gamma}{\rho} \frac{\partial \theta}{\partial y} + \frac{Y_0}{\rho} \delta(x) \delta(y) \delta(t) \quad (3.1) \\ \nabla^2 \theta &= \left( \frac{1}{x} \frac{\partial \theta}{\partial t} + \eta \frac{\partial \operatorname{div} \bar{u}}{\partial t} \right) + \tau_0 \left( \frac{1}{x} \frac{\partial^2 \theta}{\partial t^2} + \eta \frac{\partial^2 \operatorname{div} \bar{u}}{\partial t^2} \right)\end{aligned}$$

где  $\theta = T - T_0$ ,  $T$  — температура,  $\gamma$ ,  $x$ ,  $\eta$ ,  $\tau_0$  — постоянные.

Решение для преобразования Лапласа по  $t$  от  $u$ ,  $v$  ищется в виде (1.2).

Из (3.1) после обратного преобразования по  $\bar{\alpha}$ ,  $\bar{\beta}$  получится

$$\begin{aligned}D \bar{u} &= \frac{X_0}{4\pi^2 \rho} \left( s^2 + b^2 \bar{\alpha}^2 + a^2 \bar{\beta}^2 - \frac{1}{\rho} \frac{\gamma \gamma_0 \bar{\beta}^2 s}{\rho} \right) - \\ &- \frac{Y_0}{4\pi^2 \rho} \left\{ \frac{\bar{\alpha} \bar{\beta} (a^2 - b^2)}{\rho} + \frac{1}{\rho} \frac{\gamma \gamma_0 \bar{\beta} s}{\rho} \right\} \\ D \bar{v} &= \frac{Y_0}{4\pi^2 \rho} \left( s^2 + b^2 \bar{\beta}^2 + a^2 \bar{\alpha}^2 + \frac{1}{\rho} \frac{\gamma \gamma_0 \bar{\alpha} s}{\rho} \right) - \\ &- \frac{X_0}{4\pi^2 \rho} \left\{ \frac{\bar{\alpha} \bar{\beta} (a^2 - b^2)}{\rho} + \frac{1}{\rho} \frac{\gamma \gamma_0 \bar{\alpha} s}{\rho} \right\}\end{aligned} \quad (3.2)$$

где

$$\rho = \frac{\bar{\alpha}^2 + \bar{\beta}^2}{1 + \tau_0 s} + \frac{s}{x}, \quad s = -i\omega$$

$$D = \{ s^2 (\bar{\alpha}^2 + \bar{\beta}^2) b^2 \} \left\{ s^2 + a^2 (\bar{\alpha}^2 + \bar{\beta}^2) + \frac{\gamma}{\rho} \tau_0 s (\bar{\alpha}^2 + \bar{\beta}^2) \frac{1}{\rho} \right\} \quad (3.3)$$

Простые формулы получаются лишь для однородной по  $\omega$  задачи, то есть для больших или малых значений  $\omega \tau_0$ . При  $\tau_0 \omega \gg 1$  получится

$$\frac{D}{-\omega^2 + (\bar{\alpha}^2 + \bar{\beta}^2) b^2} = -\omega^2 + (\bar{\alpha}^2 + \bar{\beta}^2) a^2 + \frac{\tau_0 \gamma}{\rho} \tau_0 \frac{\omega^2 (\bar{\alpha}^2 + \bar{\beta}^2)}{\tau_0 \omega^2 - (\bar{\alpha}^2 + \bar{\beta}^2)} \quad (3.4)$$

В переменных  $\alpha = \frac{\bar{\alpha}}{\omega}$ ,  $\beta = \frac{\bar{\beta}}{\omega}$  дисперсионное уравнение  $D = 0$  имеет решения  $\beta_{1,2,3}$ .

$$2a^2(\alpha^2 + \beta_{1,2}^2) = \frac{\tau_0}{x} a^2 + 1 + \frac{\tau_0 \gamma \eta}{\rho} + \sqrt{\left(\frac{\tau_0}{x} a^2 + 1 + \frac{\tau_0 \gamma \eta}{\rho}\right)^2 - 4a^2 \frac{\tau_0}{x}}$$

$$\alpha^2 + \beta_3^2 = \frac{1}{b^2} \tag{3.5}$$

Вычисляя, как и в § 1, вычет и интегралах (1.2) относительно полюсов  $\beta_{1,2,3}$ , переходя к контуру  $\Gamma$  (фиг. 1), после обратного преобразования Лапласа по  $t$  можно получить, как и выше, значения перемещений

$$u = -\operatorname{Re} \frac{i}{2\pi\rho} \sum_{n=1}^3 \frac{X_0(-1 + b^2\alpha_n^2 + a^2\beta_n^2 + \beta_n^2\Lambda_n) - Y_0\alpha_n\beta_n(a^2 - b^2 + \Lambda_n)}{(\beta_n x - \alpha_n y) \left(a^2 + \frac{\rho}{\gamma\eta x} \Lambda_n^2\right) \left|-1 + (\alpha_n^2 + \beta_n^2) b^2\right|}$$

$$- \operatorname{Re} \frac{i}{2\pi\rho} \frac{X_0(-1 + b^2\alpha_3^2 + a^2\beta_3^2 + \beta_3^2\Lambda_3) - Y_0\alpha_3\beta_3(a^2 - b^2 + \Lambda_3)}{(\beta_3 x - \alpha_3 y) b^2 \left(-1 + \frac{a^2}{b^2} + \frac{1}{b^2} \Lambda_3\right)}$$

$$v = -\operatorname{Re} \frac{i}{2\pi\rho} \sum_{n=1}^2 \frac{Y_0(-1 + b^2\beta_n^2 + a^2\alpha_n^2 + \alpha_n^2\Lambda_n) - X_0\alpha_n\beta_n(a^2 - b^2 + \Lambda_n)}{(\beta_n x - \alpha_n y) \left(a^2 + \frac{\rho}{\gamma\eta x} \Lambda_n^2\right) \left|-1 + (\alpha_n^2 + \beta_n^2) b^2\right|}$$

$$- \operatorname{Re} \frac{i}{2\pi\rho} \frac{Y_0(-1 + b^2\beta_3^2 + a^2\alpha_3^2 + \alpha_3^2\Lambda_3) - X_0\alpha_3\beta_3(a^2 - b^2 + \Lambda_3)}{(\beta_3 x - \alpha_3 y) (-b^2 + a^2 + \Lambda_3)}$$

$$\tag{3.6}$$

где  $\Lambda_n = \gamma\eta \frac{\tau_0}{\rho} \left\{ \frac{\tau_0}{x} - (\alpha_n^2 + \beta_n^2) \right\}^{-1}$ . Решение (3.6) можно было бы упростить и далее, используя (3.5).

Для  $\omega\tau_0 \ll 1$  из (3.4) получится

$$\frac{D}{-\omega^2 + (\alpha^2 + \beta^2) b^2} = -\omega^2 + a^2(\bar{\alpha}^2 + \bar{\beta}^2) + \frac{\gamma\eta x}{\rho} (\bar{\alpha}^2 + \bar{\beta}^2) \tag{3.7}$$

В (3.2) можно произвести упрощение, причем

$$\frac{\gamma}{\rho} \eta s \left( \frac{\bar{\alpha}^2 + \bar{\beta}^2}{1 + \tau_0 s} + \frac{s}{x} \right)^{-1} \approx \frac{\gamma}{\rho} \eta x \tag{3.8}$$

Тогда из (3.2), (3.3) следует, что решение для термоупругой среды в диапазоне низких частот приводится к решению для упругой среды § 1.

в котором следует заменить  $a^2$  на  $a^2 + \frac{\gamma\eta x}{\rho}$ .

Таким образом, найдены фундаментальные решения для однородной термоупругой среды в форме В. И. Смирнова—С. Л. Соболева для  $\omega\tau_0 \gg 1$  и  $\omega\tau_0 \ll 1$ , то есть вблизи быстрой и медленной тепловых волн и вблизи быстрой и медленной термоупругих волн.

4. Рассмотрим задачу определения решения уравнений анизотропной упругой среды в плоской задаче

$$\begin{aligned} \frac{\partial^2 u}{\partial t^2} &= a \frac{\partial^2 u}{\partial x^2} + d \frac{\partial^2 u}{\partial y^2} + c \frac{\partial^2 v}{\partial x \partial y} + \frac{X_0}{\rho} \delta(x) \delta(y) \delta(t) \\ \frac{\partial^2 v}{\partial t^2} &= c \frac{\partial^2 u}{\partial x \partial y} + d \frac{\partial^2 v}{\partial x^2} + a \frac{\partial^2 v}{\partial y^2} + \frac{Y_0}{\rho} \delta(x) \delta(y) \delta(t) \end{aligned} \quad (4.1)$$

где  $u, v$  удовлетворяют нулевым начальным условиям. Решение находится тем же путем, что и в предыдущих параграфах работы.

Дисперсионное уравнение для (4.1) имеет решение

$$\beta_{\pm, \tau}(z) = \sqrt{\frac{(a+d) - Lz^2}{2da}} = \sqrt{\Delta} \quad (4.2)$$

где

$$L = a^2 + d^2 - c^2, \quad \Delta = \left| \frac{(a+d) - Lz^2}{2da} \right|^2 - \left( \frac{1}{a} - z^2 \right) \left( \frac{1}{d} - az^2 \right)$$

Здесь на коэффициенты  $a, d, c$  накладывается условие  $c < a - d$ , в силу которого точки разветвления  $z_1, \bar{z}_1, z_2, \bar{z}_2$  для  $\beta(z)$ , определяемые из уравнения  $\Delta = 0$ , — комплексные попарно сопряженные величины. Соединяя  $z_1, z_2$  и  $\bar{z}_1, \bar{z}_2$  попарно разрезами, можно выбрать ветви функций (4.2) на берегах разрезов определенным образом, причем при переходе с одного берега разреза на другой  $\beta_1$  меняется на  $\beta_2$ , и наоборот. Учитывая это обстоятельство, можно показать, что интегралы, дающие значения  $\bar{u}, \bar{v}$ , взятые по обоим берегам разрезов, сокращаются и, как и прежде, можно заменять интегрирование по  $z$  от  $-\infty$  до  $\infty$  интегрированием по контурам  $\Gamma, \Gamma_1$  (фиг. 1).

Окончательное решение примет вид

$$\begin{aligned} u &= \frac{1}{2\pi i} \operatorname{Re} i \sum_1^2 (-1)^{k-1} \frac{X_0 (a\beta_k^2 + dz_k^2 - 1) - Y_0 c \alpha_k \beta_k}{\beta_k \sqrt{\Delta(z_k)} (x + \beta_k y) 2da} \\ v &= \frac{1}{2\pi i} \operatorname{Re} i \sum_1^2 (-1)^{k-1} \frac{Y_0 (d\beta_k^2 + az_k^2 - 1) - X_0 c \alpha_k \beta_k}{\beta_k \sqrt{\Delta(z_k)} (x + \beta_k y) 2d\tau} \end{aligned} \quad (4.3)$$

где  $\beta_k = \beta(z_k)$ , причем  $z_k$  определяются соотношениями (2.7), (4.2). Другим, менее прямым путем, фундаментальные решения для анизотропной упругой плоскости получены в [5], причем сравнение с (4.3) показало лишь на совпадение членов с наибольшими степенями переменных  $\beta_k, \beta_k$ . Указанные методы можно, очевидно, применить к пространственной задаче, а также к более общим задачам о приложенных импульсах.

Автор благодарит участников семинара по магнитоупругости Института механики АН Арм. ССР за ценные обсуждения работы.

Институт механики  
АН Армянской ССР

Поступила 30 III 1973

Ա. Գ. ԲԱԳԴՈՎ

ՉԵՐՄԱՄԱՐԿԵՍԱԱՌԱԶԳՐԱԿԱՆՈՒԹՅԱՆ ՀԱՎԱՍԱՐՈՒՄՆԵՐԻ  
ՅՈՒՆԳԱՄԵՆՏԱԼ ԼՈՒՆՈՒՄՆԵՐԻ ՈՐՈՇՈՒՄԸ

Ա մ փ ո թ ս լ մ

Աշխատանքում դիտարկվում է կենտրոնացված ազդեցութիւնների առկայութեան դեպքում շերմամաղնիսառաձգական համասեռ միջավայրի հալաւարումների լուծման էֆեկտիվ կառուցման բավական ընդհանուր եղանակ: Լուծումը որոշվում է Ֆուրյէի մեթոդով և այնուհետև բերվում է Սմիրնով-Սորոլէի անալիտիկ ֆունկցիաներով արտահայտված տեսքի:

DETERMINATION OF FUNDAMENTAL SOLUTIONS  
FOR EQUATIONS OF MAGNETOTHERMOELASTICITY

A. G. BAGDOEV

S u m m a r y

A rather general method to determine solutions for equations of a homogeneous medium motion in the presence of point impulses is considered. The solutions are found by the method of integral transforms and then reduced to the Smirnov-Sobolev solution.

Л И Т Е Р А Т У Р А

1. Франк Ф и Милес Р. Дифференциальные и интегральные уравнения математической физики. ОНТИ. Л—М., 1937, 468—617.
2. Бабич В. М. и др. Линейные уравнения математической физики. «Наука», М., 1964.
3. Осипов И. О. О волновых полях и остроугольных краях на волновых фронтах. ПММ, т. 36, № 5, 1972.
4. Нугул У. К. и Энгельбрехт Ю. К. Нелинейные и линейные переходные волновые процессы. Изд. АН Эстонской ССР, Таллин, 1972.
5. Свекло В. А. Смешанная задача для упругой анизотропной полуплоскости. ПММ, т. 26, № 6, 1962.

Д. В. ГРИЛИЦКИП, В. К. ОПАНАСОВИЧ

РАСПРЕДЕЛЕНИЕ НАПРЯЖЕНИЙ В КУСОЧНО-ОДНОРОДНОЙ  
 ПЛОСКОСТИ СО ЩЕЛЬЮ ПРИ СЖАТИИ

Задача о сжатии однородной изотропной плоскости с прямолинейной щелью с учетом ее ширины и соприкасания берегов при заданном однородном напряженном состоянии на бесконечности была впервые поставлена и изучена В. П. Моссаковским и П. А. Загубиженко [1, 2].

Случай произвольного напряженного состояния на бесконечности при постоянной ширине щели рассматривался в публикациях [3, 4].

В настоящей работе решена задача о распределении упругих напряжений в кусочно-однородной изотропной пластинке со щелью переменной ширины на прямой линии раздела материалов при условии, что берега щели после деформирования пластинки заданным внешним напряженным состоянием приходят в гладкий контакт. Определены все основные характеристики задачи, необходимые для определения напряженно-деформированного состояния в кусочно-однородной плоскости.

1. Рассмотрим плоскость, состоящую из двух спаянных между собой изотропных полуплоскостей. Предположим, что линия раздела материалов ослаблена прямолинейной щелью переменной ширины  $h$ , соизмеримой с упругими смещениями. Поместим начало декартовой системы координат  $xOy$  в центре щели, длиной  $2a$ , с осью  $Ox$ , направленной вдоль щели. Все характеристики, относящиеся к верхней полуплоскости ( $y > 0$ ) будем снабжать индексом «1», к нижней — индексом «2».

Пусть на бесконечности плоскость сжимается равномерно распределенными напряжениями интенсивности  $q$ , перпендикулярными линии расположения щели, и растягивается равномерно распределенными напряжениями  $p_1$ , параллельными линии щели. Кроме того, в точках  $a_{j1}, a_{j2}, \dots, a_{jn_j}$  действуют сосредоточенные силы  $P_{j1}, P_{j2}, \dots, P_{jn_j}$ , а в точках  $b_{j1}, b_{j2}, \dots, b_{jm_j}$  — сосредоточенные моменты  $M_{j1}, M_{j2}, \dots, M_{jm_j}$  ( $j = 1, 2$ ).

Предположим, что деформированный контур щели состоит из трех участков: двух свободных по краям и одного среднего участка контакта. Силы трения между берегами щели не учитываются (фиг. 1).

Требуется определить напряженное состояние кусочно-однородной плоскости,  $u$ -частности, компоненты тензора напряжений вдоль линии раздела материалов и длину участка контакта.

Обозначим линию спая через  $L'$ , свободные края щели через  $L$ , а длину участка контакта ( $a_1, a_2$ ) через  $L$ .

Имеем следующие условия на линии раздела материалов

$$(Y_x - iX_y)^+ = (Y_x - iX_y)^-, \quad \left(\frac{\partial u}{\partial x} + i\frac{\partial v}{\partial x}\right)^+ = \left(\frac{\partial u}{\partial x} + i\frac{\partial v}{\partial x}\right)^- \quad (1.1)$$

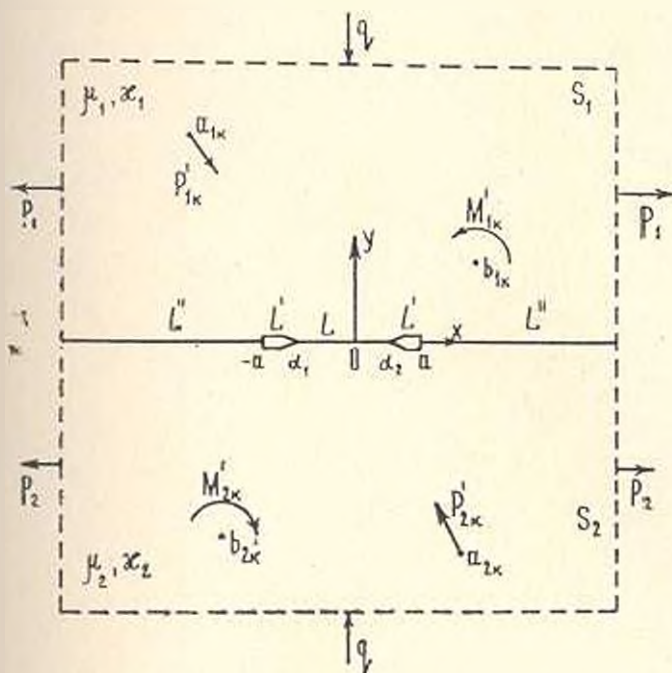
на  $L''$

$$Y_y^+ = Y_y^- = X_x^+ = X_x^- = 0 \quad \text{на } L' \quad (1.2)$$

$$Y_y^+ = Y_y^-, \quad X_x^+ = X_x^- = 0$$

$$\left(\frac{\partial v}{\partial x}\right)^- - \left(\frac{\partial v}{\partial x}\right)^+ = -f_1(x) + f_2(x) = f'(x) \quad \text{на } l. \quad (1.3)$$

Индексам плюс и минус обозначены граничные значения функций на действительной оси сверху, то есть из  $S_1$ , и снизу, то есть из  $S_2$ , соответственно.  $f_1(x)$  и  $f_2(x)$  — уравнения верхнего и соответственно нижнего берега щели в недеформированном состоянии.



Фиг. 1.

Введем функции напряжений  $\Phi_j(z)$  и  $\Psi_j(z)$  для полуплоскостей  $S_j$  ( $j = 1, 2$ ). Распространим определение функции  $\Phi_1(z)$  на область  $S_2$ , а функции  $\Phi_2(z)$  на область  $S_1$  известным образом [5]

$$\Phi_1(z) = -\bar{\Phi}_1(z) - z\bar{\Phi}_1(z) - \bar{\Psi}_1(z) \quad (1.4)$$

получим формулы для определения напряженно-деформированного состояния каждой полуплоскости через одну функцию  $\Phi_j(z)$  ( $j = 1, 2$ )

$$\begin{aligned} X_x + Y_y &= 2[\Phi_1(z) + \overline{\Phi_1(\bar{z})}] \\ Y_y - iX_x &= \Phi_1(z) - \Phi_1(\bar{z}) - (z - \bar{z}) \overline{\Phi_1'(z)} \end{aligned} \quad (1.5)$$

$$2p_j \frac{\partial}{\partial x} (u + iv) = x_j \Phi_1(z) - \Phi_1(\bar{z}) - (z - \bar{z}) \overline{\Phi_1'(z)} \quad (j = 1, 2)$$

По условию задачи напряженное состояние на бесконечности задано в виде

$$\begin{aligned} Y_y^{(-)} &= -q, \quad X_x^{(-)} = 0 \quad \text{для } S_1 \text{ и } S_2 \\ X_x^{(+)} &= \begin{cases} p_1 & \text{для } S_1 \\ p_2 & \text{для } S_2 \end{cases} \end{aligned} \quad (1.6)$$

Функции напряжений  $\Phi_1(z)$  и  $\Psi_1(z)$  в окрестности точек  $a_{j1}, a_{j2}, \dots, a_{jn_1}, b_{j1}, b_{j2}, \dots, b_{jn_1}$  имеют вид

$$\Phi_1(z) = - \sum_{k=1}^{n_1} \frac{p_{jk}}{z - a_{jk}} + \Phi_{01}(z) \quad (1.7)$$

$$\Psi_1(z) = \sum_{k=1}^{n_1} \left[ \frac{x_j \bar{p}_{jk}}{z - a_{jk}} - \frac{\bar{a}_{jk} p_{jk}}{(z - a_{jk})^2} \right] - i \sum_{k=1}^{m_1} \frac{M_{jk}}{(z - b_{jk})^2} + \Psi_{10}(z)$$

где  $\Phi_{01}(z)$  и  $\Psi_{10}(z)$  — голоморфные функции в окрестности этих точек, а

$$p_{jk} = \frac{X_{jk} + iY_{jk}}{2\pi(1 + x_j)}, \quad M_{jk} = \frac{M'_{jk}}{2\pi} \quad (1.8)$$

Здесь  $X_{jk}$  и  $Y_{jk}$  — компоненты вектора сосредоточенной силы  $P_{jk}$ .

Исходя из соотношений (1.5) и удовлетворяя условиям (1.1), учитывая при этом (1.6), (1.7) и (1.4), будем иметь

$$\Phi_1(z) = \begin{cases} A_1^{-1} [B_{02} \psi(z) + \Phi_0(z)] & \text{в } S_1 \\ A_2^{-1} [A_{02} \psi(z) - \Phi_0(z)] & \text{в } S_2 \end{cases} \quad (1.9)$$

$$\Phi_2(z) = \begin{cases} A_1^{-1} [A_{01} \psi(z) - \Phi_0(z)] & \text{в } S_1 \\ A_2^{-1} [B_{01} \psi(z) + \Phi_0(z)] & \text{в } S_2 \end{cases}$$

В предыдущих формулах введены обозначения

$$\Phi_0(z) = \begin{cases} A_{01} \Phi_1(z) - B_{02} \Phi_2(z) & \text{в } S_1 \\ A_{02} \Phi_2(z) - B_{01} \Phi_1(z) & \text{в } S_2 \end{cases} \quad (1.10)$$

$$\psi(z) = B + \psi_1(z) \quad (1.11)$$

$$\psi_1(z) = \sum_{j=1}^2 \left\{ \sum_{k=1}^{n_j} \left[ \frac{p_{jk}}{z - a_{jk}} - \frac{x_j p_{jk}}{z - \bar{a}_{jk}} - \frac{(a_{jk} \times \bar{a}_{jk}) \bar{p}_{jk}}{(z - \bar{a}_{jk})^2} \right] - i \sum_{k=1}^{m_j} \frac{M_{jk}}{(z - b_{jk})^2} \right\} \quad (1.12)$$

$$B = \frac{1}{4} (p_1 + p_2 + 2q) \quad (1.13)$$

$$A_{0j} = C_j g^{2-j}, \quad B_{0j} = -C_j g^{j-1}, \quad C_j = \frac{(-1)^j \lambda_j (1 + x_j)}{1 - g} \quad (1.14)$$

$$i_j = \tau_{2-j}, \quad A_j = v_j + i_j x_j, \quad g = -A_1 A_2^{-1}$$

Кроме того, между напряжениями на бесконечности пластинки и ее упругими константами выполняется соотношение

$$v_2 (1 + x_2) p_2 - v_1 (1 + x_1) p_1 = [3(v_2 - v_1) + v_1 x_2 - v_2 x_1] q \quad (1.15)$$

являющееся условием разрешимости задачи.

Функцию  $\Phi_0(z)$  можно представить в виде

$$\Phi_0(z) = K_1 + F(z) + \Phi(z) \quad (1.16)$$

где  $\Phi(z)$  — кусочно-голоморфная функция, стремящаяся к нулю при  $z \rightarrow \infty$ , а

$$F(z) = \sum_{j=1}^2 \left\{ \sum_{k=1}^{n_j} \left[ \frac{Q_{jk}}{z - a_{jk}} + \frac{L_{jk}}{z - \bar{a}_{jk}} - \frac{F_{jk}}{(z - \bar{a}_{jk})^2} \right] + \sum_{p=1}^{m_j} \frac{\Pi_{jp}}{(z - b_{jp})^2} \right\} \quad (1.17)$$

$$K_1 = \begin{cases} \frac{1}{4} [A_{01} p_1 - B_{02} p_2 - (3B_{02} + A_{01}) q] & \text{в } S_1 \\ \frac{1}{4} [A_{02} p_2 - B_{01} p_1 - (3B_{01} + A_{02}) q] & \text{в } S_2 \end{cases} \quad (1.18)$$

В формулах (1.17) введены обозначения

$$Q_{jk} = -A_{0j} P_{jk}, \quad L_{jk} = x_j B_{0j} P_{jk}, \quad F_{jk} = -B_{0j} (a_{jk} - \bar{a}_{jk}) \bar{P}_{jk} \quad (k = 1, 2, \dots, n_j) \quad (1.19)$$

$$\Pi_{jp} = i B_{0j} M_{jp} \quad (p = 1, 2, \dots, m_j; \quad j = 1, 2)$$

Удовлетворив условиям (1.2) и (1.3), получим граничную задачу сопряжения для определения функции  $\Phi_0(z)$

$$\begin{aligned} \Phi_0^+(x) - g \Phi_0^-(x) &= 0 & (x \in L) \\ \Phi_0^+(x) - \overline{\Phi_0^-(x)} &= i g \omega(x) & (x \in L) \\ \Phi_0^-(x) - \overline{\Phi_0^+(x)} &= i \omega(x) & (x \in L) \end{aligned} \quad (1.20)$$

где

$$\omega(x) = -4v_1 v_2 (1 - g)^{-1} f(x) \quad (1.21)$$

Частное решение однородной задачи сопряжения (1.20) есть функция

$$R(z) = \frac{\psi(z)}{\sqrt{z^2 - a^2}} P^{(z)} \quad (1.22)$$

где

$$P(z) = \psi(z) \ln |g| \frac{1}{2\pi i} \int_L \frac{dt}{\psi^*(t)(t-z)}, \quad \psi(z) = \sqrt{(z-a_1)(z-a_2)}$$

которая будет ограниченной в точках  $a_1$  и  $a_2$ .

Как видно из (1.16), функция  $\Phi_0(z)$  ограничена на бесконечности и имеет полюсы в некоторых точках, и, кроме того, из физических соображений она должна быть ограниченной в точках  $a_1$ ,  $a_2$ . Учитывая это, решение задачи (1.20) будем искать в виде

$$\Phi_0(z) = [\varphi_1(z) - \varphi_0(z)] R(z) \quad (1.23)$$

где  $\varphi_1(z)$  — рациональная функция, имеющая полюсы в точках  $a_{1j}$ ,  $a_{2j}$ , ...,  $a_{jn_j}$ ,  $b_{1j}$ ,  $b_{2j}$ , ...,  $b_{jn_j}$ , причем разложение функции  $\varphi_0(z) R(z)$  в окрестности этих точек имеет вид (1.17), а  $\varphi_1(z)$  — кусочно-голоморфная функция, удовлетворяющая следующим условиям:

$$|\varphi_1(x) - \bar{\varphi}_1(x)|^+ + |\varphi_1(x) - \bar{\varphi}_1(x)|^- = w_1(x) + 2w_2(x) \quad (x \in L) \quad (1.24)$$

$$|\varphi_1(x) + \bar{\varphi}_1(x)|^+ - |\varphi_1(x) + \bar{\varphi}_1(x)|^- = w_2(x) \quad (x \in L)$$

где

$$w_2(x) = \bar{\varphi}_0(x) - \varphi_0(x), \quad w_j(x) = \frac{i(x) [gR^-(x) + (-1)^{j+1} R^+(x)]}{R^+(x) R^-(x)} \quad (j=1, 2)$$

Решая задачи (1.24) и принимая во внимание соотношение (1.23), получим значение для функции  $\Phi_0(z)$

$$2\Phi_0(z) = R(z) \left\{ \frac{1}{2\pi i} \int_L \frac{w_2(t) dt}{t-z} + \frac{1}{\psi(z)} \frac{1}{2\pi i} \int_L \frac{\psi^-(t) w_1(t) dt}{t-z} + \right. \\ \left. + \varphi_2(z) - 2C_0 + \frac{1}{\psi(z)} [2i(D_0 + D_1 z) - \varphi_2(z) - \bar{\varphi}_2(z)] \right\} \quad (1.25)$$

где

$$R(z) = \frac{\psi(z)}{\sqrt{z^2 - a^2}} [A(z)]^{i\theta} \quad (1.26)$$

$$\frac{A(z)}{B(z)} = \frac{v(z) + c}{v(z) - c} \frac{1 - dv(z)}{1 + dv(z)}, \quad v(z) = \sqrt{\frac{z-a_2}{z-a_1}}$$

$$c = \sqrt{\frac{a-a_2}{a-a_1}}, \quad d = \sqrt{\frac{a+a_2}{a+a_1}}, \quad \theta = \frac{\ln |g|}{2\pi}$$

$$\begin{aligned} \varphi_2(z) &= \sum_{\varepsilon=1}^2 \sum_{j=1}^2 \left\{ \sum_{k=1}^{n_j} \left[ \frac{E_{jkc}}{(z - a_{jk})^\varepsilon} + \frac{\bar{E}_{jkc}}{(z - \bar{a}_{jk})^\varepsilon} \right] + \right. \\ &\quad \left. + \sum_{k=1}^{m_j} \left[ \frac{H_{jkc}}{(z - \bar{b}_{jk})^\varepsilon} + \frac{\bar{H}_{jkc}}{(z - b_{jk})^\varepsilon} \right] \right\} \\ \varphi_4(z) &= \sum_{\varepsilon=1}^2 \sum_{j=1}^2 \sum_{k=1}^{n_j} \left[ \frac{\bar{A}_{jkc}}{(z - a_{jk})^\varepsilon} - \frac{A_{jkc}}{(z - \bar{a}_{jk})^\varepsilon} \right] + \\ &\quad + \sum_{k=1}^{m_j} \left[ \frac{B_{jkc}}{(z - \bar{b}_{jk})^\varepsilon} - \frac{\bar{B}_{jkc}}{(z - b_{jk})^\varepsilon} \right] \\ \varphi_3(z) &= -2i \operatorname{Im} \left\{ \sum_{j=1}^2 \left[ \sum_{k=1}^{n_j} (\Gamma_{jk2} + \Gamma_{jk1}) + \sum_{k=1}^{m_j} H_{jk1} \right] \right\} \end{aligned} \quad (1.27)$$

$$\Gamma_{jk1} = Q_{jk} F_1(\bar{a}_{jk}), \quad \Gamma_{jk2} = L_{jk} F_1(a_{jk}) - F_{jk} F_2(a_{jk})$$

$$\Gamma_{jk1} = \Gamma_{jk2} + \bar{\Gamma}_{jk1}, \quad E_{jkl} = F_{j2} F_1(a_{jk})$$

$$A_{jk1} = (\Gamma_{jk2} - \bar{\Gamma}_{jk1}) \psi(\bar{a}_{jk}) + E_{jkl} \psi'(a_{jk})$$

$$A_{jk2} = E_{jkl} \psi(\bar{a}_{jk}) \quad (k = 1, 2, \dots, n_j) \quad (1.28)$$

$$H_{jkl} = -\Pi_{jk} F_2(b_{jk}), \quad H_{jk2} = \Pi_{jk} F_1(b_{jk})$$

$$B_{jkl} = -H_{jkl} \psi(\bar{b}_{jk}) - H_{jk2} \psi'(b_{jk}), \quad B_{j\alpha 2} = -H_{j\alpha 2} \psi(\bar{b}_{jk}) \\ (k = 1, 2, \dots, m_j; j = 1, 2)$$

$$F_1(z) = |R(\bar{z})|^{-1}, \quad F_2(z) = \frac{R'(\bar{z})}{|R(\bar{z})|^2} \quad (1.29)$$

Неизвестные коэффициенты  $C_0, D_2, D_1$ , входящие в выражение функции  $\Phi_0(z)$ , найдем из однозначности смещений и условия на бесконечности (1.16) с учетом (1.15). Опуская выкладки, запишем окончательный результат

$$C_0 = B_2 \cos \nu, \quad D_1 = -B_1 \sin \nu \quad (1.30)$$

$$D_0 = H_1 \sin \nu - (H_2 + \beta k_2 B_2) \cos \nu - E_2$$

$$(H_1 - B_2 k_2) \cos \nu + (H_2 + B_2 \beta k_2) \sin \nu + B_1 + E_1 = 0 \quad (1.31)$$

Здесь

$$\begin{aligned}
 B_1 &= -\frac{1}{4\pi i} \int_L w_2(t) dt, & B_2 &= -\frac{A_2}{1-g} q \\
 k_1 &= \left( \frac{\sqrt{a-z_1} + \sqrt{a-z_2}}{\sqrt{a+z_1} + \sqrt{a+z_2}} \right)^2 \\
 k_2 &= \sqrt{(a+z_1)(a+z_2)} + \sqrt{(a-z_1)(a-z_2)} \\
 k_3 &= \frac{z_1+z_2}{2}, & \nu &= \beta \ln k_1 \\
 E_1 + iE_2 &= \sum_{j=1}^2 \left[ \sum_{k=1}^{n_j} (\Gamma_{jk1} + \Gamma_{jk2}) + \sum_{k=1}^{m_j} H_{jk1} \right] \\
 H_1 + iH_2 &= \frac{A}{2\pi(1-g)} \sum_{j=1}^2 \sum_{k=1}^{n_j} (X_{jk} + iY_{jk}) \\
 A &= \rho_1 \rho_2 (1 - z_1 z_2) A_2^{-1}
 \end{aligned} \tag{1.32}$$

Соотношение (1.31) совместно с условием

$$\int_L \operatorname{Im} [\Phi_0(t)] dt = \frac{2\rho_1 \rho_2 g f(z_1)}{g-1} \tag{1.33}$$

служат для определения длины участка контакта между берегами щеля.

Имея выражение для функции  $\Phi_0(z)$  и зная длину участка контакта, задачу можно считать в принципе решенной.

Компоненты тензора напряжений вдоль действительной оси определяются следующими формулами:

$$\begin{aligned}
 Y_y^+ &= Y_y^- = A_1^{-1} \operatorname{Re} [\Phi_0^+(x) - g\Phi_0^-(x)] \\
 X_y^+ &= X_y^- = -A_1^{-1} \operatorname{Im} [\Phi_0^+(x) - g\Phi_0^-(x)] \\
 X_x^+ &= A_1^{-1} \operatorname{Re} [3\Phi_0^+(x) + g\Phi_0^-(x) + 4B_{02}\theta_1(x)] + \rho_1 + \frac{3+g}{1-g} q \\
 X_x^- &= -A_1^{-1} \operatorname{Re} [\Phi_0^+(x) - 3g\Phi_0^-(x) + 4gB_{01}\theta_1(x)] - \rho_2 - \frac{1+3g}{1-g} q
 \end{aligned} \tag{1.34}$$

При этом существует следующая зависимость:

$$X_x^+ + X_x^- - 2Y_y^+ = \rho_1 + \rho_2 + 2q + 4\theta_2(x), \quad (-\infty < x < +\infty) \tag{1.35}$$

где

$$\theta_2(x) = \operatorname{Re} [\theta_1(x)]$$

Соотношение (1.35) сохраняет силу независимо от ширины щели и длины участка контакта.

2. Рассмотрим важный случай рассмотренной задачи. Предположим, что пластинка, ослабленная трещиной постоянной ширины, находится под действием сосредоточенной силы  $-Y_1$  с точкой приложения  $ib_1^*$  в верхней полуплоскости и сосредоточенной силы  $Y_2$  с точкой приложения  $-ib_2^*$  в нижней полуплоскости.

Согласно условию задачи имеем

$$d_{j1} = i(-1)^{j+1} b_j, \quad P_{j1} = \frac{i(-1)^j Y_j}{2\pi(1 + \alpha_j)}, \quad f'(x) = 0 \quad (j = 1, 2) \quad (2.1)$$

Из физических соображений следует, что в данном случае длина участка контакта будет симметричной относительно оси ординат, то есть

$$x_1 = -a, \quad x_2 = a \quad (2.2)$$

Условие (1.31) при этом автоматически выполняется.

Если учесть (2.1) и (2.2), то формула (1.25) примет вид

$$\Phi_c(z) = \left| \varphi_6(z) - \frac{i\varphi_3(z)}{\sqrt{z^2 - a^2}} \right| R(z) \quad (2.3)$$

$$R(z) = \sqrt{\frac{z^2 - a^2}{z^2 - a^2} \left( \frac{1}{\sqrt{z^2 - a^2} + ak_0} \right)^{1/2}} \quad (2.4)$$

$$\varphi_6(z) = \sum_{j=1}^2 \left[ \frac{i(-1)^j b_j E_{j11}}{z^2 + b_j^2} + \frac{E_{j12} (z^2 - b_j^2)}{(z^2 + b_j^2)^2} \right] \quad (2.5)$$

$$\varphi_3(z) = i \sum_{j=1}^2 \left[ \frac{i(-1)^j b_j A_{j11}}{z^2 + b_j^2} + \frac{A_{j12} (z^2 - b_j^2)}{(z^2 + b_j^2)^2} \right] + H_2$$

$$H_2 = \frac{A(Y_2 - Y_1)}{2\pi(1 - g)}, \quad k_0 = \sqrt{1 - \lambda^2}, \quad \lambda = \frac{a}{a}$$

$$E_{j11} = iT_j (\Pi_j^{j-3} g^{2-j} - \Pi_j^{3-2j} g^{j-1} [x_j - (-1)^j W_j b_j]) \quad (2.6)$$

$$E_{j12} = 2(-1)^{j+1} T_j b_j g^{j-1} \Pi_j^{3-2j}$$

$$A_{j11} = (-1)^{j+1} T_j \left\{ g^{j-1} \Pi_j^{3-2j} \left[ d_j ((-1)^j W_j b_j - z_j) + \frac{2b_j^2}{d_j} \right] - d_j g^{2-j} \Pi_j^{j-3} \right\}$$

$$A_{j12} = -2iT_j b_j d_j g^{j-1} \Pi_j^{3-2j} \quad (j = 1, 2)$$

В соотношениях (2.6) введены обозначения

$$T_j = \frac{\lambda_j Y_j c_j}{2\pi(1-g)d_j}, \quad d_j = \sqrt{b_j^2 + z^2}, \quad c_j = \sqrt{b_j^2 + a^2}$$

$$H_j = e^{-3(2\gamma_j - \tau)}, \quad \varphi_j = \operatorname{arctg} \frac{d_j}{ak_0} \quad (2.7)$$

$$W_j = \frac{2b_j ak_0 [2\beta d_j + (-1)^{j+1} ak_0]}{d_j^2 c_j^2} \quad (j = 1, 2)$$

Неизвестный параметр  $\alpha$  определим из формулы (1.33), которая для нашего случая принимает вид

$$\frac{2\alpha_1 \alpha_2 h e^{\alpha^2}}{(g-1)\alpha} = k_0 \int_0^{\infty} \frac{\operatorname{th} u [\varphi_1(u) \sin(2\beta u) + ak_0 \varphi_2(u) \operatorname{th} u \cos(2\beta u)] du}{1 - \alpha^2 \operatorname{sh}^2 u + z^2} \quad (2.8)$$

Выражение для функций  $\varphi_3(u)$  и  $\varphi_4(u)$ , вошедшие в (2.8), получим из (2.5) с помощью замены

$$z = a^2 k^2 \operatorname{th}^2 u + z^2$$

Имея функцию  $\Phi_0(z)$ , можно определить компоненты напряженного состояния на участке спая и вдоль щели по формулам

$$|x| > a$$

$$Y_y^+ = Y_y^- = A_1 [\varphi_6(x) t_1(x) \cos[\beta \gamma_2(x)] - \varphi_7(x) t_2(x) \sin[\beta \gamma_2(x)]]$$

$$X_y^+ = X_y^- = A_2 \operatorname{sign} x [\varphi_5(x) t_1(x) \cos[\beta \gamma_2(x)] + \varphi_8(x) t_2(x) \sin[\beta \gamma_2(x)]]$$

$$X_x^+ = \frac{3+g}{1-g} Y_y^+ + A_4 \theta_2(x), \quad X_x^- = \frac{1+3g}{1-g} Y_y^- - A_4 \theta_2(x)$$

$$a < |x| < a$$

$$Y_y^+ = Y_y^- = X_y^+ = X_y^- = 0$$

$$X_x^+ = 4A_3 [\varphi_4(x) t_3(x) \sin[\beta \gamma_1(x)] - \varphi_5(x) t_4(x) \cos[\beta \gamma_1(x)]] + A_4 \theta_2(x)$$

$$X_x^- = -X_x^+ + 4\theta_2(x)$$

$$|x| < a$$

$$Y_y^- = Y_y^+ = 2A_3 [\varphi_6(x) t_4(x) \operatorname{ch}[2\beta \gamma_1(x)] - \varphi_7(x) t_5(x) \operatorname{sh}[2\beta \gamma_1(x)]] \quad (2.9)$$

$$X_y^+ = X_y^- = 0$$

$$X_x^+ = A_3 [3 [\varphi_6(x) t_4(x) - \varphi_7(x) t_5(x)] e^{-2\beta \gamma_1(x)} - [\varphi_6(x) t_5(x) + \varphi_7(x) t_4(x)] e^{2\beta \gamma_1(x)}] + A_4 \theta_2(x)$$

$$X_x^- = 2Y_y^- - X_x^+ + 4\theta_2(x)$$

В предыдущих формулах введены обозначения

$$\begin{aligned} \gamma_1(x) &= \operatorname{arctg} \frac{\sqrt{a^2 - x^2}}{ak_0}, & \gamma_2(x) &= \ln \frac{\sqrt{x^2 - a^2} - ak_0}{\sqrt{x^2 - a^2} + ak_0} \\ \gamma_3(x) &= \ln \frac{ak_0 + \sqrt{x^2 - a^2}}{ak_0 - \sqrt{x^2 - a^2}}, & t_1(x) &= \sqrt{\frac{x^2 - a^2}{x^2 - a^2}}, & t_3(x) &= \sqrt{\frac{x^2 - a^2}{a^2 - x^2}} \\ t_5(x) &= \sqrt{\frac{x^2 - x^2}{a^2 - x^2}}, & t_6(x) &= \frac{1}{\sqrt{a^2 - x^2}}, & t_7(x) &= \frac{1}{\sqrt{x^2 - a^2}} \end{aligned} \quad (2.10)$$

$$b_2(x) = - \sum_{j=1}^2 \frac{Y_j b_j}{2\pi(1+x_j)} \left[ \frac{1-x_j}{x^2 + b_j^2} + \frac{2(x^2 - b_j^2)}{(x^2 + b_j^2)^2} \right]$$

$$A_2 = (1-g)A_1^{-1}, \quad A_4 = 4B_{02}A_1^{-1}, \quad A_5 = 4gB_{01}A_1^{-1}, \quad A_6 = e^{\pi\alpha}A_1^{-1}.$$

Положив в (2.3)–(2.8)  $\alpha=0$ , получим уравнение для определения соотношения между сжимающими силами, при котором начинается зарождаться контакт

$$\frac{2\sigma_0 \nu_0 h e^{\alpha}}{g-1} = \int_0^{\pi} \frac{[\varphi_2(u) \sin(2\beta u) + a\varphi_3(u) \operatorname{th} u \cos(2\beta u)] du}{\operatorname{ch} u} \quad (2.11)$$

и выражение для функции напряжений

$$\Phi_0(z) = [z\varphi_4(z) - i\varphi_5(z)] \frac{1}{\sqrt{z^2 - a^2}} \left( \frac{z+a}{z-a} \right)^{\alpha} \quad (2.12)$$

Рассмотрим частные случаи:

1) математическая щель, то есть  $h=0$ ,  $\alpha=a$ . В этом случае функция напряжений  $\Phi_0(z)$  определится формулой

$$\Phi_0(z) = \varphi_4(z) - \frac{i\varphi_5(z)}{\sqrt{z^2 - a^2}} \quad (2.13)$$

выражения для функций  $\varphi_6(z)$  и  $\varphi_5(z)$  остаются без изменений, только входящие в них коэффициенты имеют более простой вид

$$\begin{aligned} E_{j1} &= iT_j(g^{2j} - g^{j-1}x_j) \\ E_{j2} &= 2(-1)^{j-1}T_j b_j g^{j-1} \\ A_{j1} &= (-1)^{j+1} \left[ T_j g^{j-1} \left( \frac{2b_j^2}{d_j} - x_j d_j \right) - d_j g^{2j-1} \right] \\ A_{j2} &= -2iT_j b_j d_j g^{j-1} \\ T_j &= \frac{Y_j \nu_j}{2\pi(1-g)}, \quad d_j = \sqrt{b_j^2 + a^2} \end{aligned} \quad (2.14)$$

Формулы для компонент напряжений в этом случае примут вид

$$|x| > a$$

$$Y_y^+ = Y_y^- = A_3 \varphi_6(x), \quad X_y^+ = X_y^- = A_3 \operatorname{sign} x \varphi_3(x) t_6(x)$$

$$X_x^- = (3 + g) A_1^{-1} \varphi_6(x) + A_4 \theta_2(x), \quad X_x^+ = -(1 + 3g) A_1^{-1} \varphi_6(x) - A_5 \theta_2(x)$$

$$|x| < a$$

$$Y_y^+ = Y_y^- = A_3 \varphi_6(x) - (1 + g) A_1^{-1} \varphi_5(x) t_6(x), \quad X_y^+ = X_y^- = 0 \quad (2.15)$$

$$X_x^- = A_1^{-1} [(3 + g) \varphi_6(x) + (g - 3) \varphi_5(x) t_6(x)] + A_4 \theta_2(x)$$

$$X_x^+ = -A_1^{-1} [(1 + 3g) \varphi_6(x) + (3g - 1) \varphi_5(x) t_6(x)] - A_5 \theta_2(x)$$

2) Однородная плоскость. Предположим, что  $Y_1 = Y_2 = Y$  и  $b_1 = b_2 = b$ . В этом случае функция  $\Phi_0(z)$  определяется формулой

$$\Phi_0(z) = z_3(z) \sqrt{\frac{z^2 - a^2}{z^2 - b^2}} \quad (2.16)$$

а уравнения для определения параметра контакта и критической нагрузки примут вид

$$\frac{1}{\sqrt{\lambda_3^2 + 1}} \left[ B_5 F\left(k_0, \frac{\pi}{2}\right) + B_6 \Pi\left(n, k_0, \frac{\pi}{2}\right) + B_7 \Pi\left(m, k_0, \frac{\pi}{2}\right) \right] = -\frac{\mu h \pi}{Y \lambda_3 \sqrt{\lambda_3^2 + 1}} \quad (2.17)$$

$$\frac{1+x}{4} \ln \frac{\sqrt{\lambda_3^2 + 1} + 1}{\sqrt{\lambda_3^2 + 1} - 1} + \frac{1}{\sqrt{\lambda_3^2 + 1}} = \frac{\mu h \pi}{Y^2} \quad (2.18)$$

где

$$\begin{aligned} \varphi_6(z) &= \frac{B_3}{z^2 + b^2} + \frac{B_4(z^2 - b^2)}{(z^2 + b^2)^2} \\ B_3 &= -\frac{\mu b Y c}{2\pi d} \left( 1 + x + \frac{2b^2 a^2 k_0^2}{d^2 c^2} \right), \quad B_4 = \frac{b_1 Y c}{\pi d} \\ c &= \sqrt{b^2 + a^2}, \quad d = \sqrt{b^2 + x^2}, \quad k_3 = \frac{b}{a} \end{aligned} \quad (2.19)$$

$$B_5 = \frac{1}{2} (1 - x) - \frac{\lambda_3^2}{\lambda_3^2 + 1}, \quad B_6 = \frac{1}{2} (1 + x) \frac{\lambda^2 + \lambda_3^2}{1 + \lambda_3^2}$$

$$B_7 = -\frac{\lambda^2}{1 + \lambda_3^2}, \quad n = \frac{\lambda^2 - 1}{1 + \lambda_3^2}, \quad m = \lambda^2 - 1$$

$F$  и  $\Pi$  — символы эллиптических интегралов первого и третьего рода.

На основании (2.9), распределение напряжений вдоль действительной оси определяется по формулам

$$Y_y = Y_y^- = \begin{cases} 2A_1^{-1} \varphi_0(x) t_1(x) & |x| > a \\ 0 & a < |x| < a \\ 2A_1^{-1} \varphi_0(x) t_3(x) & |x| < a \end{cases} \quad (2.20)$$

$$X_x^+ = X_x^- = 0, \quad X_x^+ = X_x^- = Y_y^+ + 2\theta_2(x) \quad (-\infty < x < +\infty)$$

где

$$\theta_2(x) = -\frac{Yb}{\pi(1+\nu)} \left[ \frac{1-x}{x^2+b^2} + \frac{2(x^2-b^2)}{(x^2+b^2)^2} \right]$$

В случае математической щели формулы (2.20) примут вид:

$$Y_y = \frac{bY}{\pi(1+\nu)} \left[ \frac{1-x}{x^2+b^2} - \frac{4b^2}{(x^2+b^2)^2} \right], \quad X_x = 0, \quad X_x = Y_y + 2\theta_2(x) \quad (2.21)$$

Анализируя выражения для компонент напряжений на линии сая (2.9) и (2.15) видим, что в случае физической щели они имеют колебательный характер и неограниченно возрастают при подходе к концам щели, в то время как для математической щели колебательного характера напряжений не наблюдается, напряжение  $Y_y^+$  ограничено на концах щели, а  $X_x^+$  — неограниченно. Таким образом, наличие физической щели на линии раздела материалов влияет на характер распределения напряжений вдоль линии сая.

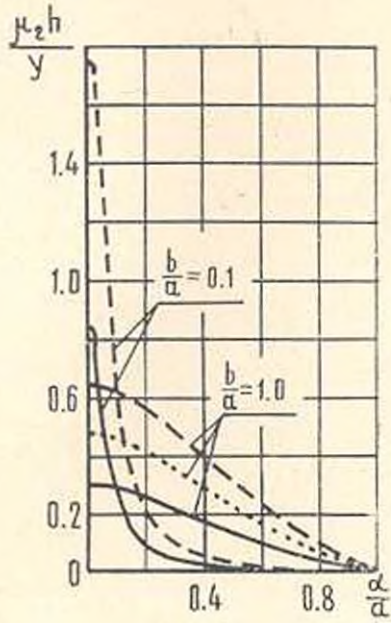
Математическая щель в однородной плоскости в условиях сжатия не оказывает влияния на распределение напряжений.

Численный анализ рассмотренной во втором параграфе задачи при условии, что  $b_1 = b_2 = b$  и  $Y_1 = Y_2 = Y$  был проведен на ЭВМ «Минск-22». Результаты вычислений приводятся на фиг. 2—4. Пунктирные линии соответствуют значениям параметров  $\mu_1 = \mu_2$  и  $\kappa_1 = \kappa_2 = 2$ ; точечные линии — значениям  $\mu_1 = 2\mu_2$ ,  $\kappa_1 = 2$ ,  $\kappa_2 = 1,9$ ; сплошные линии построены при значениях параметров:  $\kappa_1 = 3$ ,  $\kappa_2 = 2$ ,  $\frac{\mu_2}{\mu_1} = 0$ . На фиг. 2 дается зависимость

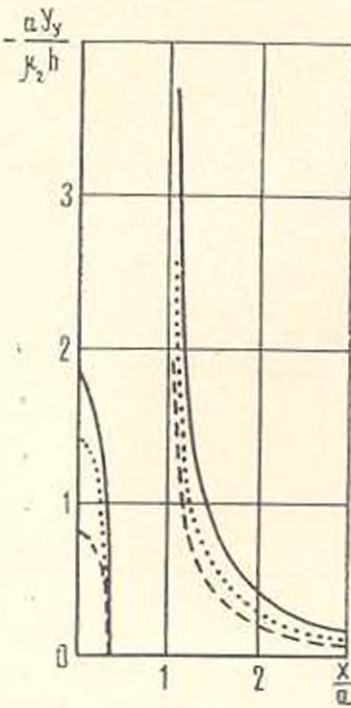
величины  $\frac{\sigma \cdot h}{Y}$  от отношения  $\frac{x}{a}$  при разных значениях  $\frac{b}{a}$ . Графики на фиг. 3—4 построены при значении отношения  $\frac{b}{a} = 1$ . Рас-

пределение контактных напряжений  $Y_y$  в зависимости от безразмерного параметра  $\frac{x}{a}$  при условии, что отношение длины площадки контакта

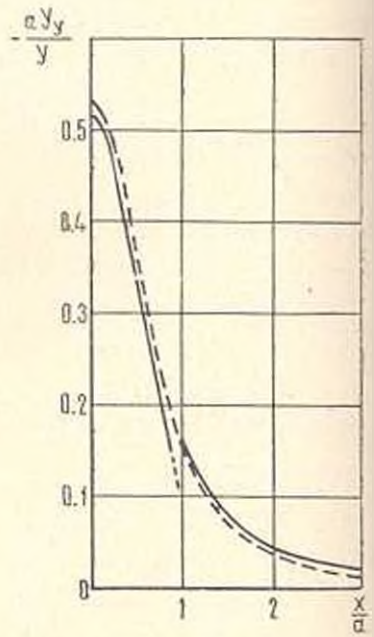
к длине щели равно 0,4, приводится на фиг. 3. На фиг. 4 дается распределение тех же напряжений для математической щели. Вычисления показали, что в этом случае напряжение  $Y_y$  при подходе к концам щели с внутренней стороны является неограниченно положительным, причем точка, где  $Y_y$  меняет знак, лежит в малой окрестности конца щели.



Фиг. 2.



Фиг. 3.



Фиг. 4.

Для математической шели в однородной плоскости напряжение  $Y_y$  является ограниченным и знака не меняет.

Գ. Վ. ԳՐԻԼԻՏԿԻ, Վ. Կ. ՕՓԱՆԱՍՈՎԻՉ

ՃՆՂՔՈՎ ԿՏՈՐ ԱՌ ԿՏՈՐ ՀԱՄԱՍԵՌ ՀԱՐԹՈՒԹՅՈՒՆՆԵՐՈՒՄ  
ԱՐՐՈՒՄՆԵՐԻ ԲԱՇԽՈՒՄՉ ԽՆՂՄԱՆ ԳԵՊՔՈՒՄ

## Ա մ փ ո փ ու մ

Հոդվածում դիտարկվում է ճնշքով կտոր առ կտոր համասեռ իզոտրոպ սալի առաձգական հավասարակշռության որոշման խնդիրը, երբ փոփոխական լայնություն ունեցող ճնշքը գտնվում է նյութների բաժանման ուղիղ գծի վրա այն պայմանով, որ ճնշքի ափերը տրված կենտրոնացած դործոնների և համասեռ լարված վիճակի աղղեցության տակ անվերջությունում բերվում են ուղղի կոնտակտի:

Քանված են լարումների ֆունկցիաները և ճնշքի ափերի միջև կոնտակտի ճատվածի երկարության որոշման համար պայմանները:

STRESS DISTRIBUTION IN A PIECE-HOMOGENEOUS  
PLATE WITH A CRACK UPON COMPRESSION

D. V. GRILITSKY, V. K. OPANASOVICH

## S u m m a r y

The problem on elastic equilibrium for a piece-homogeneous isotropic plate with a variable breadth crack along the straight line of division is considered. The edges of the crack are assumed to keep in smooth touch with each other under the action of specified concentrated factors and homogeneous stress state. The stress junctions and conditions to determine the contact line length are obtained.

## ЛИТЕРАТУРА

1. Москаковский В. И., Загубиженко П. А. Об одной смешанной задаче теории упругости для плоскости, ослабленной прямолинейной щелью. Докл. АН СССР, т. 94 № 4, 1954.
2. Москаковский В. И., Загубиженко П. А. О сжатии упругой изотропной плоскости, ослабленной прямолинейной щелью. Докл. АН СССР, № 5, 1954.
3. Беркович П. Е. Щель в неоднородном поле сжимающих напряжений. Прикл. механика, т. 2, вып. 5, 1966.
4. Беркович П. Е., Чаплицича С. Н. Щель в плоскости, находящейся под действием неоднородного поля напряжений. Прикл. механика, т. 6, вып. 3, 1970.
5. Мусхелишвили Н. И. Некоторые основные задачи математической теории упругости. «Наука», М., 1966.

М. Р. ГАЛАДЖЕВА, В. Х. СИРУНЯН, Б. И. СМЕТАНИН

О РАСКЛИНИВАНИИ УПРУГОЙ ПОЛУПЛОСКОСТИ

Рассматривается задача о расклинивании упругой полуплоскости узким жестким клином с углом при вершине  $2\alpha$ . В окрестности вершины врезающегося клина образуется трещина, ориентированная по его биссектрисе. Клин вдавливается в полуплоскость силой  $P$ . Трение на границах клина предполагается отсутствующим.

Задача сведена к интегральному уравнению первого рода с сингулярным ядром сложной структуры. Найдено асимптотическое решение этого уравнения «методом больших  $\lambda$ » [1]. Определены значения параметров клина, при которых должно происходить расклинивание полуплоскости. Расклинивание полуплоскости клином постоянной толщины изучено ранее в работе [2].

1. Будем предполагать, что в силу узости клина граничные условия задачи возможно снести на его ось. Тогда, разыскивая решение уравнений Ламе в цилиндрической системе координат в форме интегралов Меллина, сведем задачу к следующему интегральному уравнению первого рода:

$$\int_a^b \frac{\gamma(\rho)}{\rho} d\rho \int_{r-1}^{c+1} L(-is) \left(\frac{\rho}{r}\right)^s ds = - \int_0^a \frac{f(\rho)}{\rho} d\rho \int_{r-1}^{c+1} L(-is) \left(\frac{\rho}{r}\right)^s ds + D_0 \quad (1.1)$$

$$(a \leq r \leq b, D_0 = \text{const})$$

$$L(-is) = -2i \left( s^2 - \ln^2 \frac{\pi s}{2} \right) (\ln \pi s)^{-1} \quad (1.2)$$

Здесь  $\gamma(r)$  — функция, описывающая форму трещины,  $f(r)$  — функция, описывающая форму клина,  $a$  и  $b$  — координаты начала и конца трещины (фиг. 1). Необходимо найти решение уравнения (1.1), (1.2), удовлетворяющее очевидным условиям

$$\gamma(a) = f(a), \quad \gamma(b) = 0 \quad (1.3)$$

Величины  $a$  и  $b$  определим затем из условий [4]

$$\lim_{r \rightarrow a} [\gamma'(r) - f'(r)] = 0 \quad (1.4)$$

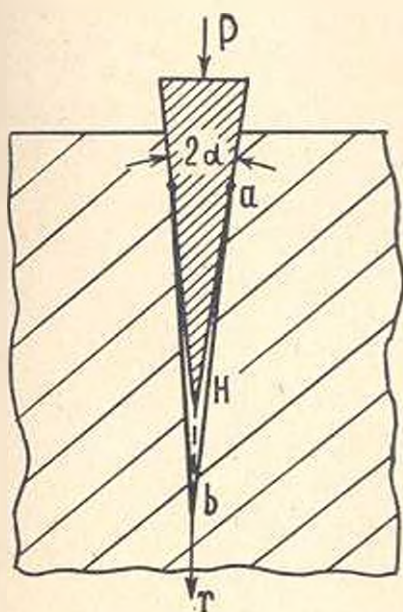
$$\lim_{r \rightarrow b} \gamma'(r) \sqrt{b-r} = - \frac{K}{\pi \Delta}, \quad \left( \Delta = \frac{\sigma}{1-\nu} \right)$$

где  $K$  — модуль сцепления материала полуплоскости,  $\sigma$  и  $\nu$  — упругие постоянные полуплоскости.

Отметим, что контактные давления  $q(r)$  между поверхностями клина и полуплоскости могут быть найдены после определения функции  $\gamma(r)$  по формуле<sup>1</sup>

$$q(r) = -\frac{\Delta}{2\pi} \frac{d}{dr} \int_0^b \frac{v(\rho)}{\rho} d\rho \int_{r-i\infty}^{r+i\infty} L(-is) \left(\frac{\rho}{r}\right)^s ds \quad (0 \leq r \leq a) \quad (1.5)$$

$$v(r) = f(r) \quad (0 \leq r \leq a), \quad v(r) = \gamma(r) \quad (a \leq r \leq b).$$



Фиг. 1.

Связь между глубиной погружения клина  $H$  и величиной вдавливающей силы  $P$  может быть затем определена из условия статики

$$P = 2a \int_0^a q(r) dr \quad (1.6)$$

Введем новую неизвестную функцию

$$\delta(r) = \gamma(r) - f(r) \quad (a \leq r \leq H), \quad \delta(r) = \gamma(r) \quad (H \leq r \leq b) \quad (1.7)$$

Затем, полагая  $s=0$ ,  $s=iu$  и учитывая, что

$$\int_0^{\infty} L(u) \sin\left(u \ln \frac{\rho}{r}\right) du = \frac{8\zeta^2 r^2}{(\zeta-r)(\zeta+r)^2}, \quad f(r) = a(H-r) \quad (1.8)$$

приведем интегральное уравнение (1.1) к виду

<sup>1</sup> Рассматривается случай плоской деформации.

$$\int_a^b \frac{\delta(\rho)}{\rho} Q\left(\ln \frac{\rho}{r}\right) d\rho = g(r) \quad (a \leq r \leq b) \quad (1.9)$$

$$Q(t) = \int_0^{\pi} L(u) \sin(ut) du \quad \left(t = \ln \frac{\rho}{r}\right) \quad (1.10)$$

$$g(r) = -\frac{h}{H} (H-r) \ln \left| \frac{r-H}{r+H} \right| + \frac{2rh}{H+r} + D \quad (1.11)$$

( $h = Ha$ ),  $D = \text{const}$

Решение уравнения (1.9) должно удовлетворять условиям

$$\delta(a) = \delta(b) = 0 \quad (1.12)$$

Введем новые переменные и обозначения

$$r = a \exp \frac{1+x}{\lambda}, \quad \rho = a \exp \frac{1+\xi}{\lambda}, \quad \lambda = \frac{2}{\ln b/a} \quad (1.13)$$

$$\varphi(\xi) = \delta\left(a \exp \frac{1+\xi}{\lambda}\right), \quad p(x) = g\left(a \exp \frac{1+x}{\lambda}\right)$$

Тогда уравнение (1.9) можно записать в форме

$$\int_{-1}^1 \varphi(\xi) Q\left(\frac{\xi-x}{\lambda}\right) d\xi = \lambda p(x) \quad (|x| \leq 1) \quad (1.14)$$

Выделяя сингулярную часть ядра  $Q(t)$ , перепишем уравнение (1.14) следующим образом:

$$\int_{-1}^1 \frac{\varphi(\xi)}{\xi-x} d\xi = \psi(x) \quad (|x| \leq 1) \quad (1.15)$$

$$\psi(x) = p(x) - \frac{1}{\lambda} \int_{-1}^1 \varphi(\xi) F\left(\frac{\xi-x}{\lambda}\right) d\xi \quad (1.16)$$

$$F(t) = \int_0^{\pi} [L(u) - 1] \sin(ut) du$$

Нетрудно показать, что функция  $F(t)$  при  $0 \leq |t| \leq 2/\lambda$ ,  $\lambda > 0$  непрерывна со всеми производными.

Ограниченное решение уравнения (1.15) имеет вид

$$\varphi(x) = -\frac{\sqrt{1-x^2}}{\pi} \int_{-1}^1 \frac{\psi(t) dt}{(t-x)\sqrt{1-t^2}} \quad (|x| \leq 1) \quad (1.17)$$

при дополнительных условиях

$$\Phi = -\frac{1}{\pi} \int_{-1}^1 \frac{t\psi(t) dt}{\sqrt{1-t^2}} \quad (1.18)$$

$$\int_{-1}^1 \frac{\psi(t) dt}{\sqrt{1-t^2}} = 0 \quad \left( \Phi = \int_{-1}^1 \varphi(\xi) d\xi \right)$$

Соотношение (1.17) представляет собой с учетом (1.16) интегральное уравнение второго рода относительно  $\varphi(x)$ . Условия (1.18) могут быть удовлетворены путем выбора двух произвольных постоянных:  $D$  в (1.11) и  $\Phi$ .

Раскладывая функцию  $p(x)$  в ряд по степеням  $\lambda^{-1}$ , получим

$$p(x) = h \sum_{k=0}^{\infty} [A_k(x-x_0) - B_k(x-x_0) \ln \lambda] \lambda^{-k} \quad (1.19)$$

$$A_0 = 1 + D/h, \quad A_1 = (x-x_0) \left( \frac{1}{2} + \ln \frac{|x-x_0|}{2} \right)$$

$$A_2 = \frac{(x-x_0)^2}{2} \ln \frac{|x-x_0|}{2}, \quad x_0 = \lambda \ln \frac{H}{a} - 1$$

$$B_0 = 0, \quad B_1 = x - x_0, \quad B_2 = 0.5(x-x_0)^2 \text{ и т. д.}$$

Легко убедиться, что разложение (1.19) равномерно сходится по  $x \in [-1, 1]$ , если

$$\lambda > \varepsilon = (1.10)^{-1} \sup[(1-x_0), (1+x_0)] \quad (1.20)$$

Регулярную часть ядра  $F(t)$  при больших  $\lambda$  (малых  $t$ ) разложим в ряд по степеням  $t$

$$F(t) = \sum_{n=0}^{\infty} a_n t^{2n+1} \quad (1.21)$$

$$a_n = \frac{(-1)^n}{(2n+1)!} \int_0^{\pi} [L(u) - 1] u^{2n+1} du \quad (n = 0, 1, \dots)$$

Можно показать, что разложение (1.21) равномерно сходится при  $|t| \leq \pi$  и, следовательно, равномерно сходится по  $x \in [-1, 1]$  и  $\xi \in [-1, 1)$ , если

$$\lambda > 2/\pi \quad (1.22)$$

Вычислением установлено

$$a_0 = -\frac{5}{12}, \quad a_1 = \frac{11}{180}, \quad a_2 = -\frac{239}{12096} \quad (1.23)$$

На основании (1.19) и (1.21) можно заключить, что асимптотическое при больших  $\lambda$  решение интегрального уравнения (1.17) следует искать в виде

$$\varphi(x) = \sum_{i=0}^{\infty} \sum_{j=0}^{\infty} \lambda^{-i} (\ln \lambda)^j \varphi_{ij}(x) \quad (1.24)$$

причем разложение (1.24) будет иметь смысл, по крайней мере, при

$$\lambda > \sup(x, 2\pi^{-1}) \quad (1.25)$$

Подставляя (1.16), (1.19), (1.21), (1.24) в уравнение (1.17) и приравнявая члены правой и левой частей при одинаковых степенях  $\lambda^{-1}$  и  $\ln \lambda$ , последовательно найдем

$$\begin{aligned} \varphi_{00}(x) &= 0 \\ \varphi_{10}(x) &= -\frac{h\sqrt{1-x^2}}{\pi} \left\{ \frac{1}{2} - 2 \ln 2 + \frac{x-x_0}{\sqrt{1-x^2}} \left[ \frac{\pi}{2} \operatorname{sgn}(x-x_0) - \arcsin x \right] \right\} \end{aligned} \quad (1.26)$$

$$\begin{aligned} \varphi_{20}(x) &= -\frac{h\sqrt{1-x^2}}{2\pi} \left\{ (4 \ln 2 - 1)x_0 - 2x \ln 2 + \right. \\ &+ \left. \frac{(x-x_0)^2}{\sqrt{1-x^2}} \left[ \frac{\pi}{2} \operatorname{sgn}(x-x_0) - \arcsin x \right] \right\}, \quad \varphi_{01}(x) = 0 \end{aligned}$$

$$\varphi_{11}(x) = h\pi^{-1} \sqrt{1-x^2}, \quad \varphi_{21}(x) = h(2\pi)^{-1} \sqrt{1-x^2}(x-2x_0)$$

$$\varphi_{12}(x) = 0, \quad \varphi_{02}(x) = 0, \quad \varphi_{22}(x) = 0 \text{ и т. д.}$$

Подставляя выражения (1.26) в (1.24) и возвращаясь затем к старым обозначениям и переменным в соответствии с (1.13), получим с учетом (1.7) следующее выражение для функции  $\gamma(r)$ :

$$\begin{aligned} \gamma(r) &= hE(r) + \frac{h}{2} \ln \frac{r}{H} \left( \ln \frac{r}{H} + 2 \right) + h \left( 1 - \frac{r}{H} \right) \quad (a \leq r \leq H) \\ & \quad \gamma(r) = hE(r) \quad (H \leq r \leq b) \end{aligned} \quad (1.27)$$

$$\begin{aligned} E(r) &= -\frac{1}{2\pi} \left\{ \ln \frac{r}{H} \left( \ln \frac{r}{H} + 2 \right) \arccos \left( \lambda \ln \frac{r}{\sqrt{ab}} \right) + \right. \\ &+ \left. \left[ (2 \ln 4\lambda - 1) \left( \ln \frac{H}{\sqrt{ab}} - 1 \right) - \ln 4\lambda \ln \frac{r}{\sqrt{ab}} \right] \sqrt{\ln \frac{r}{a} \ln \frac{b}{r}} \right\} + O(\lambda^{-3}) \end{aligned}$$

Практически формулу (1.27) можно использовать при  $\lambda \gg 4$ .

2. Подставим в соотношения (1.4)  $\gamma(r)$  в виде (1.27) и введем обозначения

$$\ln \frac{H}{a} = \nu, \quad \ln \frac{b}{a} = \tau, \quad \frac{2K}{\pi \sqrt{H}} = M \quad (2.1)$$

Разлагая затем полученные выражения в ряды по малым параметрам  $\mu$  и  $\tau$  и удерживая лишь члены порядка  $\mu^2$ ,  $\mu\tau$  и  $\tau^2$ , найдем

$$\mu A_1(\tau) + B_1(\tau) = 0, \quad \mu A_2(\tau) + B_2(\tau) = -M$$

$$A_1(\tau) = \frac{1}{\sqrt{|\tau|}} [-2 + 0.5\tau (\ln |\tau| - 1.579)], \quad A_2(\tau) = A_2(-\tau) \quad (2.2)$$

$$B_1(\tau) = \frac{1}{\sqrt{\tau}} [\tau (1.579 - \ln \tau) + 0.25\tau^2 (1.079 - \ln \tau)]$$

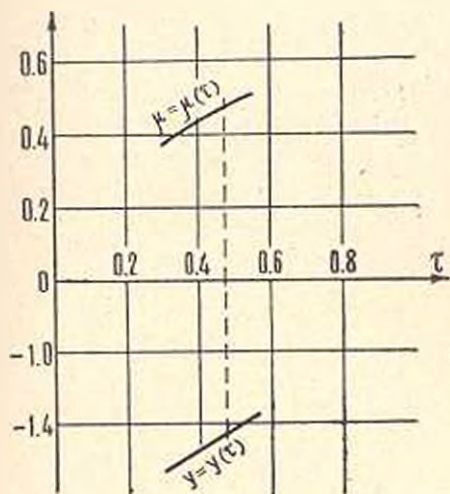
$$B_2(\tau) = \frac{1}{\sqrt{\tau}} [\tau (0.421 + \ln \tau) - 0.25\tau^2 (2.079 - \ln \tau)]$$

Из первого соотношения (2.2) определим

$$\mu = \mu(\tau) = -B_1(\tau) A_1^{-1}(\tau) \quad (2.3)$$

в второе соотношение (2.2) представим в форме

$$y(\tau) = -M, \quad y(\tau) = B_2(\tau) - A_2(\tau) B_1(\tau) A_1^{-1}(\tau) \quad (2.4)$$



Фиг. 2.

Графики функций  $\mu(\tau)$  и  $y(\tau)$  даны на фиг. 2. Задавая значение  $M$ , получим искомое  $\tau$ , как точку пересечения кривых  $y = y(\tau)$  и  $y = -M$ . Затем на графике  $\mu = \mu(\tau)$  отыщем искомое  $\mu$ . Таким образом, при заданных  $H$  и  $\alpha$  определяются величины  $a$  и  $b$ .

Как показали численные расчеты, решение системы (2.2), удовлетворяющее очевидному условию  $\mu < \tau$ , возможно при  $\tau > 0.47$ . При этом (фиг. 2)

$$M = \frac{2K}{\alpha \Delta \sqrt{H}} < 1.46 \quad (2.5)$$

Неравенство (2.5) при заданных постоянных материала полуплоскости  $\nu$ ,  $G$  и  $K$  определяет значения параметров  $a$  и  $H$  клина, при которых должно происходить расклинивание полуплоскости.

В качестве примера рассмотрим расклинивание оргстекла клином с параметрами  $\alpha = 1^\circ$  и  $H = 0.85$  см. Следуя [3], положим  $E = 2.45 \cdot 10^9$  нс.м.<sup>-2</sup>,  $\nu = 0.25$ ,  $K = 1500$  нс.м.<sup>-3/2</sup>.

Из системы (2.2) найдем:  $a = 0.52$  см,  $b = 0.86$  см.

Авторы благодарят В. М. Александрова за постановку задачи и ценные советы при обсуждении настоящей работы.

НИИ механики и прикладной математики  
Северо-Кавказского научного центра высшей школы

Поступила 20 X 1972

Մ. Ռ. ԳԱԼԱԶԵՎԱ, Վ. Խ. ՍԻՐՈՒՆԻԱՆ, Բ. Ի. ՍՄԵՏԱՆԻՆ

ԱՌԱՋԳԱԿԱՆ ԿԻՍԱՀԱՐԹՈՒԹՅԱՆ ԻՆՊԱՎՈՐՄԱՆ ՄԱՍԻՆ

Ա մ փ ո փ ու մ

Գիտարկվում է նեղ, կոշտ, ողորկ եռանկյունաձև սեպով առաձգական կիսահարթության սեպավորման խնդիրը: Սեպի դազաթի շրջակայքում առաջանում է ճաք, խնդիրը բերվում է առաջին սեռի ինտեգրալ հավասարումից ճաքի տեսքը բնութագրող ֆունկցիայի որոշմանը:

Վերլուծված է այդ հավասարման ճշգրիտ լուծումը, ըստ ինչ որ բնութագրող պարամետրի նկատմամբ լոգարիթմա-աստիճանային շարքի:

Կատարված է խնդրի թվային հետազոտումը:

ON THE WEDGING OF AN ELASTIC SEMI-PLANE

M. R. HALADGEVA, V. Kh. SIROUNIAN, B. I. SMETANIN

S u m m a r y

The problem on wedging an elastic semi-plane by a narrow light smooth triangular wedge is considered. In the neighbourhood of the apex a crack is formed. The problem is reduced to the definition of a function, characterizing the shape of the crack, from the first order integral equation. An expansion of the precise solution of this equation into a logarithmic-power series according to a certain characteristic parameter is obtained.

A numerical analysis of the problem is presented.

<sup>1</sup> Проведенные нами эксперименты для пластин из оргстекла дали значение для модуля сцепления  $K$ , близкое приведенному.

## ЛИТЕРАТУРА

1. Александров В. М. Асимптотические методы в контактных задачах теории упругости. ПММ, т. 32, вып. 4, 1968.
2. Сметанин Б. И. О расклинивании упругого бесконечного клина. ПММ, т. 33, вып. 5, 1969.
3. Панасюк В. В. Предельное равновесие хрупких тел с трещинами. Изд. «Наукова думка», Киев, 1968.
4. Irwin G. K. Fracture, Handbuch der Physik. Bd. 6, Springer. Berlin, 1958.

К. Б. КАЗАРЯН

КОЛЕБАНИЯ И УСТОЙЧИВОСТЬ ТОКОНЕСУЩЕЙ  
 ЦИЛИНДРИЧЕСКОЙ ОБОЛОЧКИ

При протекании электрического тока по твердому цилиндру возникают силы электромагнитного происхождения, которые необходимо учитывать при расчете такого цилиндра на прочность [1]. В работе [2] показана возможность потери устойчивости идеально проводящего соленоида, по которому протекает ток.

В настоящей работе рассматриваются колебания и устойчивость тонкой конечно-проводящей круговой цилиндрической оболочки в магнитном поле протекающего по ней по направлению образующих электрического тока. Найдены критические значения напряженности электрического поля, при которых оболочка теряет устойчивость.

1. Бесконечно длинная изотропная цилиндрическая оболочка постоянной толщины  $2h$  и радиуса  $r$  отнесена к цилиндрическим ортогональным координатам  $(\gamma, \theta, x)$ . Координатная поверхность  $(\theta, x)$  совпадает со срединной поверхностью и представляется размерными координатами ( $x$ —вдоль образующей,  $\theta$ —по дуге поперечного сечения).

По оболочке протекает равномерно распределенный продольный ток плотностью  $j_0$ , вектор напряженности тока равен  $\vec{E}_0$  и направлен по образующей

$$\vec{E}_0 = \begin{cases} 0 & h < \gamma < r \\ E_0 \vec{i}_x & -h \leq \gamma \leq h \\ 0 & \gamma < -h \end{cases} \quad (1.1)$$

Электромагнитные и упругие свойства материала оболочки характеризуются: модулем упругости  $E$ , коэффициентом Пуассона  $\nu$ , плотностью  $\rho$ , электропроводностью  $\sigma$ .

Принимается следующая гипотеза магнитоупругости [3], которая для данной системы координат аналитически запишется в виде:

$$\begin{aligned} u_x &= u - \gamma \frac{\partial w}{\partial x}, & u_\theta &= v - \gamma \frac{\partial w}{\partial \theta}, & u_\gamma &= w \\ e_x &= \varphi(x, \theta, t), & e_\theta &= \psi(x, \theta, t), & h_\gamma &= f(x, \theta, t) \end{aligned} \quad (1.2)$$

где  $u = u(x, \theta, t)$ ,  $v = v(x, \theta, t)$ ,  $w = w(x, \theta, t)$  — перемещения срединной поверхности оболочки,  $(u_x, u_\theta, u_\gamma)$  — перемещения произвольной точки оболочки,  $\psi, \varphi$  — тангенциальные компоненты индущии-

рованного электрического поля,  $f$  — нормальная компонента индуцированного магнитного поля.

Кроме этой гипотезы, принимаются следующие предположения: диэлектрическая и магнитная проницаемости материала оболочки равны единице; ток смещения пренебрежимо мал по сравнению с током проводимости; электромагнитные и упругие возмущения настолько малы, что можно пользоваться линейными уравнениями.

Токонесущая оболочка обладает магнитным полем, которое определяется из уравнений магнитостатики

$$\operatorname{rot} \vec{H}_0 = \begin{cases} 0 & h < \gamma < r \\ \frac{4\pi\sigma}{c} \vec{E}_0 & -h \leq \gamma \leq h \\ 0 & \gamma < -h \end{cases} \quad \operatorname{div} \vec{H}_0 = 0 \quad (1.3)$$

следующим образом:

$$\vec{H}_0 = H_{0\theta} \vec{e}_\theta \quad H_{0\theta} = \begin{cases} 0 & h < \gamma < r \\ -\frac{2\pi\sigma E_0}{c} (r - \gamma) \left[ 1 - \left( \frac{r - h}{r - \gamma} \right)^2 \right] & \gamma \leq |h| \\ -\frac{8\pi\sigma E_0}{c} \frac{h}{1 - \gamma/r} & \gamma < -h \end{cases} \quad (1.4)$$

Электромагнитная сила, обусловленная электрическим током [4]

$$\vec{R}_0 = \int_{-h}^h \frac{\sigma}{c} [\vec{E}_0 \times \vec{H}_0] d\gamma$$

имеет только нормальную компоненту  $R_{0r}$

$$R_{0r} = \frac{8\pi\sigma^2 E_0^2 h^2 \left( 1 - \frac{2}{3} \frac{h}{r} \right)}{c^2} \quad (1.5)$$

а остальные компоненты равны нулю.

В (1.5) пренебрегается величиной  $h^2/r^2$  по сравнению с 1. Таким образом, вследствие протекания тока на срединную поверхность оболочки действует радиальная нагрузка  $R_{0r}$  и под действием этой нагрузки в оболочке устанавливается безмоментное напряженное состояние.

2. Рассматривается задача устойчивости безмоментного напряженного состояния оболочки.

В возмущенном состоянии оболочки компоненты электромагнитного поля представляются в виде

$$\vec{H} = \vec{H}_0 + \vec{h} \quad \vec{E} = \vec{E}_0 + \vec{e}$$

С учетом того факта, что возмущения малы, линеаризованные уравнения электродинамики для области  $\gamma \gg |h|$  примут вид

$$\begin{aligned} \operatorname{rot} \vec{h} &= \frac{4\pi\sigma}{c} \left( \vec{e} + \frac{1}{c} \frac{\partial \vec{u}}{\partial t} \times \vec{H}_0 \right) & \operatorname{div} \vec{h} &= 0 \\ \operatorname{rot} \vec{e} &= -\frac{1}{c} \frac{\partial \vec{h}}{\partial t} & \operatorname{div} \vec{e} &= 4\pi\rho_e \end{aligned} \quad (2.1)$$

Вектор  $\vec{u}$  представляет собой перемещение произвольной точки оболочки,  $\rho_e$  — плотность электрических зарядов.

Возмущенное состояние оболочки характеризуется силовым полем  $\vec{R}$  и  $\vec{m}$  электромагнитного происхождения [3]

$$\vec{R} = \int_{-h}^h \left[ \frac{\sigma}{c} \left( \vec{E} + \frac{1}{c} \frac{\partial \vec{u}}{\partial t} \times \vec{H} \right) \times \vec{H} + \vec{E} \operatorname{div} \vec{E} \right] d\gamma \quad (2.2)$$

$$m_x = \int_{-h}^h \left[ \frac{\sigma}{c} \left( \vec{E} + \frac{1}{c} \frac{\partial \vec{u}}{\partial t} \times \vec{H} \right) \times \vec{H} + \vec{E} \operatorname{div} \vec{E} \right]_x \gamma d\gamma$$

$$m_y = \int_{-h}^h \left[ \frac{\sigma}{c} \left( \vec{E} + \frac{1}{c} \frac{\partial \vec{u}}{\partial t} \times \vec{H} \right) \times \vec{H} + \vec{E} \operatorname{div} \vec{E} \right]_y \gamma d\gamma$$

Линеаризованное выражение для  $\vec{R}$  имеет вид

$$\begin{aligned} \vec{R} &= \int_{-h}^h \left\{ \frac{\sigma}{c} \left[ \vec{E}_0 \times \vec{H}_0 + \vec{E}_0 \times \vec{h} + \vec{e} \times \vec{H}_0 + \right. \right. \\ &\quad \left. \left. + \frac{1}{c} \left( \frac{\partial \vec{u}}{\partial t} \times \vec{H}_0 \right) \times \vec{H}_0 + E_0 \operatorname{div} \vec{e} \right] \right\} d\gamma \end{aligned} \quad (2.3)$$

Искомая задача устойчивости сводится к совместному рассмотрению следующих уравнений:

уравнений устойчивости оболочки, которые в перемещениях средней поверхности имеют вид [5]

$$\begin{aligned} \frac{\partial^2 u}{\partial x^2} + \frac{1-\nu}{2} \frac{\partial^2 u}{\partial \theta^2} + \frac{1+\nu}{2} \frac{\partial^2 v}{\partial x \partial \theta} - \frac{\nu}{r} \frac{\partial w}{\partial x} + \frac{1-\nu^2}{2Eh} q_x &= 0 \\ \frac{\partial^2 v}{\partial \theta^2} + \frac{1-\nu}{2} \frac{\partial^2 v}{\partial x^2} + \frac{1+\nu}{2} \frac{\partial^2 u}{\partial x \partial \theta} - \frac{1}{r} \frac{\partial w}{\partial \theta} + \frac{1-\nu^2}{2Eh} q_\theta &= 0 \\ \frac{h^2}{3} \nabla^4 w + \frac{w}{r^2} - \frac{\nu}{r} \frac{\partial u}{\partial x} - \frac{1}{r} \frac{\partial v}{\partial \theta} - \frac{1-\nu^2}{2Eh} q_\gamma &= 0 \end{aligned} \quad (2.4)$$

где

$$q_x = -2\rho h \frac{\partial^2 u}{\partial t^2} - rR_{0\gamma} \left( \frac{\partial^2 v}{\partial x \partial \theta} + \frac{1}{r} \frac{\partial w}{\partial x} \right)$$

$$q_\theta = -2\rho h \frac{\partial^2 v}{\partial t^2} - rR_{0\gamma} \frac{\partial^2 u}{\partial x \partial \theta}$$

$$q_\gamma = -2\rho h \frac{\partial^2 w}{\partial t^2} - rR_{0\gamma} \left( \frac{\partial^2 w}{\partial \theta^2} + \frac{w}{R^2} \right) + (R_\gamma - R_{0\gamma}) + \frac{\partial m_x}{\partial x} + \frac{\partial m_\theta}{\partial \theta}$$

(Здесь величины  $R_\gamma - R_{0\gamma}$ ,  $m_x$ ,  $m_\theta$  появляются вследствие изгиба оболочки и обусловлены возникшей пондеромоторной силой);

уравнений электродинамики (2.1) для области  $\gamma \leq |h|$ ;

уравнений для электродинамики для областей  $h < \gamma < r$ ,  $\gamma < -h$

$$\begin{aligned} \operatorname{rot} \vec{e}^{(s)} &= -\frac{1}{c} \frac{\partial \vec{h}^{(s)}}{\partial t} & \operatorname{rot} \vec{h}^{(s)} &= \frac{1}{c} \frac{\partial \vec{e}^{(s)}}{\partial t} \\ \operatorname{div} \vec{e}^{(s)} &= 0 & \operatorname{div} \vec{h}^{(s)} &= 0 \end{aligned} \quad (2.5)$$

индекс  $s=1$  относится к области  $\gamma < -h$ , а  $s=2$  — к области  $h < \gamma < r$ .

Решения приведенных уравнений (2.1) и (2.5) должны удовлетворять для компонент электромагнитного поля общим граничным условиям на колеблющихся поверхностях оболочки.

С помощью принятой здесь гипотезы магнитоупругости представляется возможным выразить остальные компоненты электромагнитного поля и, следовательно, компоненты векторов  $\vec{R}$  и  $\vec{m}$  с помощью функций  $(\varphi, \psi, f, u, v, w)$  и значений компонент магнитного поля  $h_\theta^+$ ,  $h_\theta^-$  на поверхностях оболочки  $\gamma = \pm h$ , а также привести разрешающие уравнения относительно функций  $(\varphi, \psi, f)$ .

Из уравнений (2.1) согласно способу, изложенному в [3], компоненты электромагнитного поля  $h_x$ ,  $h_\theta$ ,  $h_\gamma$  представляются следующим образом:

$$\begin{aligned} h_x &= \gamma \left( \frac{\partial f}{\partial x} + \frac{4\pi\sigma}{c} \psi \right) + \frac{h_x^+ + h_x^-}{2} \\ h_\theta &= \frac{2r\gamma - \gamma^2 + h^2}{2(r-\gamma)} \left( \frac{\partial f}{\partial \theta} - \frac{4\pi\sigma}{c} \varphi \right) + \\ &+ \frac{8\pi\sigma^2 E_0}{c^3} \frac{\partial w}{\partial t} \frac{r\gamma^2 - rh^2 - 2rh\gamma + h^2\gamma - \frac{\gamma^3}{3}}{r-\gamma} + \frac{(r-h)h_\theta^+ + (r+h)h_\theta^-}{2(r-\gamma)} \\ e_\gamma &= \frac{c}{4\pi\sigma} \frac{(2r\gamma - \gamma^2 + h^2)}{2(r-\gamma)} \left( \frac{\partial^2 f}{\partial x \partial \theta} - \frac{4\pi\sigma}{c} \frac{\partial \varphi}{\partial x} \right) + \end{aligned} \quad (2.6)$$

$$\begin{aligned}
& + \frac{c}{4\pi\sigma} \frac{(r-h) \frac{\partial h_0^+}{\partial x} + (r+h) \frac{\partial h_0^-}{\partial x}}{2(r-\gamma)} + \\
& + \frac{8\pi\sigma^2 E_0}{c^3} \frac{\partial^2 w}{\partial x \partial t} \frac{r\gamma^2 - rh^2 - 2rh\gamma + h^2\gamma - \frac{\gamma^3}{3}}{r-\gamma} - \frac{c}{4\pi\sigma} \frac{\partial}{\partial \theta} \left( \frac{h_x^+ - h_x^-}{2} \right) - \\
& - \frac{c}{4\pi\sigma} \gamma \left( \frac{\partial^2 f}{\partial x \partial \theta} + \frac{4\pi\sigma}{c} \frac{\partial \psi}{\partial \theta} \right) - \frac{1}{c} H_{0\theta} \left( \frac{\partial u}{\partial t} - \gamma \frac{\partial^2 w}{\partial x \partial t} \right) \quad (2.6)
\end{aligned}$$

Осредняя уравнения (2.1) по толщине оболочки, получим следующие основные уравнения относительно функций  $(\varphi, \psi, f)$ :

$$\begin{aligned}
\frac{\partial f}{\partial \theta} - \frac{4\pi\sigma}{c} \varphi &= \frac{h_0^+ - h_0^-}{2h} - \frac{h_0^+ + h_0^-}{2r} + \frac{16\pi^2\sigma^2 E_0 h}{c^3} \frac{\partial w}{\partial t} \left( 1 - \frac{1}{3} \frac{h}{r} \right) \\
\frac{\partial \psi}{\partial x} - \frac{\partial \varphi}{\partial \theta} &= -\frac{1}{c} \frac{\partial f}{\partial t} \quad (2.7) \\
\frac{\partial f}{\partial x} + \frac{4\pi\sigma}{c} \psi &= \frac{h_x^+ - h_x^-}{2h}
\end{aligned}$$

Индексы  $+$  и  $-$  означают значения соответствующих величин при  $\gamma = +h$ ,  $\gamma = -h$ .

Компоненты сил и моментов, входящие в уравнения (2.4), согласно (1.2), (2.3), (2.2) и (2.6), (2.7) выражаются следующим образом:

$$\begin{aligned}
R_\gamma &= \frac{8\pi\sigma^2 E_0^2 h^2 \left( 1 - \frac{2}{3} \frac{h}{r} \right)}{c^2} + \frac{8\pi\sigma^2 E_0 h^2 \left( 1 - \frac{2}{3} \frac{h}{r} \right) \varphi}{c^2} - \\
&- \frac{32\pi^2\sigma^3 E_0^2 h^2 \left( 1 - \frac{4}{5} \frac{h}{r} \right)}{c^4} \frac{\partial w}{\partial t} + \frac{\sigma E_0}{c} \left[ \frac{(h_0^+ - h_0^-) h^2}{3r} + (h_0^+ + h_0^-) h \right] \quad (2.8) \\
m_x &= \frac{E_0 \sigma h^3}{c} \left\{ \frac{44}{3} \frac{\pi^2 \sigma^2 E_0 h^2}{c^3} \frac{\partial^2 w}{\partial x \partial t} + \frac{1}{3} \frac{\partial}{\partial \theta} (h_x^+ + h_x^-) \left( 1 - \frac{h}{r} \right) - \right. \\
&- \frac{1}{3} \frac{\partial}{\partial \theta} (h_x^+ - h_x^-) \left( 1 - \frac{4}{5} \frac{h}{r} \right) - \frac{1}{3} \frac{\partial}{\partial x} (h_0^+ + h_0^-) \left( 1 - \frac{3h}{r} \right) + \\
&\left. + \frac{2}{3} \frac{\partial}{\partial x} (h_0^+ - h_0^-) \left( 1 - \frac{9}{5} \frac{h}{r} \right) \right\} \\
m_\theta &= 0
\end{aligned}$$

При получении выражений (2.8) пренебрежено величиной  $h^2/r^2$  по сравнению с 1.

Таким образом, задача устойчивости токонесущей оболочки свелась к совместному решению относительно функций  $(u, v, w, j, \psi, \varphi)$  уравнений (2.4), в которые подставлены значения  $R_{0\gamma}, R_{\gamma}, m_x, m_\theta$  из (1.5) и (2.8), уравнений (2.7), а также уравнений электродинамики (2.5) вне областей, занимаемых оболочкой. Для совместного решения этих уравнений необходимы граничные условия относительно значений компонент возмущенного электромагнитного поля на поверхностях оболочки.

3. Решение искомой задачи приводится в частном случае, когда возмущения не зависят от  $x$ , и в приближении  $h/r \ll 1$ . Для простоты также пренебрегается инерционный член  $\frac{\partial^2 v}{\partial t^2}$ .

В этом случае система уравнений относительно искомых функций после некоторых преобразований примет следующий вид:

$$\begin{aligned} \frac{h^2}{3} \frac{\partial^2 w}{\partial \theta^4} + \frac{(1-v^2)\rho}{E} \frac{\partial^2 w}{\partial t^2} + \frac{4\pi^2 h (1-v^2) E_0^2 r}{Ec^2} \left( \frac{\partial^2 w}{\partial \theta^2} + \frac{w}{r^2} \right) - \\ - \frac{4\pi^2 h (1-v^2)}{Ec^2} \varphi + \frac{16\pi^2 \sigma^3 h^2 E_0^2}{Ec^4} \frac{\partial w}{\partial t} - \frac{\sigma E_0 h (1-v^2)}{6rcE} (h_\theta^+ - h_\theta^-) + \\ + \frac{\sigma E_0 (1-v^2)}{Ec} (h_\theta^+ + h_\theta^-) = 0 \end{aligned} \quad (3.1)$$

$$\frac{\partial^2 \varphi}{\partial \theta^2} - \frac{4\pi\sigma}{c^2} \frac{\partial \varphi}{\partial t} - \frac{1}{c} \frac{\partial}{\partial t} \left( \frac{h_\theta^- - h_\theta^+}{2h} - \frac{h_\theta^+ + h_\theta^-}{2r} \right) - \frac{16\pi^2 \sigma^2 E_0 h}{c^4} \frac{\partial^2 w}{\partial t^2} = 0$$

$$\frac{\partial^2 j}{\partial \theta^2} - \frac{4\pi\sigma}{c^2} \frac{\partial j}{\partial t} - \frac{\partial}{\partial \theta} \left( \frac{h_\theta^+ - h_\theta^-}{2h} - \frac{h_\theta^+ + h_\theta^-}{2r} \right) - \frac{16\pi^2 \sigma^2 E_0 h}{c^3} \frac{\partial^2 w}{\partial \theta \partial t} = 0$$

$$\frac{\partial^2 \psi}{\partial \theta^2} - \frac{4\pi\sigma}{c^2} \frac{\partial \psi}{\partial t} + \frac{1}{c} \frac{\partial}{\partial t} \left( \frac{h_x^+ - h_x^-}{2h} \right) - \frac{c}{4\pi\sigma} \frac{\partial^2}{\partial \theta^2} \left( \frac{h_x^+ - h_x^-}{2h} \right) = 0$$

Как видно из рассмотрения (3.1), последнее уравнение отделяется от остальных уравнений и поэтому оно может быть опущено.

Данная система должна решаться совместно с уравнениями электродинамики вне областей, занимаемых оболочкой, и с общими граничными условиями на поверхностях  $\gamma = \pm h$  оболочки.

Отметим, что из уравнений электродинамики (2.5) следует привести уравнения, определяющие только тангенциальную компоненту  $h_\theta^{(s)}$ , потому что, как уже было отмечено выше, последнее уравнение из системы (3.1), содержащее поверхностные значения другой тангенциальной компоненты магнитного поля  $h_x^+, h_x^-$ , может быть опущено.

Интересующие нас уравнения и соответствующие граничные условия следующие:

$$\frac{\partial^2 h_\gamma^{(s)}}{\partial \gamma^2} - \frac{1}{r - \gamma} \frac{\partial h_\gamma^{(s)}}{\partial \gamma} + \frac{\partial^2 h_\gamma^{(s)}}{\partial \theta^2} - \frac{1}{c^2} \frac{\partial^2 h_\gamma^{(s)}}{\partial t^2} = 0 \quad (3.2)$$

$$\frac{\partial h_0^{(s)}}{\partial \theta} - \frac{1}{r-\gamma} \frac{\partial (r-\gamma) h_\gamma^{(s)}}{\partial \gamma} = 0 \quad (3.2)$$

$$\begin{aligned} h_\gamma^{(1)} = f & \quad h_0^{(1)} = h_0^- & \text{при } \gamma = -h \\ h_\gamma^{(2)} = f & \quad h_0^{(2)} = h_0^+ & \text{при } \gamma = +h \end{aligned} \quad (3.3)$$

Решения уравнений (3.1) и (3.2) ищутся в виде

$$w = w_0 \exp i(\Omega t - k\theta) \quad \varphi = \varphi_0 \exp i(\Omega t - k\theta) \quad f = f_0 \exp i(\Omega - k\theta) \quad (3.4)$$

$$h_\gamma^{(s)} = \alpha^{(s)}(\gamma) \exp i(\Omega t - k\theta) \quad h_0^{(s)} = \beta^{(s)}(\gamma) \exp i(\Omega t - k\theta)$$

Здесь функции от  $\gamma$  являются неизвестными и подлежат определению,  $k$  — волновое число,  $\Omega$  — частота колебаний.

Подставляя (3.4) в (3.2), получим следующие уравнения относительно  $\alpha^{(s)}$  и  $\beta^{(s)}$ :

$$\frac{d^2 \alpha^{(s)}}{dz^2} + \frac{1}{z} \frac{d\alpha^{(s)}}{dz} - k_1^2 \alpha^{(s)} = 0 \quad (3.5)$$

$$\beta^{(s)} = -\frac{i}{k(r-\gamma)} \alpha^{(s)} + \frac{i}{k} \frac{d\alpha^{(s)}}{d\gamma} \quad (3.6)$$

где  $z = r - \gamma$ ,  $k_1^2 = k^2 - \frac{\Omega^2}{c^2}$ .

Принимается, что  $V^2/c^2 \ll 1$  ( $V = \frac{\Omega}{k}$  — фазовая скорость распространения упругих волн).

Тогда решение уравнения (3.5) представится в виде

$$\alpha^{(s)}(\gamma) = C_1^{(s)} J_0[k_1(r-\gamma)] + C_2^{(s)} K_0[k_1(r-\gamma)]$$

где  $J_0$  и  $K_0$  — модифицированные функции Бесселя нулевого порядка.

Известно, что функция  $K_0$  в нуле имеет особенность, а функция  $J_0$  неограниченно возрастает при стремлении аргумента к бесконечности.

Исходя из этого, следует положить  $C_1^{(2)} = C_1^{(1)} = 0$ .

Остальные постоянные интегрирования определяются из граничных условий (3.3), с учетом (3.4)

$$C_2^{(1)} = \frac{f_0}{K_0[k_1(r+h)]}, \quad C_1^{(2)} = \frac{f_0}{J_0[k_1(r-h)]}$$

Окончательно для функции  $\alpha^{(s)}$  имеем

$$\alpha^{(1)} = f_0 \frac{K_0[k_1(r-\gamma)]}{K_0[k_1(r+h)]}, \quad \alpha^{(2)} = f_0 \frac{J_0[k_1(r-\gamma)]}{J_0[k_1(r-h)]} \quad (3.7)$$

Подставляя (3.7) в (3.6), получим

$$\beta^{(1)} = \frac{i}{k} f_0 \frac{K_0' [k_1 (r - \gamma)]}{K_0 [k_1 (r + h)]} - \frac{if_0}{k (r - \gamma)} \frac{K_0 [k_1 (r - \gamma)]}{K_0 [k_1 (r + h)]}$$

$$\beta^{(2)} = \frac{i}{k} f_0 \frac{J_0' [k_1 (r - \gamma)]}{J_0 [k_1 (r - h)]} - \frac{if_0}{k (r - \gamma)} \frac{J_0 [k_1 (r - \gamma)]}{J_0 [k_1 (r - h)]}$$
(3.8)

(штрих означает дифференцирование по  $\gamma$ ).

Удовлетворяя граничным условиям (3.3), а также и (3.4), для компонент индуцированного магнитного поля  $h_0^+$  и  $h_0^-$  получим

$$h_0^+ = \beta^{(2)}(h) \exp i(\Omega t - k\theta), \quad h_0^- = \beta^{(1)}(-h) \exp i(\Omega t - k\theta) \quad (3.9)$$

Таким образом, подставляя (3.9), (3.4) с учетом (3.8) в систему уравнений (3.1), можно получить характеристическое уравнение относительно частоты  $\Omega$ . Ввиду громоздкости это уравнение здесь не приводится.

В случае  $k_1 r \gg 1$  можно применить асимптотические формулы функций Бесселя.

Выражения для  $h_0^+$  и  $h_0^-$  значительно упрощаются

$$h_0^+ = \frac{ik_1}{k} f, \quad h_0^- = -\frac{ik_1}{k} f$$

Учитывая, что  $V^2/c^2 \ll 1$ , можно считать  $k_1 = k$

$$h_0^+ = if, \quad h_0^- = -if \quad (3.10)$$

Подставляя (3.10) в (3.1), получим следующую основную систему уравнений:

$$\frac{h^2}{3} \frac{\partial^4 w}{\partial \theta^4} + \frac{(1 - v^2) \rho}{E} \frac{\partial^2 w}{\partial t^2} + \frac{4\pi\sigma^2 h r (1 - v^2)}{Ec^2} \left( \frac{\partial^2 w}{\partial \theta^2} + \frac{w}{r^2} \right) -$$

$$- \frac{4\pi\sigma^2 h (1 - v^2)}{Ec^2} \varphi + \frac{16\pi^2 \sigma^3 h^2 E_0^2}{Ec^4} \frac{\partial w}{\partial t} - \frac{\sigma E_0 h (1 - v^2) i}{3rcE} f = 0$$
(3.11)

$$\frac{\partial^2 \varphi}{\partial \theta^2} - \frac{4\pi\sigma}{c^2} \frac{\partial \varphi}{\partial t} - \frac{i}{ch} \frac{\partial f}{\partial t} - \frac{16\pi^2 \sigma^2 E_0 h}{c^4} \frac{\partial^2 w}{\partial t^2} = 0$$

$$\frac{\partial^2 f}{\partial \theta^2} - \frac{4\pi\sigma}{c^2} \frac{\partial f}{\partial t} - \frac{i}{h} \frac{\partial f}{\partial \theta} - \frac{16\pi^2 \sigma^2 E_0 h}{c^3} \frac{\partial^2 w}{\partial \theta \partial t} = 0$$

Подставляя (3.4) в (3.11), приходим к характеристическому уравнению, которое имеет следующий вид:

$$a_0 \omega^4 + a_1 \omega^3 + a_2 \omega^2 + a_3 \omega + a_4 = 0 \quad (3.12)$$

где  $\omega = i\Omega$ , а коэффициенты  $a_0, a_1, a_2, a_3, a_4$  — действительные выражения

$$\begin{aligned}
 a_0 &= \frac{16\pi^2\sigma^2\rho(1-\nu^2)}{Ec^4} \\
 a_1 &= \frac{4\pi\rho\sigma k(1-\nu^2)(1+2hk)}{Ehc^2} + \frac{512\pi^4\sigma^5 E_0^2 h^2(1-\nu^2)}{Ec^8} \\
 a_2 &= \frac{\rho k^3(1+hk)(1-\nu^2)}{Eh} + \frac{16\pi^2\sigma^2 h^2 k^4}{3c^4} - \frac{64\pi^3\sigma^4 h k^2 E_0^2(1-\nu^2)}{Ec^6} \\
 a_3 &= \frac{4\pi\sigma h k^5(1+2hk)}{3c^2} - \frac{16\pi^2\sigma^3 r k^3(1-\nu^2)(1+2hk)E_0^2}{Ec^4} \\
 a_4 &= \frac{h k^2(1+hk)}{3} - \frac{4\pi\sigma^2 k^5 r E_0^2(1+hk)(1-\nu^2)}{Ec^2}
 \end{aligned}$$

Критерием устойчивости являются следующие требования:

$$\operatorname{Re} \omega_i < 0 \quad i = 1, 2, 3, 4$$

где  $\omega_i$  — корни уравнения (3.12).

Используя критерий Рауса—Гурвица, получим следующее критическое значение для напряженности начального электрического поля

$$E_0^2 = \frac{E h k^2 c^2}{12\pi\sigma^2(1-\nu^2)r} - \frac{\rho c^6(1+hk)k}{64\pi^3\sigma^4 h^2 r} \quad (3.13)$$

Из (3.13) найдем критическое значение для плотности  $j_{0c} = \sigma E_0$  начального электрического тока

$$j_{0c}^2 = \frac{E h k^2 c^2}{12\pi r(1-\nu^2)}(1-\delta) \quad (3.14)$$

где  $\delta$  — безразмерная величина

$$\delta = \frac{3}{16\pi^2} \frac{\rho c^4(1-\nu^2)(1+hk)}{E\sigma^2 h^2 k}$$

Отметим, что для всех проводящих материалов  $\delta \ll 1$ .

4. Для сравнения рассмотрим задачу, аналогичную исходной, но без учета индуцированных электромагнитных полей.

В этом случае уравнение устойчивости имеет вид

$$\frac{h^2}{3} \frac{\partial^4 w}{\partial \theta^4} + \frac{4\pi\sigma^2 h r(1-\nu^2)}{Ec^2} \left( \frac{\partial^2 w}{\partial \theta^2} + \frac{w}{r^2} \right) + \frac{(1-\nu^2)\rho}{E} \frac{d^2 w}{dt^2} = 0 \quad (4.1)$$

Решение ищется в виде

$$w = w_0 \exp i(\Omega t - k\theta)$$

Характеристическое уравнение имеет вид

$$\frac{h^2 k^4}{3} - \frac{4\pi\sigma^2 E_0^2 h(1-\nu^2)(r^2 k^2 - 1)}{Ec^2 r} - \frac{(1-\nu^2)\rho}{E} \Omega^2 = 0$$

откуда

$$\Omega^2 = \frac{E}{(1 - \nu^2)\rho} \left[ \frac{h^2 k^4}{3} - \frac{4\pi\sigma^2 E_0^2 h (1 - \nu^2) (r^2 k^2 - 1)}{Ec^2 r} \right]$$

Условием устойчивости является требование положительности выражения в квадратной скобке.

Таким образом, мы получаем критическое значение для компоненты начального электрического поля

$$E_{0*}^2 = \frac{Ehk^4 c^2 r}{12\pi\sigma^2 (1 - \nu^2) (r^2 k^2 - 1)} \quad (4.2)$$

Частота колебаний определяется из уравнения

$$\Omega = \Omega_0 \left( 1 - \frac{E_0^2}{E_{0*}^2} \right)^{1/2}$$

Критическое значение плотности начального электрического тока имеет вид

$$j_{0*}^2 = \frac{Ehk^4 c^2 r}{12\pi (1 - \nu^2) (r^2 k^2 - 1)} \quad (4.3)$$

Сопоставление (4.3) с (3.14) показывает, что индуцированное электромагнитное поле при  $kr \gg 1$  незначительно уменьшает критическое значение плотности электрического тока, оно влияет лишь только на частоту магнитоупругих колебаний.

То же самое можно отметить и в случае  $kr \sim 1$ . В задачах устойчивости токнесущей оболочки немаловажную роль играют температурные напряжения, возникающие вследствие выделения в оболочке джоулева тепла, определяемого по формуле [4]

$$Q = \frac{j^2}{\sigma}$$

Величина температуры  $\Delta T$  нагрева оболочки равна [6]:

$$\Delta T = \frac{Qh}{\alpha_T} = \frac{j^2 h}{\sigma \alpha_T}$$

где  $\alpha_T$  — коэффициент теплообмена.

Ниже приводятся численные результаты относительно температуры нагрева  $\Delta T$  для оболочек, изготовленных из различных материалов и находящихся в реальных условиях теплообмена с окружающей средой, при критических значениях  $j_{0*}$ .

Для вычисления  $\Delta T$  мы будем исходить из формулы (4.3)

$$\Delta T = \frac{Eh^2 c^2}{12\pi (1 - \nu^2) \sigma \alpha_T r^3} \frac{m^4}{m^2 - 1} \quad m = kr$$

Таблица 1

Материал оболочки	$E, \text{дин/см}^2$	$\nu$	$m$	$\tau, \frac{1}{\text{сек}}$	$\tau_r, \frac{\text{эрг}}{\text{сек см}^2 \text{ з}}$	$\Delta T, ^\circ\text{C}$		
						$\frac{h}{r} = \frac{1}{100}$	$\frac{h}{r} = \frac{1}{500}$	$\frac{h}{r} = \frac{1}{1000}$
Золото	$0.8 \cdot 10^{12}$	0.4	2	$4.5 \cdot 10^{17}$	$2 \cdot 10^5$	1300	10	1.3
Медь	$1.2 \cdot 10^{12}$	0.35	2	$5.3 \cdot 10^{17}$	$2 \cdot 10^5$	1600	13	2.6
Латунь	$10^{12}$	0.35	2	$2 \cdot 10^{17}$	$2 \cdot 10^5$	3500	28	3.5

Как видно из таблицы, температура нагрева оболочек, а следовательно, и температурные напряжения малы в случае  $h/r=1/500$ ,  $h/r=1/1000$ .

В заключение автор выражает благодарность М. В. Белубекяну за постановку и обсуждение задачи.

Институт механики  
АН Армянской ССР

Поступила 13 VII 1973

#### Կ. Բ. ԿԱԶԱՐՅԱՆ

### ՀՈՍԱՆՔԱՏԱՐ ԳԼԱՆԱՅԻՆ ԹԱՂԱՆԹԻ ՏԱՏԱՆՈՒՄՆԵՐԸ ԵՎ ԿԱՅՈՒՆՈՒԹՅՈՒՆԸ

#### Ա մ փ ո փ ու մ

Դիտարկվում է վերջավոր-հաղորդիչ հոսանքատար թաղանթի կայունության խնդիրը:

Գտնված է սկզբնական էլեկտրական դաշտի խտության կրիտիկական արժեքները, որոնց դեպքում թաղանթը կորցնում է կայունությունը:

Ցույց է տրված, որ ինդուկցված էլեկտրամագնիսական դաշտերի հաշվառումը չնչին չափով է փոփոխում սկզբնական հոսանքի խտության կրիտիկական արժեքները:

Բերված են թաղանթի տաքացման ջերմաստիճանի վերաբերյալ թվային տվյալներ կախված թաղանթում Ջոուլյան ջերմության առաջացումից:

### VIBRATION AND STABILITY OF A CURRENT-CARRYING CYLINDRICAL SHELL

K. B. KAZARIAN

#### S u m m a r y

The problem in stability of a finite-conducting current-carrying shell is considered. The critical values of the primary current density at which the shell loses its stability are found.

It is shown that the presence of induced electromagnetic fields decreases but insignificantly the critical values of the primary current density.

The numerical data on the shell heating temperature due to the Joule heat evolved in the shell are presented.

#### ЛИТЕРАТУРА

1. *Вандакуров Ю. В., Колесникова Э. Н.* Устойчивость твердого проводящего цилиндра в магнитном поле протекающего по нему тока. ЖТФ, т. XXXVII, вып. 11, 1967.
2. *Овакимян Р. Н.* Об устойчивости цилиндрической токнесущей оболочки бесконечной проводимости. Изв. АН Арм. ССР, Механика, т. XXII, № 4, 1969.
3. *Амбарцумян С. А., Багдасарян Г. Е., Белубекян М. В.* К магнитоупругости тонких оболочек и пластин. ПММ, т. 37, вып. 1, 1973.
4. *Тамм И. Е.* Основы теории электричества. Гостехиздат, М., 1957.
5. *Болотин В. В.* Динамическая устойчивость упругих систем. Гостехиздат, М., 1956.
6. *Овакимян Р. Н.* О нагрузках на цилиндрическую оболочку в электромагнитном поле. Изв. АН Арм. ССР, Механика, т. XX, № 5, 1967.

Р. Е. ГЕПЗЕН

КОНСТРУКТИВНО ПОЛУБЕЗМОМЕНТНЫЕ ПЛАСТИНЫ  
И ОБОЛОЧКИ ЗАДАЧА ИЗГИБА ПЛАСТИН

1. В теории оболочек понятие о полубезмоментном напряженном состоянии связывается с медленным изменением основного напряженного состояния и быстрым затуханием состояния типа краевого эффекта [1]. Поскольку краевой эффект характерен только для оболочек, невозможен и предельный переход от известных соотношений для полубезмоментных оболочек к соответствующим соотношениям для пластин. Из этого, однако, не следует невозможность существования полубезмоментных напряженных состояний оболочек и пластин, связанных с какими-либо иными эффектами. В последнем нетрудно убедиться из следующего опыта. Нагрузим прямоугольную пластинку равномерно распределенной растягивающей силой в направлении одной из координатных осей и изгибающими моментами, продольным и поперечным. Предположим, что материал пластины обладает пределом текучести и последний достигнут под действием только растягивающей силы. Тогда в каждом сечении, перпендикулярном направлению силы, образуются пластические шарниры, и при последующем приложении изгибающих моментов пластина будет работать как полубезмоментная.

Можно сделать и следующий шаг, сконструировав близкую к полубезмоментной упругую пластину в виде набора продольных балок или полос, соединенных в срединной плоскости продольными шарнирами. Сравнение прогибов прямоугольной шарнирно опертой пластины с одним, двумя и т. д. продольными шарнирами под действием равномерной поперечной нагрузки показывает существенное понижение жесткости при постановке двух первых шарниров; значение прогиба асимптотически приближается к некоторому пределу, практически неизменяющемуся при числе шарниров, большем трех. Этот результат наводит на мысль о возможности «распределения» ослабления, вызванного постановкой достаточно большого количества шарниров, подобно тому, как распределяют жесткость при расчете подкрепленных пластин и оболочек. Отсюда следует также, что требование малости отношения ширины к длине сопрягаемых элементов, при котором имеет место полубезмоментное состояние, не является чрезмерно жестким. Это предопределяет и распространенность полубезмоментного напряженного состояния в ряде специальных конструкций. Укажем, прежде всего, на широко применяемые в качестве капитальных и временных сооружений пластины и оболочки в виде набора балок, соединенных между собой посредством специальных замков в шпунт; различного типа настилы и покрытия с ана-

логичным соединением элементов и т. п. Для анализа работы таких конструкций были получены [3] соотношения для полубезмоментных пластин и оболочек как систем с распределенными шарнирами.

Класс конструктивно полубезмоментных систем удается при определенных ограничениях расширить за счет включения сильно ортотропных систем. Можно, например, показать, что напряженное состояние пластины с малым отношением поперечной и продольной изгибных жесткостей при слабой изменяемости напряженного состояния в поперечном направлении близко к полубезмоментному. В рассмотренных случаях полубезмоментность связана с конструктивными особенностями систем, которые по этой причине предлагается называть конструктивно-полубезмоментными.

В данной работе рассматриваются задачи изгиба конструктивно полубезмоментных пластин. Необходимые исходные соотношения [3] получены из соотношений изгиба жестких ортотропных пластин путем их разложения в ряд по малому параметру, характеризующему отношение главных изгибных жесткостей. Идея введения малого параметра такого рода предложена в работе [5], где исследовались напряженные состояния подкрепленных оболочек.

В настоящей работе обращено внимание на самостоятельное значение полубезмоментных соотношений не столько в связи с математическими упрощениями, делающими их применение целесообразными, сколько на необходимость их использования в тех случаях, когда полубезмоментная система является более подходящей механической моделью реальной конструкции, чем обычная пластина и оболочка [2, 3].

2. Обычное уравнение изгиба жестких ортотропных пластин представим в виде

$$\alpha \omega_{,xxxx} + 2\alpha \omega_{,xxyy} + \gamma \omega_{,yyyy} = q^*(x, y) \quad (1)$$

где

$$\alpha = 2D_2/D_1, \quad \gamma = D_2/D_1, \quad q^* = q/D_1$$

$$D_1 = E_1 h^3 [12(1 - \nu_1 \nu_2)]^{-1}, \quad D_2 = E_2 h^3 [12(1 - \nu_1 \nu_2)]^{-1}$$

$$D_3 = D_1 \nu_2 + 2D_2 = D_2 \nu_1 + 2D_1, \quad D_4 = Gh^3/12$$

Рассмотрим случай сильной ортотропии, в частности при  $E_1 \gg E_2$ . Тогда  $\nu = E_2/E_1$  — малый параметр. Из соотношения  $E_1 \nu_2 = E_2 \nu_1$  следует  $\nu_2/\nu_1 = \nu$ . Решения уравнения (1) представим в виде разложения в ряд по малому параметру

$$\omega = \omega_0 + \sum_{i=1}^{\infty} \nu^i \omega_i \quad (2)$$

Подставив (2) в (1), сгруппируем коэффициенты при одинаковых степенях  $\nu$ . Приравняв последние нулю, получим

$$L\bar{w}_i = q^i, \quad Lw_i = Mw_{i-1}, \quad (i = 1, 2, 3, \dots) \quad (3)$$

$$L = \frac{\partial^4}{\partial x^4} + 2\beta \frac{\partial^4}{\partial x^2 \partial y^2}, \quad M = -\left( \frac{\partial^4}{\partial y^4} + 2\mu_1 \frac{\partial^4}{\partial x^2 \partial y^2} \right), \quad \beta = \frac{2D_2}{D_1}$$

Введение ряда (2) в выражение для внутренних усилий дает

$$\begin{aligned} M_1 &= -D_1 \left[ w_{0,xx} + \sum_{i=1}^{\infty} v^i (w_{i,xx} + \mu_1 w_{i-1,yy}) \right] \\ M_2 &= -D_1 \sum_{i=0}^{\infty} v^{i+1} (w_{i,yy} + \mu_1 w_{i,xx}) \\ H &= -2D_2 \sum_{i=0}^{\infty} v^i w_{i,yy} \\ Q_1 &= -D_1 \left[ w_{0,xxx} - \beta w_{0,xyy} + \sum_{i=1}^{\infty} v^i (w_{i,xxx} + \mu_1 w_{i-1,xyy} + \beta w_{i,xyy}) \right] \\ Q_2 &= -D_1 \left[ \beta w_{0,xyy} + \sum_{i=1}^{\infty} (w_{i-1,yyy} + \mu_1 w_{i-1,xyy} + \beta w_{i,xyy}) \right] \end{aligned} \quad (4)$$

Составим теперь систему граничных условий. Для общности примем несимметричные условия упруго-податливого закрепления всех краев пластинки, а именно:

$$\begin{aligned} \text{при } x=0 & \quad Q_1^* = -c_1^* w, & M_1 &= c_2^* w, \\ & \quad Q_2^* = c_3^* w, & M_2 &= -c_4^* w, \\ & \quad Q_3^* = -c_5^* w, & M_3 &= c_6^* w, \\ & \quad Q_4^* = c_7^* w, & M_4 &= -c_8^* w. \end{aligned} \quad (5)$$

Здесь  $c_k^*$  ( $k = 1, 2, \dots, 8$ ) — коэффициенты жесткости упругого закрепления;  $Q_1^* = Q_1 + H_y$ ,  $Q_2^* = Q_2 + H_x$  — приведенные поперечные силы, объединяющие  $Q_1$ ,  $Q_2$  соответственно и дополнительные поперечные силы  $H_y$  и  $H_x$ , эквивалентные действию крутящих моментов.

Вводя (4) в (5) и приравнявая в полученных выражениях коэффициенты при  $v$  в одинаковых степенях, получим следующую систему граничных условий:

при  $x=0$

$$\begin{aligned} (Nw_0)_{,x} - c_1 w_0 &= 0, & w_{0,xx} + c_2 w_{0,x} &= 0 \\ (Nw_i)_{,x} - c_1 w_i &= -\mu_1 w_{i-1,yyy} & -w_{i,yy} - c_2 w_{i,x} &= \mu_1 w_{i-1,yy} \end{aligned} \quad (6)$$

$$N = \frac{\partial^2}{\partial x^2} + 2\beta \frac{\partial^2}{\partial y^2}$$

при  $x = a$

$$\begin{aligned} (Nw_0)_{,x} + c_2 w_0 &= 0, & w_{0,xx} - c_4 w_{0,x} &= 0 \\ (Nw_i)_{,x} + c_2 w_i &= -|c_1 w_{i-1,xyy}, & w_{i,xx} - c_4 w_{i,x} &= -|c_1 w_{i-1,yy} \end{aligned} \quad (7)$$

при  $y = 0$

$$\begin{aligned} 2\beta w_{0,xy} - c_2 w_0 &= 0, & c_8 w_{0,y} &= 0 \\ 2\beta w_{i,xy} - c_2 w_i &= -(S w_{i-1})_{,y}, & c_8 w_{i,y} &= -S w_{i-1} \\ S &= \frac{\partial^2}{\partial y^2} + |c_1 \frac{\partial^2}{\partial x^2} \end{aligned} \quad (8)$$

при  $y = b$

$$\begin{aligned} 2\beta w_{0,xy} + c_2 w_0 &= 0, & c_8 w_{0,y} &= 0 \\ 2\beta w_{i,xy} + c_2 w_i &= -(S w_{i-1})_{,y}, & c_8 w_{i,y} &= S w_{i-1} \end{aligned} \quad (9)$$

В соотношениях (6) – (9)  $c_k = c_k^i D_1$  ( $k = 1, 2, \dots, 8$ ),  $i = 1, 2, 3 \dots$ . Последовательное рассмотрение уравнений (3) при условиях (6) – (9) принципиально позволяет получить результаты с заданной точностью. Однако практически можно рассчитывать лишь на получение двух первых приближений, так что принятая форма решения (2) целесообразна при  $E_2/E_1 \rightarrow 0$ . В последнем случае уравнение изгиба пластины совпадает с полученным ранее [2] уравнением для пластин, с часто расположенными поперечными шарнирами и имеет вид

$$L w_0 = q \quad (10)$$

Далее будем рассматривать этот предельный случай как представляющий самостоятельный интерес. Выражения для внутренних усилий при различных условиях получим из (4), (6) – (9), удерживая нулевые приращения ( $i=0$ ).

Внутренние усилия равны

$$\begin{aligned} M_1 &= -D_1 w_{0,xx}, & M_2 &= 0, & H &= -2D_1 w_{0,xy} \\ Q_1 &= -D_1 (w_{0,xxx} + \beta w_{0,xyy}), & Q_2 &= -2D_1 w_{0,xy} \end{aligned} \quad (11)$$

Из (11)  $M_2 = 0$ . Поэтому рассматриваемые пластины при  $v=0$  можно считать полубезмоментными. Уравнения равновесия

$$Q_{1,x} + Q_{2,y} = -q, \quad M_{1,x} + H_y = Q_1, \quad H_x = Q_2$$

в частности, третье отражает основную особенность их работы: взаимное действие продольных элементов осуществляется путем передачи усилий  $Q_2$ , которые уравниваются за счет кручения элементов. Граничные условия

$$\text{при } x=0 \quad (Nw_0)_{,x} - c_1 w_0 = 0, \quad w_{0,xx} + c_2 w_{0,x} = 0 \quad (12)$$

$$x=a \quad (Nw_0)_{,x} + c_3 w_0 = 0, \quad w_{0,xx} - c_4 w_{0,x} = 0$$

$$y=0 \quad 2\beta w_{0,xy} - c_5 w_0 = 0 \quad (13)$$

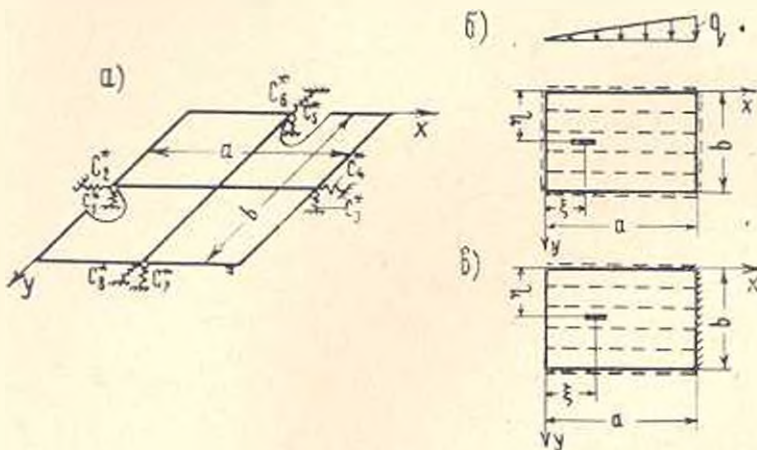
$$y=b \quad 2\beta w_{0,xy} + c_6 w_0 = 0$$

Следовательно, необходимо удовлетворить шести граничным условиям, а не восьми, как для обычной пластины. Последнее связано с равенством нулю  $M_2$  всюду, в том числе и на краях  $y=0, b$ , следствием чего и явилось понижение порядка производных оператора  $L$  по координате  $y$ .

3. Рассмотрим решение задач изгиба. Заметим, что соответствующее (10) однородное уравнение

$$\gamma^2 w_{,xxxx} + w_{,xxyy} = 0, \quad \gamma^2 = 0.25 D_1 / D_2 \quad (14)$$

допускает разделение переменных по методу Фурье. Благодаря этому удается построить функцию влияния, удовлетворяющую произвольным однородным граничным условиям (12), (13), а следовательно, в общем виде решить задачу изгиба при произвольной поперечной нагрузке.



Фиг. 1.

Рассмотрим прямоугольную пластину, полубезмоментную в направлении  $y$ , при действии полосовой нагрузки  $q$  только вдоль  $x$  (фиг. 1а). Штрих-пунктирные линии на рисунке условно показывают либо направление продольных шарниров, связывающих отдельные полосы в пластинчатую систему, либо направление сильно развитых ребер жесткости, так что  $D_1 \gg D_2$ .

При заданной нагрузке прогиб должен удовлетворять уравнению (14) и условиям (12), (13). Решение (14) запишем в виде

$$w = X(x) Y(y) \quad (15)$$

Вводя (15) в (14) и разделяя переменные, получим

$$X^{IV} + k^2 X = 0 \quad (16)$$

$$Y - \gamma^2 Y = 0 \quad (17)$$

Здесь штрихами обозначены производные по  $x$ , точками — по  $y$ ;  $k = \text{const}$  — собственные значения уравнения (16).

Заметим, что (16) имеет вид уравнения устойчивости стержней. Следовательно, собственные функции (16), представляющие собой в данном случае формы продольного прогиба, совпадают с формами потери устойчивости балок.

Решение уравнения (16)

$$X(x) = X(0) + xX'(0) + \frac{1 - \cos kx}{k^2} X''(0) + \frac{kx - \sin kx}{k^3} X'''(0) \quad (18)$$

Вычислив производные  $X(x)$  до третьего порядка включительно и объединив их с (18), получим матричное уравнение

$$\dot{X}(x) = [f'_i(x)] \dot{X}(0) \quad (19)$$

Здесь  $\dot{X} = \{X, X', X'', X'''\}$  — вектор с составляющими, равными  $X(x)$  и трем ее производным;  $\dot{X}(0) = \{X(0), X'(0), X''(0), X'''(0)\}$  — вектор начальных параметров;

$$[f'_i(x)] = \begin{bmatrix} 1 & x & \frac{1 - \cos kx}{k^2} & \frac{kx - \sin kx}{k^3} \\ 0 & 1 & \frac{\sin kx}{k} & \frac{1 - \cos kx}{k^2} \\ 0 & 0 & \cos kx & \frac{\sin kx}{k} \\ 0 & 0 & -k \sin kx & \cos kx \end{bmatrix}$$

Подставив (15) в условие (12) и разделяя переменные, получим условия для функции  $X(x)$ :

$$\begin{aligned} \text{при } x=0 \quad X'''(0) - c_1 X(0) + k^2 X'(0) = 0, \quad X''(0) + c_2 X'(0) = 0 \\ x=a \quad X'''(a) + c_3 X(a) - k^2 X'(a) = 0, \quad X''(a) - c_4 X'(a) = 0 \end{aligned} \quad (20)$$

Подчиняя решение (19) условиям (20), в результате ряда преобразований составим уравнение для нахождения собственных значений

$$|a_{kn}| = 0, \quad (k, n = 1, 2) \quad (21)$$

где

$$a_{11} = c_1 + c_3 + c_4 c_2 \frac{ka - \sin ka}{k^3}$$

$$a_{12} = ac_2 - c_1 c_4 \frac{1 - \cos ka}{k^2} - c_2 \frac{ka - \sin ka}{k}$$

$$a_{11} = c_1 \frac{1 - \cos ka}{k^2} - \frac{c_1}{c_4} \frac{\sin ka}{k}$$

$$a_{22} = \cos ka - \frac{c_2}{c_4} \cos ka - c_2 \frac{\sin ka}{k} - \frac{k \sin ka}{c_4}$$

С учетом (20) решение (18) получает вид

$$X = \sum_{m=1}^{\infty} D_m X_m \quad (22)$$

Здесь

$$X_m = 1 + (c_1 + d_m k_m^2) k_m^{-1} (k_m x - \sin k_m x) - d_m [x - k_m^{-1} c_1 (1 - \cos k_m x)],$$

$$d_m = a_{11} a_{22}^{-1}. \quad D_m - \text{произвольная постоянная.}$$

Далее определяем функцию  $Y(y)$  из уравнения (17); введя ее в (22) и (15), запишем

$$w = \sum_{m=1}^{\infty} X_m (A_m e^{z_m y} + B_m e^{-z_m y}), \quad z_m = \tau k_m \quad (23)$$

При действии на длину  $u$  вдоль  $x$  нагрузки  $q$  с координатами центра  $\xi, \eta$  упругая поверхность описывается двумя выражениями вида (23)

$$w_i = \sum_{m=1}^{\infty} X_m (A_{m1} e^{z_m y_1} + B_{m1} e^{-z_m y_1}), \quad (i = 1, 2) \quad (24)$$

$$0 \leq y_1 \leq \tau, \quad \tau \leq y_2 \leq b$$

Для определения четырех произвольных постоянных имеем два неиспользованных условия (13) и два условия сопряжения:

$$\text{при } y = \tau, \quad w_1 = w_2, \quad Q_{z1}^* - Q_{z2}^* = q(x) \quad (25)$$

Согласно второму условию (25) разность между величинами приведенных поперечных сил  $Q_z^*$  на первом и втором участках при  $y = \tau$  равна заданной полосовой нагрузке.

Подстановка (24) в первое условие (13) дает

$$\sum_{m=1}^{\infty} F_m(x) z_m (A_{m1} - B_{m1}) - c_2 \sum_{m=1}^{\infty} X_m(x) (A_{m1} + B_{m1}) = 0 \quad (26)$$

где

$$F_m(x) = (c_1 + k_m^2 d_m) k_m^{-1} \sin k_m x + d_m c_2 \cos k_m x$$

Далее функции  $F_m(x)$  и  $X_m(x)$  раскладываются в ряд Фурье по  $\sin i\pi x/a$  ( $i = 1, 2, 3, \dots$ ). После преобразований (26) приводится к бесконечной системе алгебраических уравнений

$$\{a_{lm}\} \vec{A}_{m1} - \{b_{lm}\} \vec{B}_{m1} = 0 \quad (27)$$

где

$$a_{lm} = \gamma \alpha_1(i, m) - c_2 \alpha_2(i, m), \quad b_{lm} = \gamma \alpha_1(i, m) + c_2 \alpha_2(i, m)$$

$$\alpha_1(i, m) = - \frac{k_m d_m c_2 [1 - (-1)^i \cos k_m a]}{a \left[ k_m^2 - \left( \frac{i\pi}{a} \right)^2 \right]} + \frac{(-1)^i (c_1 + d_m k_m^2) \sin k_m a}{a \left[ k_m^2 - \left( \frac{i\pi}{a} \right)^2 \right]}$$

$$\alpha_2(i, m) = \frac{a}{(i\pi)^2} \{ [1 - (-1)^i] f_1 - (-1)^i f_2 \} + \\ + \frac{(-1)^i f_1 \cos k_m a - f_3 + (-1)^i f_2 \sin k_m a}{a \left[ k_m^2 - \left( \frac{i\pi}{a} \right)^2 \right]}$$

$$f_1 = 1 + d_m c_1 k_m^{-2}, \quad f_2 = c_1 k_m^{-2} + 2d_m, \quad f_3 = - \frac{c_1 + k_m^2 d_m}{k_m^3}, \quad f_4 = d_m c_2 k_m^{-2}$$

$$\vec{A}_{m1} = \{A_{11}, A_{21}, A_{31}, \dots\}, \quad \vec{B}_{m1} = \{B_{11}, B_{21}, B_{31}, \dots\}$$

Удовлетворяя второму условию (13), получаем

$$\{c_{lm}\} \vec{A}_{m2} - \{d_{lm}\} \vec{B}_{m2} = 0 \quad (28)$$

где

$$c_{lm} = [\gamma \alpha_1(i, m) + c_2 \alpha_2(i, m)] e^{\gamma k_m b}$$

$$d_{lm} = [\gamma \alpha_1(i, m) - c_2 \alpha_2(i, m)] e^{-\gamma k_m b}$$

После подстановки (24) в первое условие (25) имеем

$$(A_{m1} - A_{m2}) e^{\gamma k_m a} + B_{m1} - B_{m2} = 0 \quad (29)$$

Наконец, используем второе условие (25), которое запишем с учетом (11)

$$4D_A (w_{1,xy} - w_{2,xy}) = q(x)$$

Вводя сюда (24) и раскладывая в ряд

$$q(x) = 4q_0 e^{-1} \sum_{i=1}^{\infty} i^{-1} \sin i\pi z/a \sin \frac{i\pi u}{2a} \sin \frac{i\pi x}{a}$$

после преобразований получаем

$$[f_{lm}] \Delta \vec{A}_m = \vec{q} \quad (30)$$

$$\Delta \vec{A}_m = \{A_{11} - A_{12}, A_{21} - A_{22}, A_{31} - A_{32}, \dots\}$$

$$\bar{q} = \{q_1, q_2, q_3, \dots\}, \quad q_i = \frac{q_0}{\pi} \frac{1}{i} \sin \frac{i\pi z}{a} \sin \frac{i\pi u}{2a}$$

$$f_{im} = 4D_K \frac{i\pi}{a} a_1(i, m) e^{i\beta_m y}$$

Таким образом, решение задачи для случая полосовой нагрузки имеет вид рядов (24), коэффициенты которых определяются из системы уравнений (27) — (30). В случае сосредоточенной силы решение сохраняет свой вид при замене выражения для  $q_i$  на следующее:

$$a_i = \frac{P}{2a} \sin \frac{i\pi z}{a}, \quad P = q_0 a$$

Приведенное решение весьма громоздко, но легко программируется для расчетов на ЭВМ. При этом удается единым алгоритмом охватить многие частные задачи, что стало доступным благодаря разделению переменных в уравнении (14).

1. Для сравнительного анализа работы полубезмоментных пластин рассмотрим две частные задачи.

В случае шарнирного опирания граничные условия

$$\begin{aligned} w(0, y) = w(a, y) = w''(0, y) = w''(a, y) = 0 \\ w(x, 0) = w(x, b) = 0 \end{aligned}$$

Полосовой нагрузке (фиг. 1б) соответствует решение (24), в котором

$$X_m = \sin k_m x, \quad k_m = m\pi/a \quad (m = 1, 2, 3, \dots)$$

Выражения типа (24) для прогибов

$$\begin{aligned} w_1 &= \sum_{m=1}^{\infty} B_{m1} (e^{-\beta_m y_1} - e^{\beta_m y_1}) \sin k_m x \\ w_2 &= \sum_{m=1}^{\infty} B_{m1} \varphi(k_m, \gamma) (e^{-\beta_m y_1} - e^{\beta_m (y_1 - 2b)}) \sin k_m x \end{aligned} \quad (31)$$

Здесь

$$\begin{aligned} B_{m1} &= \frac{q \sin k_m z \sin \frac{k_m u}{2}}{2D_K m \pi \beta(k_m, \gamma)}, \quad \varphi(k_m, \gamma) = \frac{1 - e^{-2\beta_m \gamma}}{e^{-2\beta_m b} - e^{-2\beta_m \gamma}} \\ \beta(k_m, \gamma) &= k_m^2 \gamma (1 - e^{2\beta_m b}) e^{-\beta_m \gamma} (e^{-2\beta_m b} - e^{-2\beta_m \gamma})^{-1} \\ 0 &\leq y_1 \leq \gamma, \quad \gamma \leq y_2 \leq b \end{aligned}$$

Введем в  $B_{m1}$  замены  $u = d\xi$ ,  $q = q(\xi, \gamma) d\xi$  (вместо нагрузки  $q$ , распределенной на единичной ширине, введена нагрузка на ширине  $d\xi$ ) и перейдем к пределу. Тогда получим функции влияния как прогиб от нагрузки  $q(\xi, \gamma) d\xi d\gamma$  вида (31) с коэффициентом

$$B_{m1} = [4D_k a^3 (k_m \gamma_1)]^{-1} q(z, \gamma_1) \sin k_m z d^2 d \gamma_1$$

Интегрированием в пределах размещения нагрузки можно получить решение при произвольном ее распределении.

При постоянной вдоль  $y$  треугольной нагрузке  $q(\xi, \eta) = q\xi/a$  получаем

$$\begin{aligned} w = \frac{qa^4}{2D_k \pi^3 \gamma_1^2} \sum_{m=1}^{\infty} \frac{[1 + (-1)^{m-1}]}{m^3 (1 - e^{-2\alpha_m b})} & \left[ \operatorname{sh} \alpha_m y (e^{-\alpha_m y} - 2e^{-\alpha_m b} - e^{\alpha_m(y-2b)}) + \right. \\ & \left. + (\operatorname{ch} \alpha_m y - 1) (e^{-\alpha_m y} - e^{\alpha_m(y-2b)}) \right] \sin k_m x \end{aligned} \quad (32)$$

Прогиб в центре квадратной пластинки  $x = y = a/2$  с изотропным материалом полос  $[2D_k = EI(1 - \mu)^{-1}$  и  $\mu = 0.3$ ] при использовании лишь двух членов ряда (32) ( $m = 1.3$ ) равен

$$w = (EI)^{-1} qa^4 (0.003140 - 0.000026 + \dots) = (EI)^{-1} 0.00311 qa^4 \quad (33)$$

Соответствующие формулы для обычной пластинки и балки имеют вид [4]

$$w = 0.00203 qa^4 D^{-1}, \quad w = 0.00651 qa^4 (EI)^{-1} \quad (34)$$

Из сравнения (33) и (34) видны эффекты понижения жесткости полубезмоментной пластины по сравнению с обычной и существенного увеличения жесткости при объединении отдельных полос в пластинчатую систему по полубезмоментной схеме. Последний ослабляется при увеличении  $b/a$  и, как показывают расчеты, при  $b/a \approx 2.5 - 3$  (для обычной пластины  $b/a \approx 4.0$ ) результаты для отдельной полосы и полубезмоментной пластины практически совпадают.

Для пластины с одним защемленным, свободным противоположным и свободно опертыми двумя другими краями (фиг. 1в) граничные условия имеют вид

$$w_{,xx}(0, y) = w(a, y) = w_{,x}(a, y) = 0$$

$$D_1 w_{,xxx}(0, y) + 4D_k w_{,xyy}(0, y) = 0, \quad w(x, 0) = w(x, b)$$

Прогиб определяется выражениями

$$\begin{aligned} w_1 &= \sum_{m=1}^{\infty} F_{m1} s(x_m, \gamma_1) \operatorname{sh} \alpha_m y_1 \left( 1 - \frac{\sin k_m x}{\sin k_m a} \right) \\ w_2 &= \sum_{m=1}^{\infty} F_{m2} (\operatorname{sh} \alpha_m y_2 - \operatorname{th} \alpha_m b \operatorname{ch} \alpha_m y_2) \left( 1 - \frac{\sin k_m x}{\sin k_m a} \right) \\ F_{m1} &= \frac{q \sin k_m z \sin \frac{k_m a}{2} \sin k_m a}{m D_k k_m \alpha_m [s(x_m, \gamma_1) \operatorname{ch} \alpha_m \gamma_1 - t(x_m, \gamma_1)]} \end{aligned}$$

$$s(\alpha_m, \gamma) = 1 - \operatorname{cth} \alpha_m \gamma \operatorname{th} \alpha_m b$$

$$l(\alpha_m, \gamma) = \operatorname{ch} \alpha_m \gamma - \operatorname{th} \alpha_m b \operatorname{sh} \alpha_m \gamma$$

$$\alpha_m = \gamma k_m, \quad k_m = \frac{m\pi}{2a}, \quad 0 \leq y_1 < \gamma, \quad \gamma \leq y_2 \leq b$$

В частности, для нагрузки  $q(x, y) = q_0^2/4$  определяем

$$w = \frac{16qa^4}{E^2 D_1} \sum_{m=1}^{\infty} \frac{\sin m\pi/2}{m^4} \left( \operatorname{sh} \alpha_m y \operatorname{th} \frac{\alpha_m b}{2} - 2 \operatorname{sh}^2 \frac{\alpha_m y}{2} \right) (\sin k_m x - \sin k_m x)$$

Прогиб, например, срединным свободным краем, определенный по последней формуле, составляет  $0.0116qa^4(EI)^{-1}$ .

В заключение отметим, что полубезмоментная пластина представляет собой подходящую механическую модель комбинированных систем из жестко соединенных полос или балок, а также пластины с сильной ортотропией. Соотношения для полубезмоментных пластин допускают их точное решение при произвольных нагрузках и произвольных однородных граничных условиях. Эти соотношения легко обобщаются на случай оболочек [2] для расчета подпорных стенок волнового очертания, бульверков и других оболочечных конструкций в виде набора отдельных полос, соединенных в шпунт.

Казанский инженерно-строительный институт

Поступила 16 XII 1971

Р. Е. ГЕАЛЕН

ԿԱՆՈՏՐՈՒԿՏԻՎ ԿՐԾԱՆՄՈՄԵՆՏ ՍԱԼԵՐ ԵՎ ԹԱՂԱՆՔՆԵՐ:  
ՍԱԼԵՐԻ ԽՌԻՄԱՆ ԿՆԴԻՐԸ

Ա մ ֆ ռ ֆ ու մ

Միջին մակերևութի վրա հողակապերով միացված բազական մեծ թվով շերտերի, հեծանների կամ օղակների հավաքված տեսքով կոմբինացված սխտանների հաշվման համար առաջարկվել է կոնստրուկտիվ կիսաանմոմենտ սալերի և թաղանթների մեխանիկական մոդելը (ուժվել է կոնստրուկտիվ կիսաանմոմենտ սալի ձեկվածքների ազդեցություն ֆունկցիայի մասին խնդիրը կոմայական, համասև եզրային պայմանների դեպքում: Որկու մասնակի խնդիրներում և թվային հաշվումներում ցույց է տրված կոշտություն կապես մեծացման (ֆեկտր, երբ առանձին շերտերը միացված են սալային սխտանով կիսաանմոմենտ սխտայով):

CONSTRUCTIONALLY SEMIMOMENTLESS PLATES AND SHELLS.  
THE PROBLEM IN PLATE BENDING

R. E. HEIZEN

## S u m m a r y

A mechanical model of constructionally semimomentless plates and shells is suggested for calculating combined systems having a number of strips, beams or rings connected at the median surface. The problem in bending effect for a constructionally semimomentless plate under arbitrary uniform boundary conditions is solved. The effect of essential increase in rigidity due to connection of separate strips into a plate system according to the semimomentless scheme is shown in two particular calculations.

## ЛИТЕРАТУРА

1. Гальденвейзер А. Л. Теория тонких упругих оболочек. ГИТТЛ, М., 1953.
2. Гейзен Р. Е., Тимофеева Л. М. О пространственном расчете шпунтовых стенок. Основания, фундаменты и механика грунтов, № 4, 1972.
3. Гейзен Р. Е., Тимофеева Л. М. Расчет шпунтовых конструкций как пластин и оболочек с продольными шарнирами. Тр. III Всесоюзной конференции по статике и динамике пространственных конструкций. Киев. «Будивельник», 1972.
4. Тимошенко С. П., Войновский-Кригер С. Пластинки и оболочки. «Наука», М., 1966.
5. Маневич Л. И., Павленко А. В. Асимптотический анализ уравнений теории эксцентрично подкрепленных цилиндрических оболочек. Сб. Теория пластин и оболочек. «Наука», М., 1971.

А. Е. АЛЮЯН

К ТЕОРИИ МЕЗОМЕТЕОРОЛОГИЧЕСКОГО  
 ПОГРАНИЧНОГО СЛОЯ

Будем называть мезометеорологическим пограничным слоем турбулентный пограничный слой атмосферы, характерные горизонтальные размеры которого имеют порядок 100 км. В работах [1, 3, 4], посвященных теории мезометеорологического пограничного слоя, предполагалось, что фоновая вертикальная скорость тождественно равна нулю. Как показали расчеты, такое предположение не всегда оправдывается. Поэтому в настоящей работе предпринята попытка сформулировать и решить ту же задачу без этого предположения с тем, чтобы фоновая скорость определялась в процессе решения.

1. *Постановка задачи.* Итак, рассмотрим, следуя [1], нестационарную задачу о мезометеорологическом пограничном слое, который развивается при движении воздушной массы над термически и орографически неоднородной подстилающей поверхностью. Предположим, что свойство фонового потока также, как и неоднородности подстилающей поверхности, не зависят от одной из горизонтальных координат (пусть этой координатой будет  $y$ ). Тогда можно предположить, что и в интересующем нас процессе все величины не зависят от  $y$ , и ограничимся рассмотрением двумерной задачи. Система уравнений в этом случае имеет вид

$$\frac{\partial u'}{\partial t} + u \frac{\partial u}{\partial x} + w \frac{\partial u}{\partial z} = \frac{\partial \pi'}{\partial x} + l v' + i \partial_x v' + \bar{\Delta} u' \quad (1)$$

$$\frac{\partial v'}{\partial t} + u \frac{\partial v}{\partial x} + w \frac{\partial v}{\partial z} = -l u' + \bar{\Delta} v' \quad (2)$$

$$\frac{\partial w'}{\partial t} + u \frac{\partial w}{\partial x} + w \frac{\partial w}{\partial z} + S(w' + \bar{\sigma}_x u') = -H_x u' + \bar{\Delta} w' \quad (3)$$

$$\frac{\partial \pi'}{\partial z} = i \bar{\sigma}' \quad (4)$$

$$\frac{\partial u'}{\partial x} + \frac{\partial w'}{\partial z} = 0, \quad \left( \bar{\Delta} = \frac{\partial}{\partial z} \nabla \frac{\partial}{\partial z} + \kappa \frac{\partial^2}{\partial x^2} \right) \quad (5)$$

Здесь приняты следующие обозначения:  $t$  — время,  $x$  — криволинейная координата, отсчитываемая вдоль поверхности Земли;  $u$  — составляющая вектора скорости ветра в направлении  $x$ . Наклоны рельефа

предполагаются малыми. Поэтому практически  $x$  можно считать горизонтальной координатой. По той же причине в качестве  $u$  можно принимать горизонтальную составляющую вектора скорости. При этом  $w'$  будет связано с вертикальной скоростью  $w$  в декартовой системе координат соотношением

$$w' = w - u' \delta_x \quad (6)$$

где  $\delta(x)$  — функция, описывающая рельеф,  $\delta_x(x)$  — тангенс угла наклона рельефа к горизонту. Величина  $w$  представляет собою составляющую вектора скорости ветра, нормальную к координатным линиям  $z = \text{const}$ . Остальные обозначения:  $v$  — горизонтальная составляющая вектора скорости вдоль оси  $y$ ;  $\pi$  — величина, пропорциональная отклонению давления воздуха от статического;  $\theta$  — потенциальная температура;  $S = \gamma_\mu - \gamma = \text{const}$  — параметр стратификации;  $\lambda$  — параметр конвекции;  $l = \text{const}$  — параметр Кориолиса;  $\nu$  — вертикальный коэффициент турбулентности, предполагаемый заданной функцией высоты;  $\mu = \text{const}$  — горизонтальный коэффициент турбулентности;  $\Theta_x = \frac{\partial \Theta}{\partial x}$  — горизонтальный градиент фоновой потенциальной температуры.

При выводе (1) — (5) все метеоэлементы были представлены в виде

$$\begin{aligned} u &= U + u', & v &= V + v', & w &= W + w' \\ \theta &= \Theta + \theta', & \pi &= \Pi + \pi' \end{aligned} \quad (7)$$

где большими буквами обозначены фоновые значения метеоэлементов, предполагаемые известными (кроме  $W$ , которое предполагается независящим от высоты и подлежит определению), а буквами со штрихом — отклонения от фоновых значений. В данной работе мы полагали, что

$$U = U(t), \quad V = V(t), \quad \Theta = \Theta(x, t) + Sz \quad (8)$$

Переходим теперь к постановке начальных и краевых условий. Также, как в [1], запишем

$$u' = v' = w' = \theta' = 0 \quad \text{при } t = 0 \quad (9)$$

$$u = v = w = 0, \quad \theta' = f(x, t) \quad \text{при } z = 0 \quad (10)$$

где  $f(x, t)$  — заданная функция.

$$u' = v' = w' = \theta' = \pi' = 0 \quad \text{при } z = h = \text{const} \quad (11)$$

$$\frac{\partial u'}{\partial x} = \frac{\partial v'}{\partial x} = \frac{\partial \theta'}{\partial x} = 0 \quad \text{при } x = 0; L \quad (12)$$

где  $x=0; L$  — границы области счета по горизонтали,  $h = \text{const}$  — граница области счета по вертикали.

Так же, как и в [1], прежде чем переходить к решению задачи, несколько преобразуем уравнения. Интегрируя (4) и (5) по  $z$  с учетом (1), получим

$$w' = \frac{\partial}{\partial x} \int_z^h u' dz \quad (13)$$

$$z' = -\lambda \int_z^h u' dz \quad (14)$$

Отсюда, вследствие (10)

$$W' = -w'_{z=0} = -\frac{\partial}{\partial x} \int_0^h u' dz \quad (15)$$

Используя (8), (13) и (14), перепишем уравнения (1)–(3) в виде

$$\frac{\partial u}{\partial t} + u \frac{\partial u}{\partial x} + w \frac{\partial u}{\partial z} = i \frac{\partial}{\partial x} \int_z^h u' dz + l v' + i \delta_1 \psi' + \bar{\Delta} u \quad (16)$$

$$\frac{\partial v}{\partial t} + u \frac{\partial v}{\partial x} + w \frac{\partial v}{\partial z} = -l u' + \bar{\Delta} v \quad (17)$$

$$\frac{\partial \psi}{\partial t} + u \frac{\partial \psi}{\partial x} + w \frac{\partial \psi}{\partial z} = -S \frac{\partial}{\partial x} \int_z^h u' dz - (S \delta_2 + \mu_2) u' + \bar{\Delta} \psi \quad (18)$$

2. *Метод решения.* Для решения задачи воспользуемся тем же методом, что и в [2]. Введем в области  $D = \{|x| = L, 0 \leq z \leq h\}$  сеточную область  $D^h = \{(x_k, z_k)\}$  с шагами  $\Delta x_k$  и  $\Delta z_k$  соответственно, и аппроксимируем систему (1)–(5) следующим образом:

$$\frac{\partial \psi}{\partial t} + (\Lambda_1^h + \Lambda_2^h) \psi = F \quad (19)$$

где

$$\Lambda_1^h = \begin{vmatrix} A_1 & 0 & -i D_x \\ 0 & A_1 & 0 \\ S D_{1,x} & 0 & A_1 \end{vmatrix}, \quad \Lambda_2^h = \begin{vmatrix} A_2 & l E & -i A_2 A_4 \\ -l E & A_2 & 0 \\ S A_2 A_4 & 0 & A_2 \end{vmatrix}$$

$$\begin{aligned}
 (A_2 \psi)_{l,k} &= \frac{\omega_{l,k+1/2}^i \psi_{l,k+1} - \omega_{l,k-1/2}^i \psi_{l,k-1}}{2 \Delta k} + \\
 &+ \frac{v_{k+1/2}}{d_x} \left( \frac{\psi_{l,k+1} - \psi_{l,k}}{\Delta z_{k+1}} \right) - \frac{v_{k-1/2}}{d_x} \left( \frac{\psi_{l,k} - \psi_{l,k-1}}{\Delta z_k} \right)
 \end{aligned}$$

$$(A_2 \psi)_{l,k} = \frac{u_{l+1,k} \psi_{l+1,k} - u_{l-1,k} \psi_{l-1,k}}{2\Delta l} +$$

$$+ \frac{u}{\Delta l} \left( \frac{\psi_{l+1,k} - \psi_{l,k}}{\Delta x_{l+1}} - \frac{\psi_{l,k} - \psi_{l-1,k}}{\Delta x_l} \right)$$

$$(A_3 \psi)_{l,k} = \frac{\psi_{l+1,k} - \psi_{l-1,k}}{2\Delta l}$$

$$(A_4 \psi)_{l,k} = \sum_{q=1}^{k-1} \psi_{l,q} dk + \frac{\psi_{l,k} \Delta z_k}{2} \quad (k=1, 2, \dots, K), \quad \psi_{l,k} = \psi(x_l, z_k)$$

$$D_x = \text{diag} \{ \delta_x \}, \quad D_{1k} = \text{diag} \left\{ \delta_x + \frac{\partial \delta}{\partial x} \right\} -$$

—диагональные матрицы.

$E$  — тождественная матрица;  $F = (F_1, F_2, F_3)$  — вектор, учитывающий неоднородности краевых условий и фоновые значения метеозлементов.

$$\varphi = (u, v, w'), \quad \Delta l = \frac{\Delta x_l + \Delta x_{l+1}}{2}, \quad d_k = \frac{\Delta z_k + \Delta z_{k+1}}{2}$$

$$u_{l+1/2} = \frac{u_l + u_{l+1}}{2}$$

Конечно-разностные аппроксимации получены с помощью интегро-интерполяционного метода («Метода баланса») [5], [6].

Решение задачи (19) найдем с помощью метода переменных направлений (6)

$$\frac{\varphi^{j+1/2} - \varphi^j}{\Delta t/2} + \Lambda_1^h \varphi^{j+1/2} + \Lambda_2^h \varphi^j = F^j$$

$$\frac{\varphi^{j+1} - \varphi^{j+1/2}}{\Delta t/2} + \Lambda_1^h \varphi^{j+1/2} + \Lambda_2^h \varphi^{j+1} = F^{j+1/2}$$
(20)

Конечно-разностные уравнения (19) и (20) решаются с помощью матричной прогонки. Для определения  $w'$  используется уравнение (13).

3. *Примеры расчета.* С помощью описанной выше модели было рассчитано несколько примеров мезометеорологических процессов. Не останавливаясь на интерпретации всех проведенных расчетов, приведем лишь результаты только для  $W$ , так как основной целью данной работы был расчет этого элемента.

Численные эксперименты проводились при следующих значениях параметров:

$$\Delta z = \begin{cases} 50 \text{ м} & \text{при } z \leq 300 \text{ м} \\ 60 \text{ м} & \text{при } 300 < z \leq 660 \text{ м} \\ 75 \text{ м} & \text{при } 660 < z \leq 1100 \text{ м} \\ 100 \text{ м} & \text{при } 1100 < z \leq 2310 \text{ м} \end{cases}$$

$$l = 10^{-4} \text{ сек}^{-1}, \quad \Theta_s = 0, \quad \mu = 10^4 \text{ м}^2/\text{сек}, \quad \Delta t = 10 \text{ мин}$$

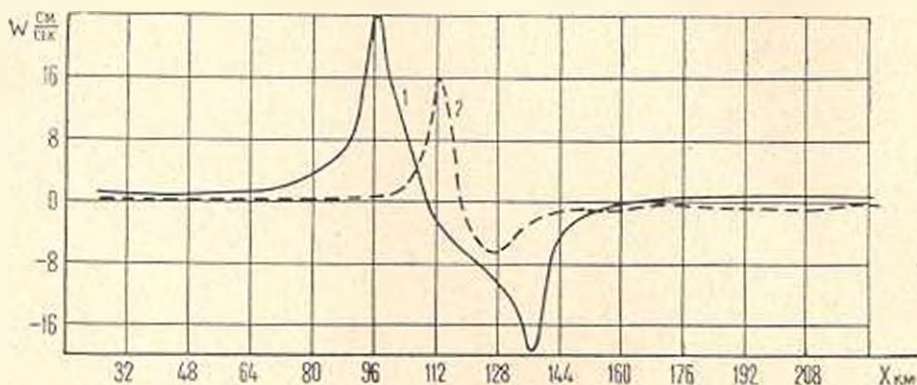
$$\lambda = 3.5 \cdot 10^{-2} \text{ м/сек}^2 \text{ град}, \quad S = 3 \cdot 10^{-3} \text{ град/м}$$

Число расчетных узлов по вертикали равно 30, по горизонтали—58. Остальные входные параметры задаются в каждом примере в отдельности.

Пример 1. Стационарная задача о бризе над теплым островом на фоне внешнего потока. Рассчитывалось два варианта. В первом предполагали, что внешний поток направлен перпендикулярно к тепловому источнику ( $U=0$ ,  $V=10$  м/сек), а во втором—вдоль теплового источника ( $U=10$  м/сек,  $V=0$ ). Для остальных параметров были приняты следующие значения:

$$f(x) = \begin{cases} 0, & \text{если } 0 \leq x < 96 \text{ км} \\ 10, & \text{если } 96 \leq x < 132 \text{ км} \\ 0, & \text{если } 132 \leq x \leq 232 \text{ км} \end{cases} \quad \begin{matrix} \Delta x = 4 \text{ км} \\ \delta_x = 0 \end{matrix}$$

Полученные в результате решения зависимости  $W(x)$  для первого варианта (сплошная линия) и для второго варианта (пунктир) даны на фиг. 1.



Фиг. 1. Профиль фоновой вертикальной скорости  $W^0$ : (стационарная задача). 1—внешний поток направлен перпендикулярно к тепловому источнику, 2—внешний поток направлен вдоль теплового источника.

Остальные примеры посвящены нестационарным задачам. В этих примерах мы приняли

$$f(x, t) = f(x) \cos \omega t$$

где  $\omega$ —угловая скорость вращения Земли.

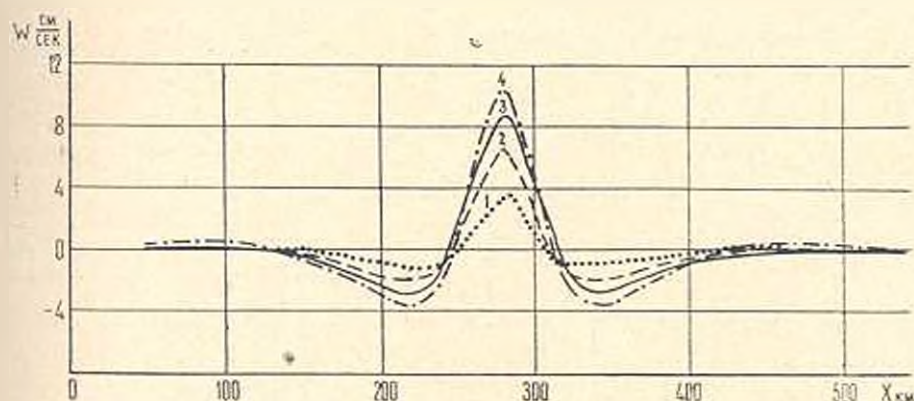
Пример 2. Нестационарная задача о бризе, развивающемся над островом, при отсутствии фонового ветра.

Полагалось:

$$U = V = \Theta_x = 0, \quad \delta_x = 0, \quad \Delta x = 10 \text{ км}$$

$$\tilde{f}(x) = \begin{cases} 0^\circ & \text{при } 0 \leq x < 280 \text{ км} \\ 10^\circ & \text{при } 280 \leq x < 310 \text{ км} \\ 0^\circ & \text{при } x > 310 \text{ км} \end{cases}$$

На фиг. 2 приведены рассчитанные графики  $W(x)$  для четырех моментов времени.



фиг. 2. Зависимость  $W(x)$  в примере 2 для четырех моментов времени.

1 —  $t = 3$  час., 2 —  $t = 6$  час., 3 —  $t = 9$  час., 4 —  $t = 12$  час.

Пример 3. Нестационарная задача о бризе над островом на фоне внешнего потока. Входные параметры имели следующие значения:

$$U = 3 \text{ м/сек}, \quad \Theta_x = V = 0, \quad \Delta x = 10 \text{ км}$$

Так как функция  $f(x)$  симметрична относительно середины острова, приведем значение ее лишь для одной половины области счета (табл. 1).

Таблица 1

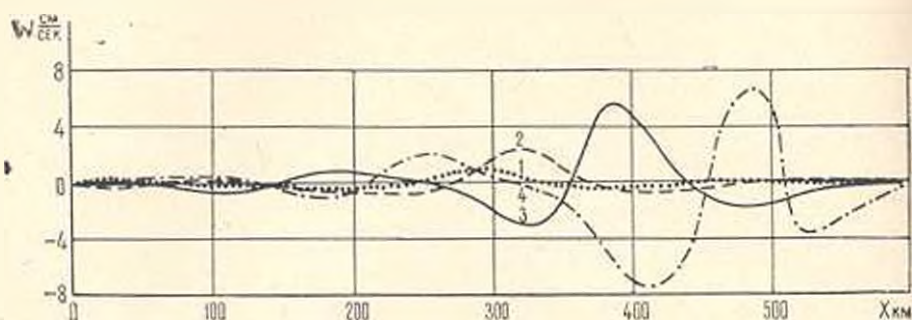
Значения функции  $\tilde{f}$  в интервале  $0 < x < L$

$x$ в км	0—190	200	210	220	230	240	250	260	270	280	290
$\tilde{f}(x) \cdot 10$	0	1	3	6	10	15	20	25	30	35	40

На фиг. 3 приведен ход  $W(x)$  во времени.

Пример 4. Нестационарная задача о ветре, возникающем над термически неоднородной и искривленной поверхностью, при отсутствии внешнего потока. Входные параметры задачи принимали следующие

значения:  $U=V=0$ ,  $\Delta x=4$  км. Значения функций  $\tilde{f}(x)$  и  $\delta_x$  приведены в табл. 2.



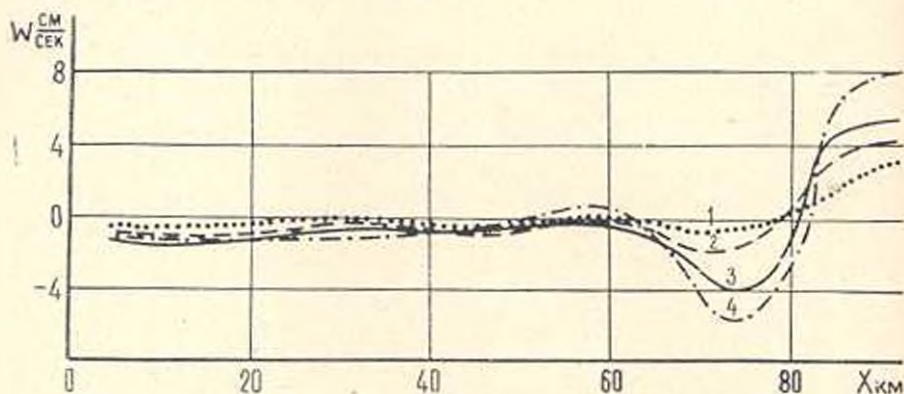
Фиг. 3. Зависимость  $W(x)$  в примере 3 во времени при наличии внешнего потока: 1 —  $t=3$  час, 2 —  $t=6$  час, 3 —  $t=9$  час, 4 —  $t=12$  час.

Таблица 2

Значения функций  $\tilde{f}(x)$  и  $\delta_x$

$x$ в км	0—28	40	52	61	76	88	100	112	124	136	148	160	172	184	200
$\delta_x \cdot 10^3$	0	3	4	4	4	4	4	4	6	6	7	7	7	7	7
$\tilde{f}(x) \cdot 10$	0	8	17	20	20	20	29	38	41	41	41	41	41	41	41

На фиг. 4 приведен ход  $W(x)$  во времени.



Фиг. 4. Зависимость  $W(x)$  в примере 4 во времени над искривленной и термически неоднородной подстилающей поверхностью. 1 —  $t=1.5$  час, 2 —  $t=3$  час, 3 —  $t=4.5$  час, 4 —  $t=6$  час.

Во всех примерах счет был устойчивым. Здесь мы не придаем особого физического смысла полученным результатам, так как принятое нами предположение о том, что  $W$  не зависит от высоты, слишком огрубляет задачу. Мы рассматриваем эти результаты как противоположный

предельный случай по сравнению с результатами задачи, изложенной в [1]. По-видимому, истинное решение находится где-то между решениями рассматриваемой в [1] задачи и решенным, полученным в данной работе.

Автор благодарен доц. В. В. Пененко за помощь в работе.

Ереванский отдел

Зак. НИ Гидромет. Института

Поступила 29 VI 1973

Ա. Ե. ԱԼՅԱՆ

ՄԻՆՈՒՐՄԻ ՊԼԱՆԵՏԱՐ ՍԱՀՄԱՆԱՅԻՆ ՇԵՐՍՈՒԾ  
ԻՆՉՈՒԲՏԵՍԻՐՈՒԹՅԱԿԱՆ ԳՐՈՑԵՆՆԵՐԻ ՏԵՍՈՒԹՅԱՆ ՄԱՍԻՆ

Ա մ ֆ ո ղ ո ս մ

Գիտարկվում է երկչափ ոչ ստացիոնար խնդիր միևուրրտի սահմանային շերտում մեղմեցնող ուղղահայեան պրոցեսների մասին, ընդ որում ընդունվում է, որ ծածկույթը շերտաստիճանի և օրոգրաֆիայի տեսակետից անհամասն է, շոգվածում փորձ է արվում, օգտագործել թվային մեթոդները [1] այն դեպքի համար, երբ ֆոնի ուղղահայեաց արագութունը նույնպես որոնելի ֆունկցիա է: Արդյունքները ցույց են տալիս, որ նշված արագութունները կարող են էական լինել միևուրրտի սահմանային շերտի պրոցեսների համար:

ON THE THEORY OF MESOMETEOROLOGICAL PROCESSES  
IN THE PLANETARY BOUNDARY LAYER  
OF THE ATMOSPHERE

A. E. ALOYAN

S u m m a r y

A non-stationary two-dimensional problem on the mesometeorological boundary layer over a thermally and orographically non-homogeneous underlying surface is considered. An attempt is made to use numerical methods (1) for the case where the background vertical velocity is the function sought. Some results of calculation are presented.

Л И Т Е Р А Т У Р А

1. Алоян А. Е., Гугман Л. П., Пененко В. В. О возможных распределениях метеовозмущений в нижнем слое атмосферы. Изв. АН СССР, сер. физика атмосферы и океана, т. 10, № 5, 1971.
2. Пененко В. В. Численный метод решения некоторых задач мезометеорологии. Инф. бюл. «Численные методы механики сплошной среды», т. 4, № 1. Новосибирск, 1973.

3. Гутман Л. Н. Введение в нелинейную теорию мезометеорологических процессов. Гидрометеопиздат, Л., 1969.
4. Гутман Л. Н., Пененко В. В., Сохов Т. Е., Шапошникова М. Н. К теории мезометеорологических процессов в планетарном пограничном слое атмосферы. Тр. Зап. Сиб. РНИГМИ, вып. 1. Новосибирск, 1972.
5. Марчук Г. И. Методы вычислительной математики. ВИ СО АН СССР. Новосибирск, 1972.
6. Самарский А. А. Введение в теорию разностных схем. Физматгиз, М., 1971.
7. Яненко Н. И. Методы дробных шагов решения многомерных задач математической физики. Изд. «Наука», Новосибирск, 1967.